



Université Paris-Est Marne-la-Vallée Institut Gaspard Monge



Site Web

http://www-igm.univ-mlv.fr/~riazano/













Quelques principes

- Formation d'une image
 - Source de lumière
 - Interaction avec un objet
 - Récepteur photosensibles Formation des couleurs
- Les satellites
 - Orbites les plus fréquentes
 - Géométrie d'acquisition
- Images optiques
- Images radar





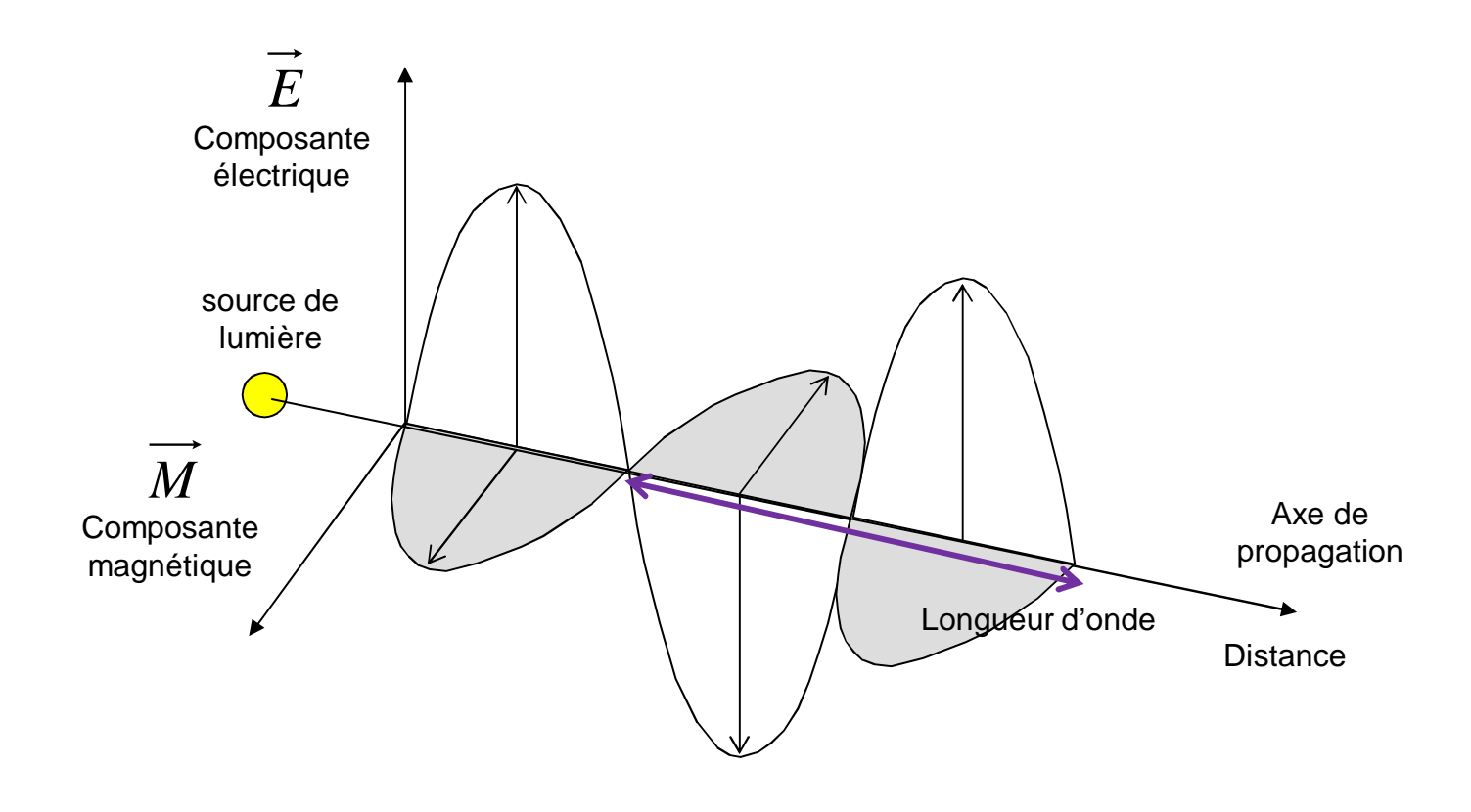
Formation d'une image

- Pour créer une image, il faut
 - Une source de lumière
 - Un objet qui va interagir avec la lumière
 - Un capteur pour recueillir la lumière réfléchie.





Lumière - La radiation électromagnétique

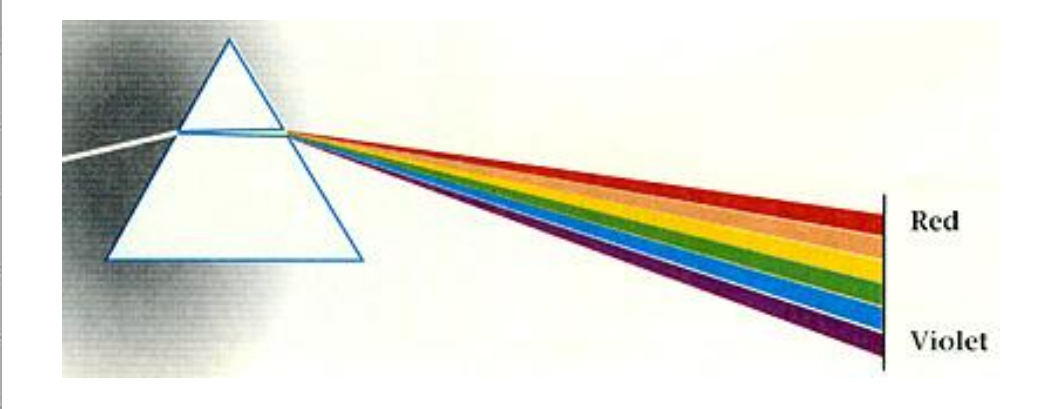






Lumière - Le spectre visible

violet	380–450 nm
blue	450–495 nm
green	495–570 nm
yellow	570–590 nm
orange	590–620 nm
red	620-750 nm

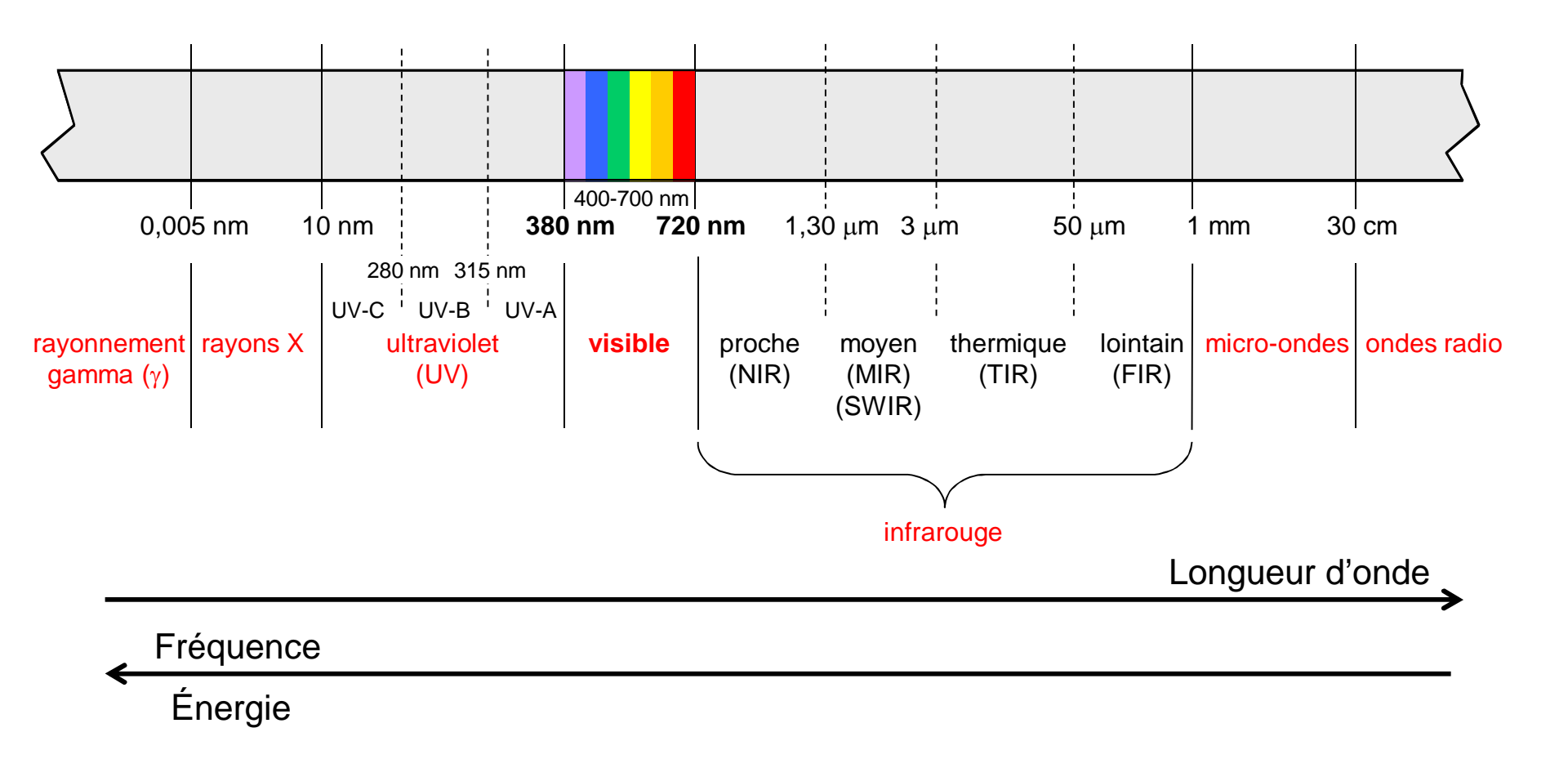


http://en.wikipedia.org/wiki/Visible_spectrum





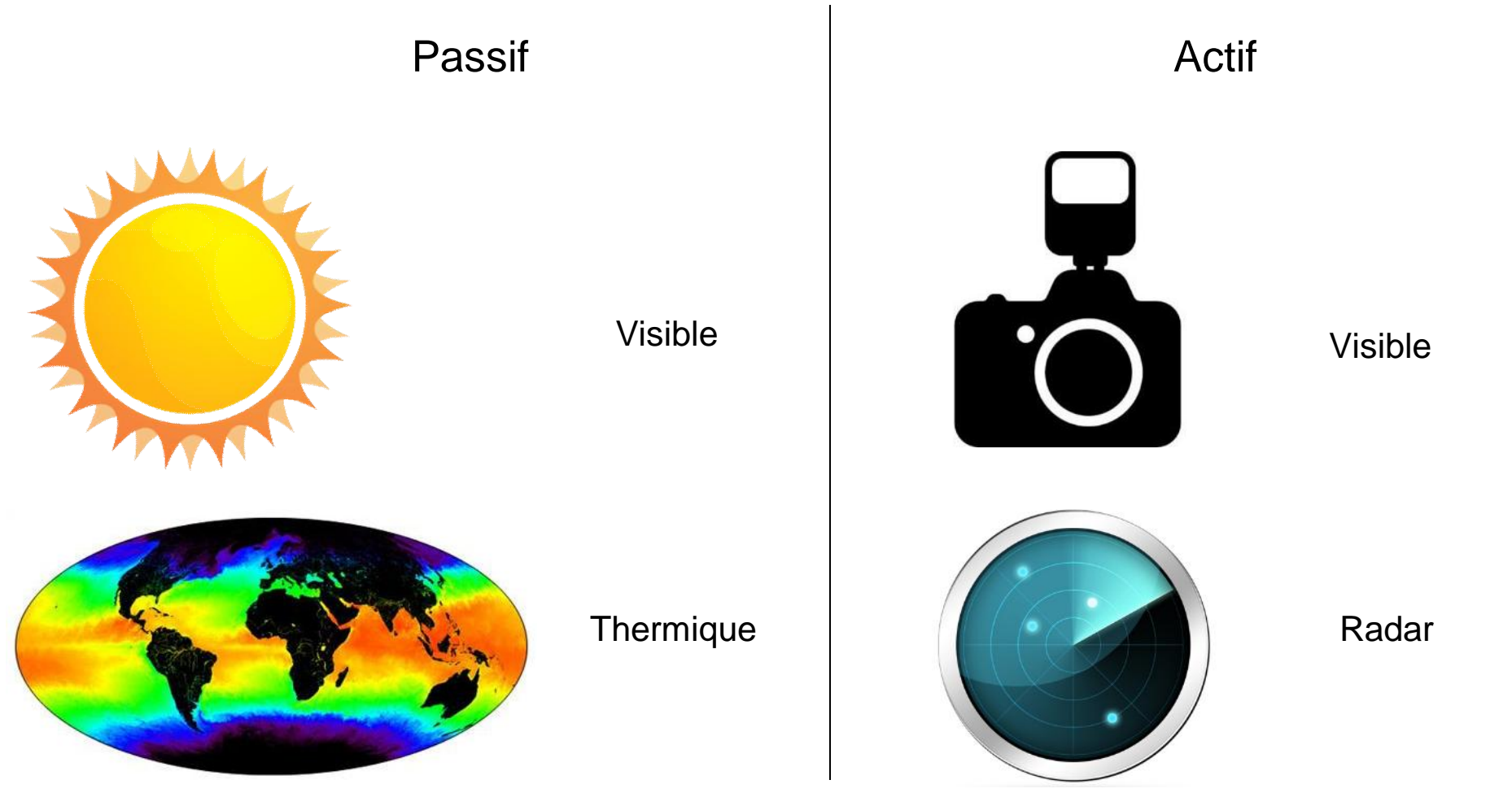
Lumière - Le spectre électromagnétique







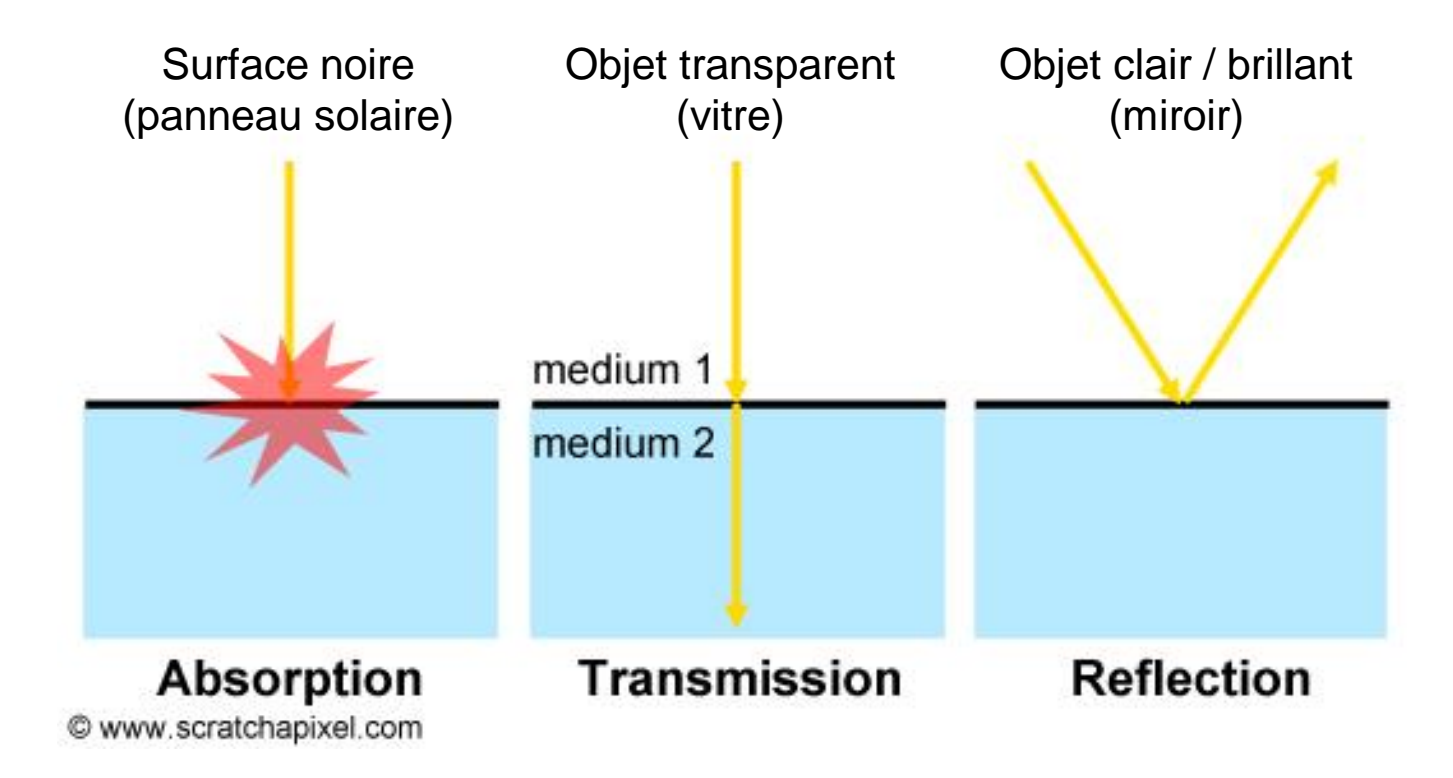
Lumière - Source électromagnétique







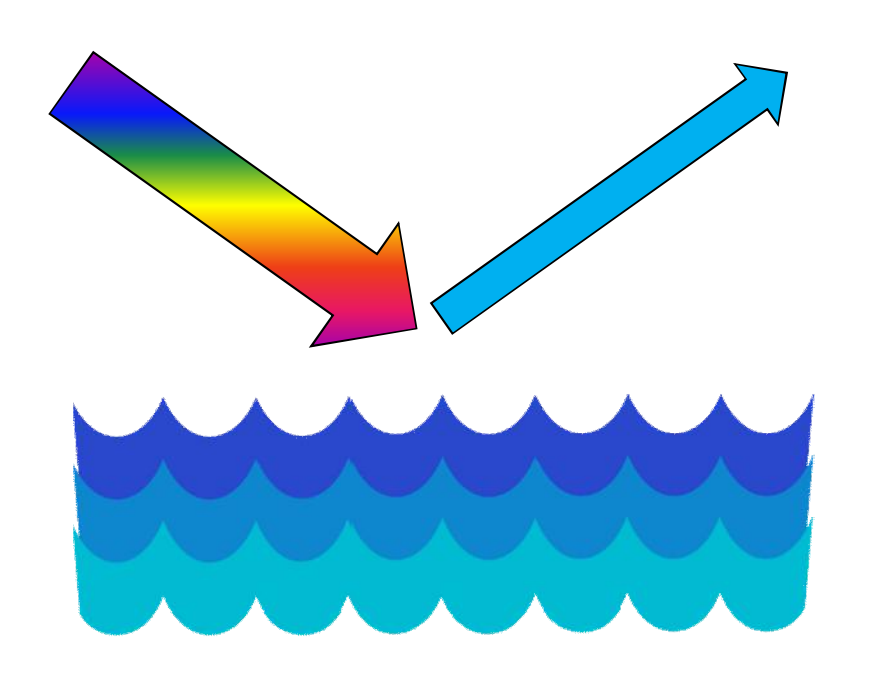
Interaction avec un objet - types

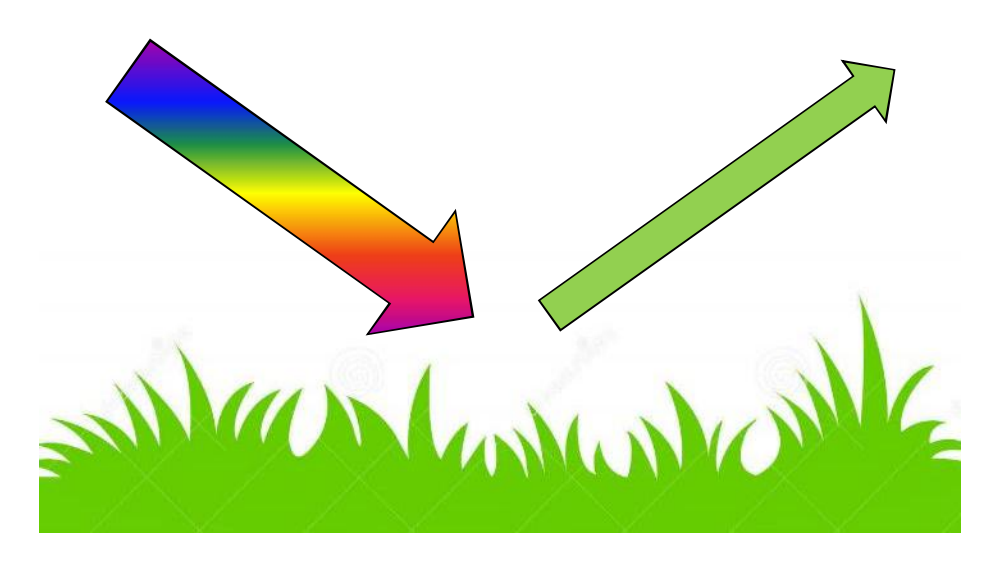






Interaction avec un objet – spectre réfléchi





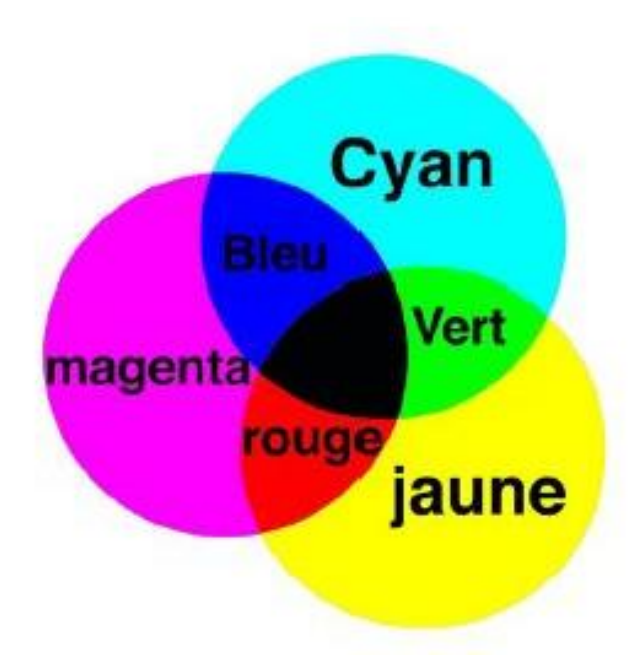




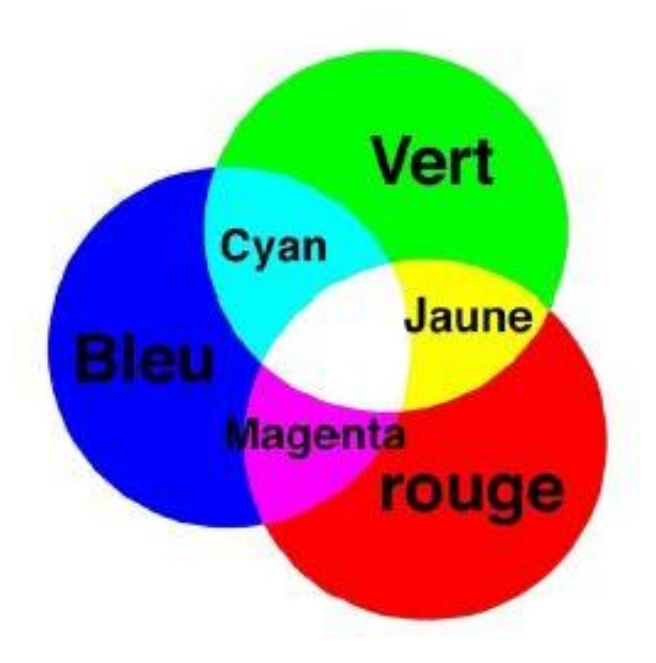
Récepteur photosensibles – Formation des couleurs

Synthèse soustractive (pigments)

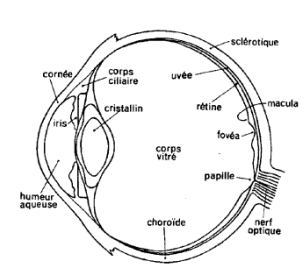
Peinture, encre...



Synthèse additive (lumière)

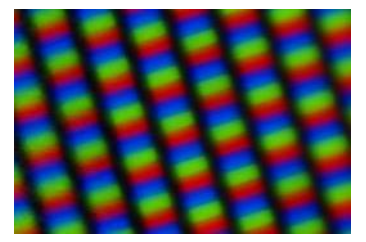


L'oeil





Les récepteurs photo







Les satellites d'observation de la Terre

- Des « boites » de quelques dizaines de kilos à plusieurs tonnes qui tournent autour de la Terre en tournant à plusieurs km/s,
- qui émettent parfois leur propre lumière pour éclairer à des centaines de kilomètres,
- et prennent des centaines de giga-octets de photos tous les jours:
 - quelques uns voient des centaines de couleurs,
 - o d'autres voient des détails inférieurs au mètre,
 - certains voient des millions de kilomètres carrés à chaque instant.

Certains mesurent

- le champ magnétique,
- la gravitation,
- l'altitude du sol, de la mer et des glaces,
- les concentrations en gaz de la haute atmosphère,

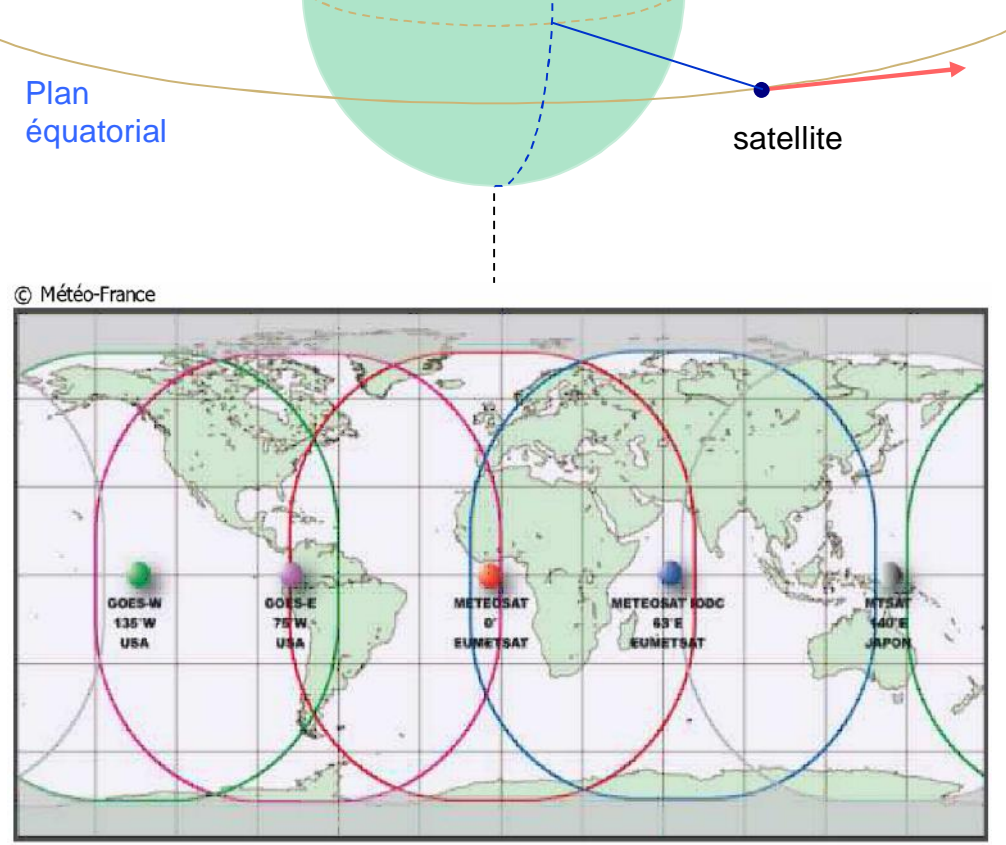
• ...











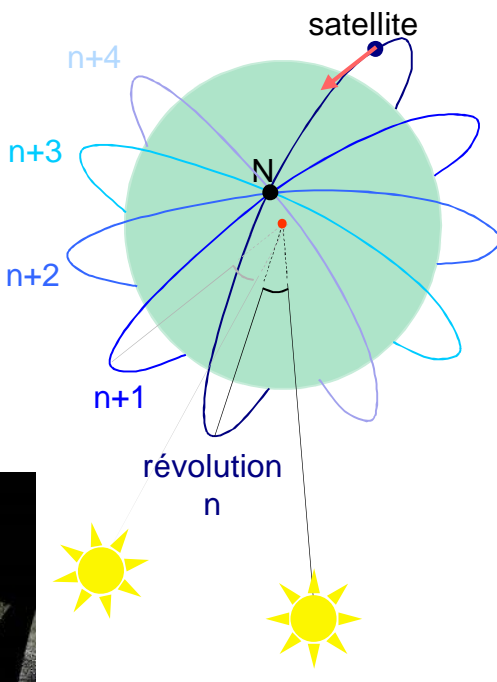




Orbite héliosynchrone

- Cycle du satellite
- Largeur de fauchée
- Dépointage de l'instrument
- Agilité du satellite









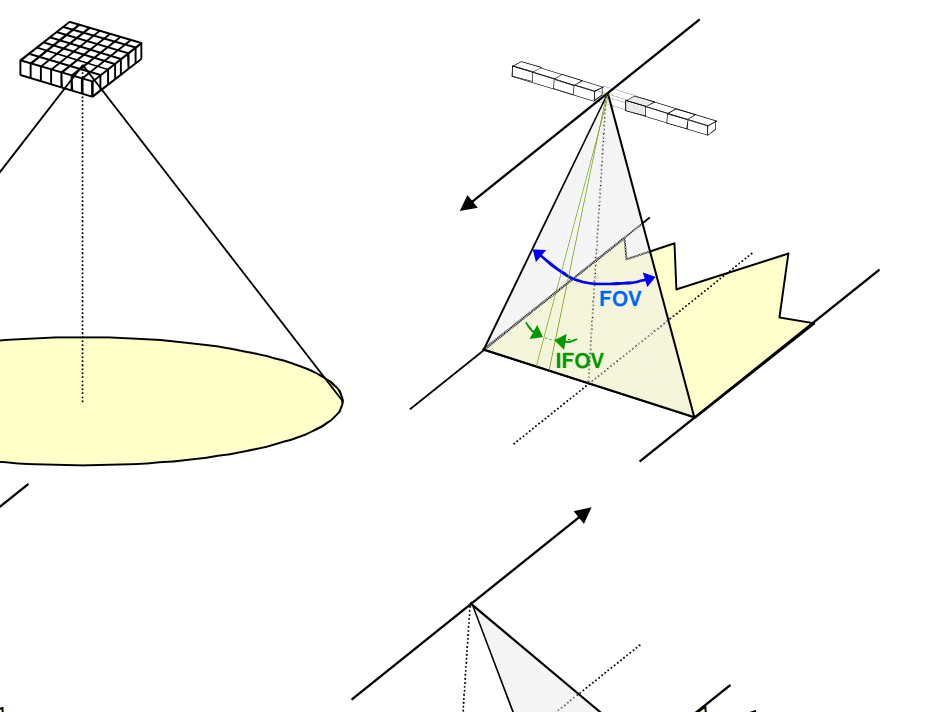
Satellites et instruments – Géométrie de prise de vue

Capteur matriciel Géométrie conique (frame camera)

Capteur en peigne (pushbroom)

Fauchées latérales (wiskbroom)

Radar







Géométrie d'acquisition – Capteur matriciel

Défaut de parallaxe

Image aérienne sur Manhattan, New York, États-Unis, Google Earth

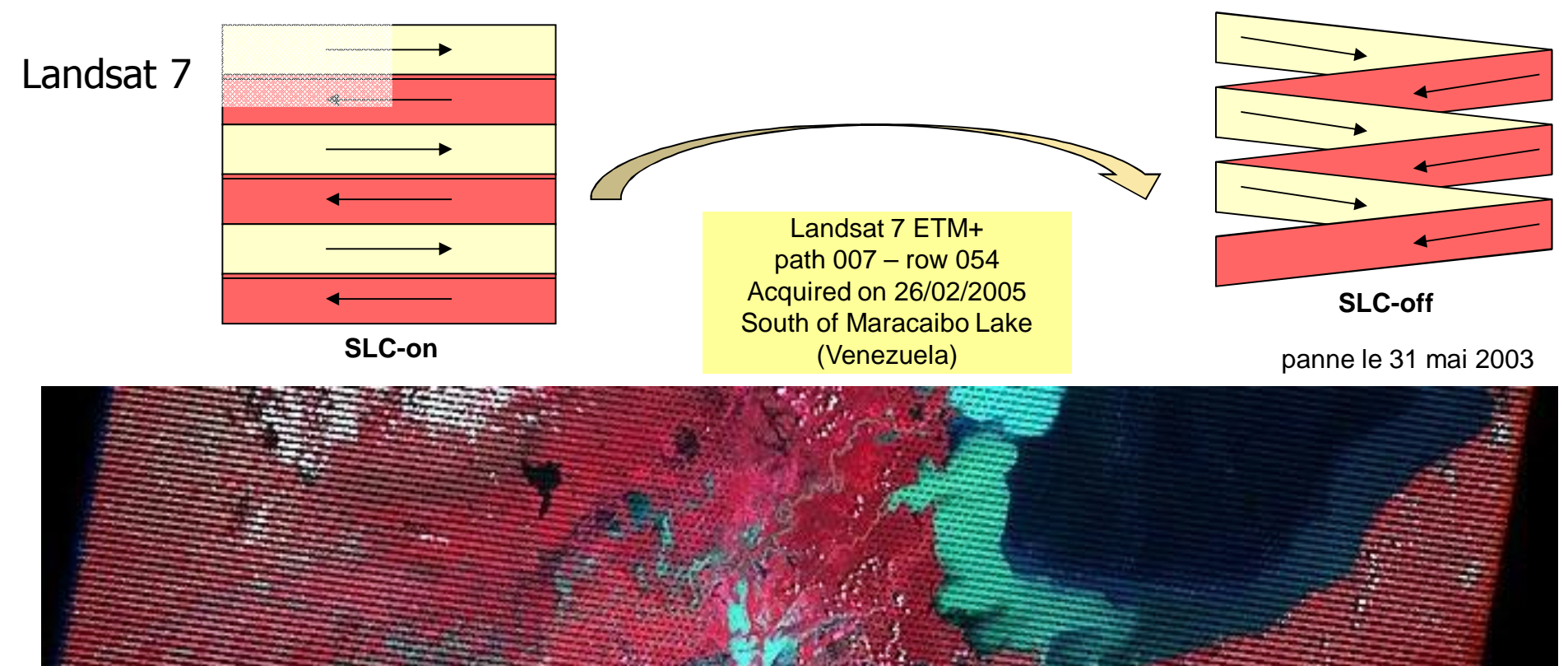






Géométrie d'acquisition – Fauchées latérales

Défaut des miroirs correcteurs





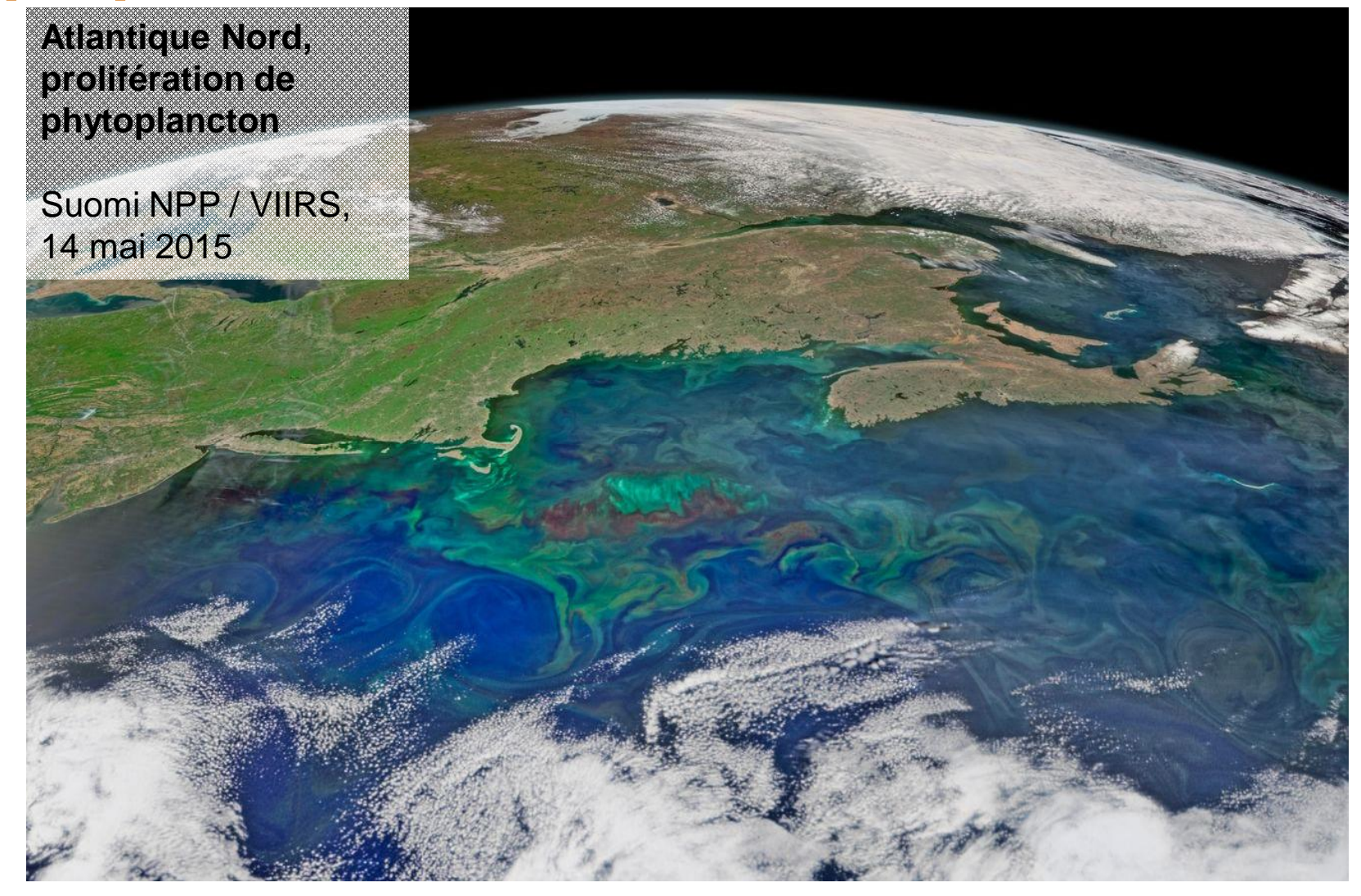


Optique – Quelques exemples

- http://earthobservatory.nasa.gov/TournamentEarth/
- La couleur de l'eau
- Les côtes
- Phénomènes naturels
- Paysages naturels
- Motifs agricoles
- Traces de l'Homme
- Dégradations par l'Homme





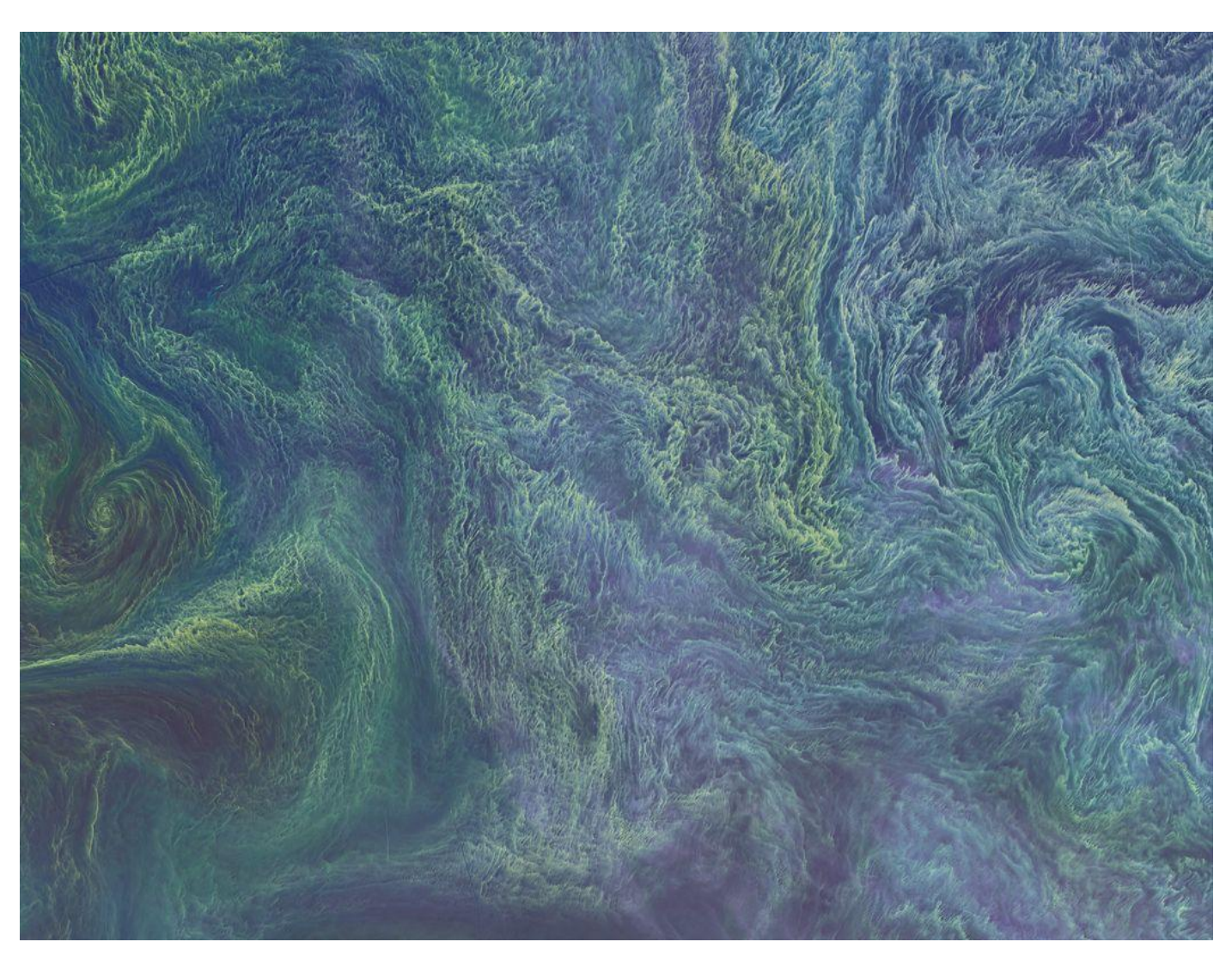






Mer Baltique, prolifération de phytoplancton cyanobactérie

Landsat-8 / OLI, 11 août 2015







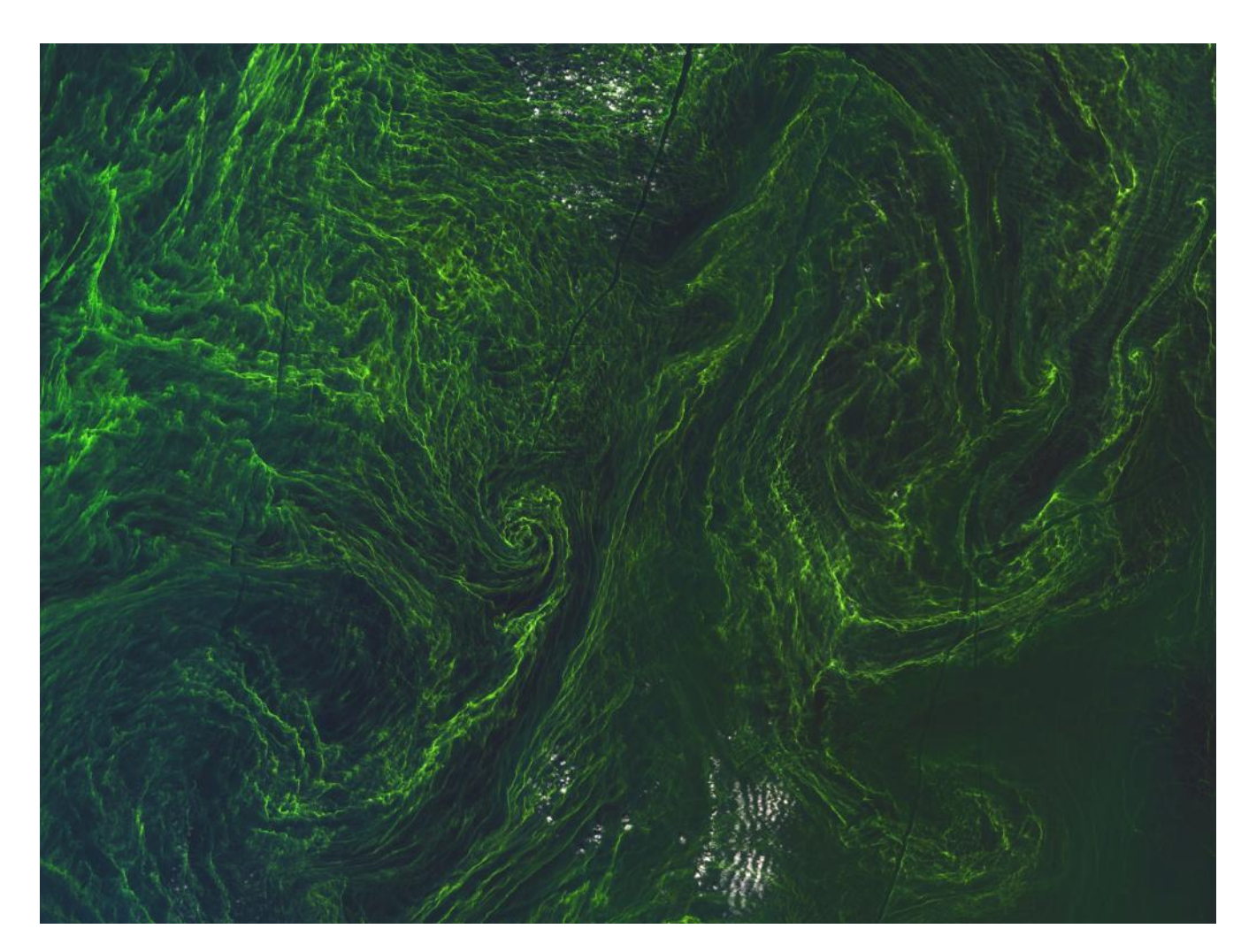






Mer Baltique, prolifération de phytoplancton

Sentinel-2A / MSI, 7 Août 2015

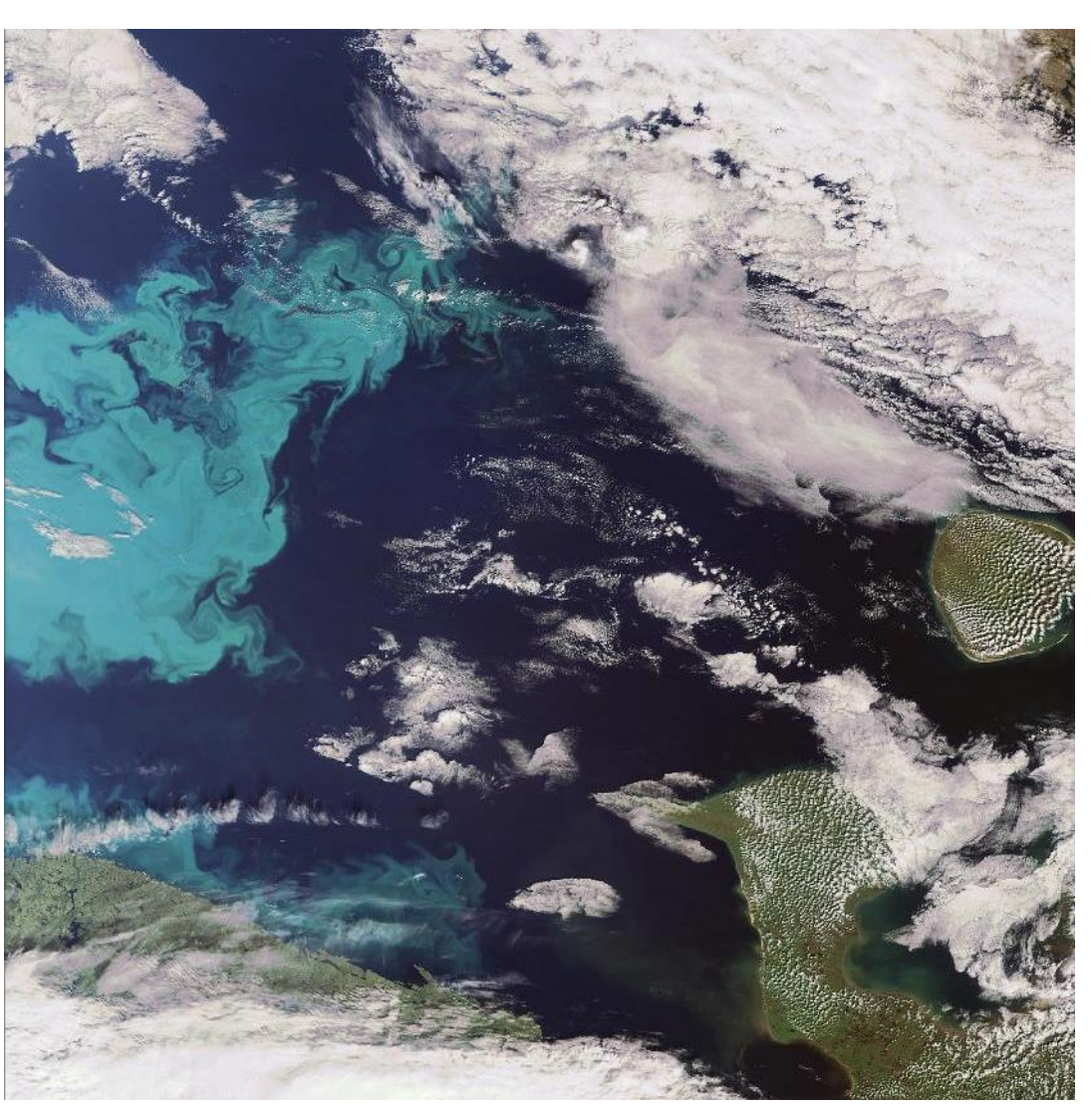






Mer de Barents, plancton

ENVISAT / MERIS, 12 Août 2013

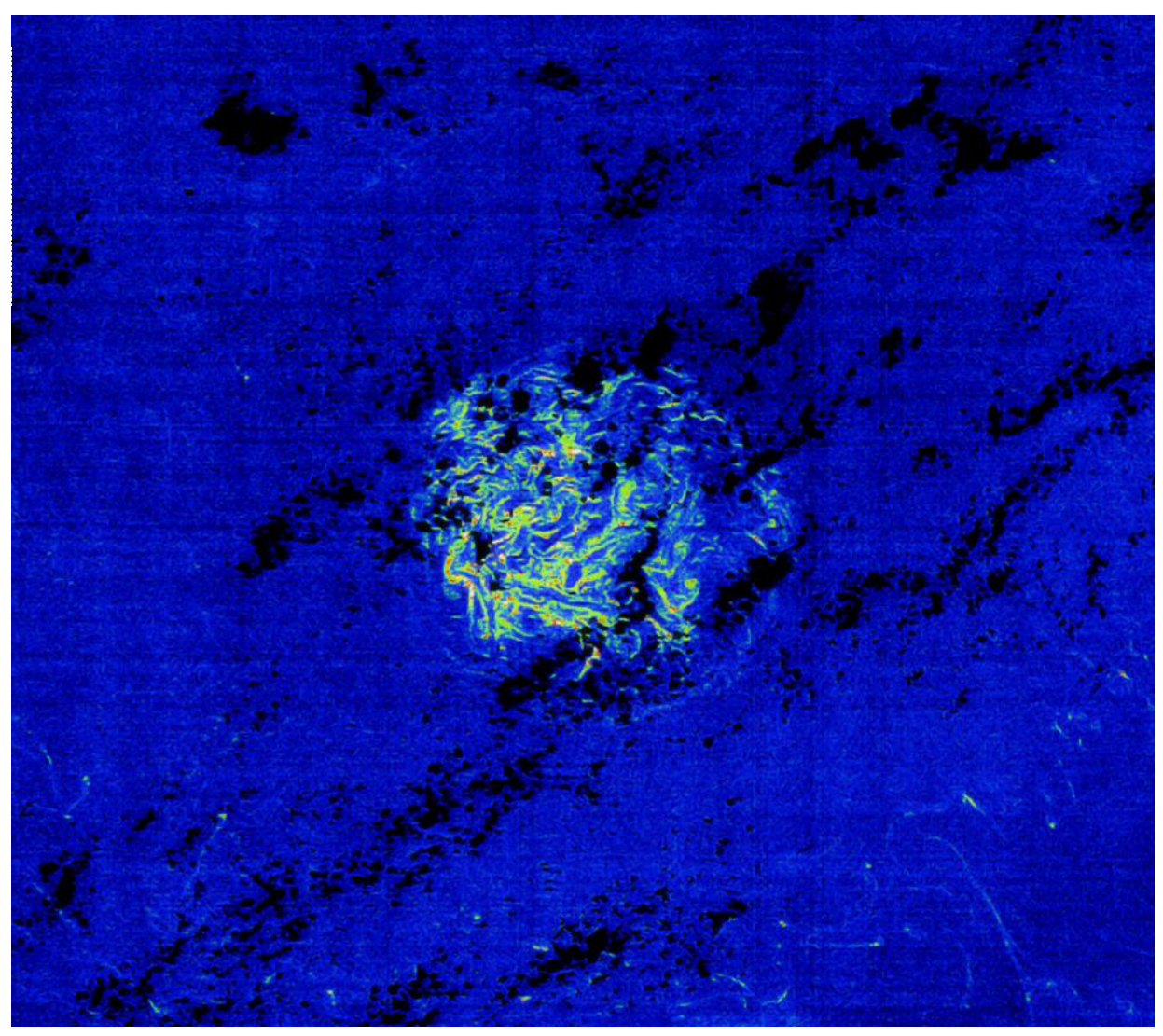






Envisat image of a patch of Sargassum

ENVISAT / MERIS, 28/11/2008 10:32 am

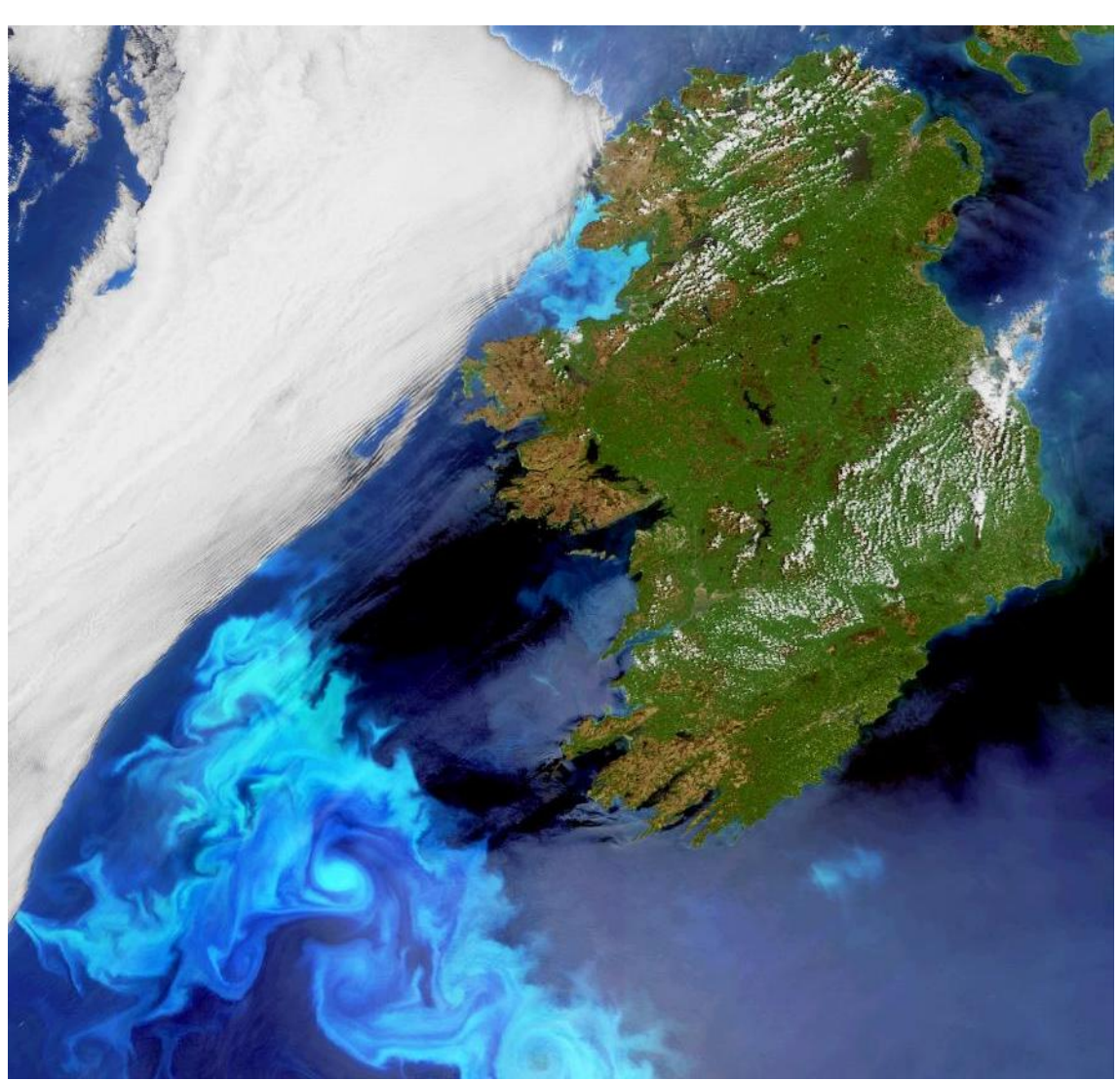






Algal bloom off Ireland

Envisat / MERIS, 09/10/2012 5:27 pm







Colours of the Persian Gulf

Sentinel-2, 22/01/2016







Guinée-Bissau, mangroves

Landsat-8 / OLI, 3 mai 2013







Océan Pacifique Sud, atoll

Proba-1 / CHRIS, 6 Octobre 2005







Dune du Pilat, sables

ALOS / PRISM, 8 Septembre 2009







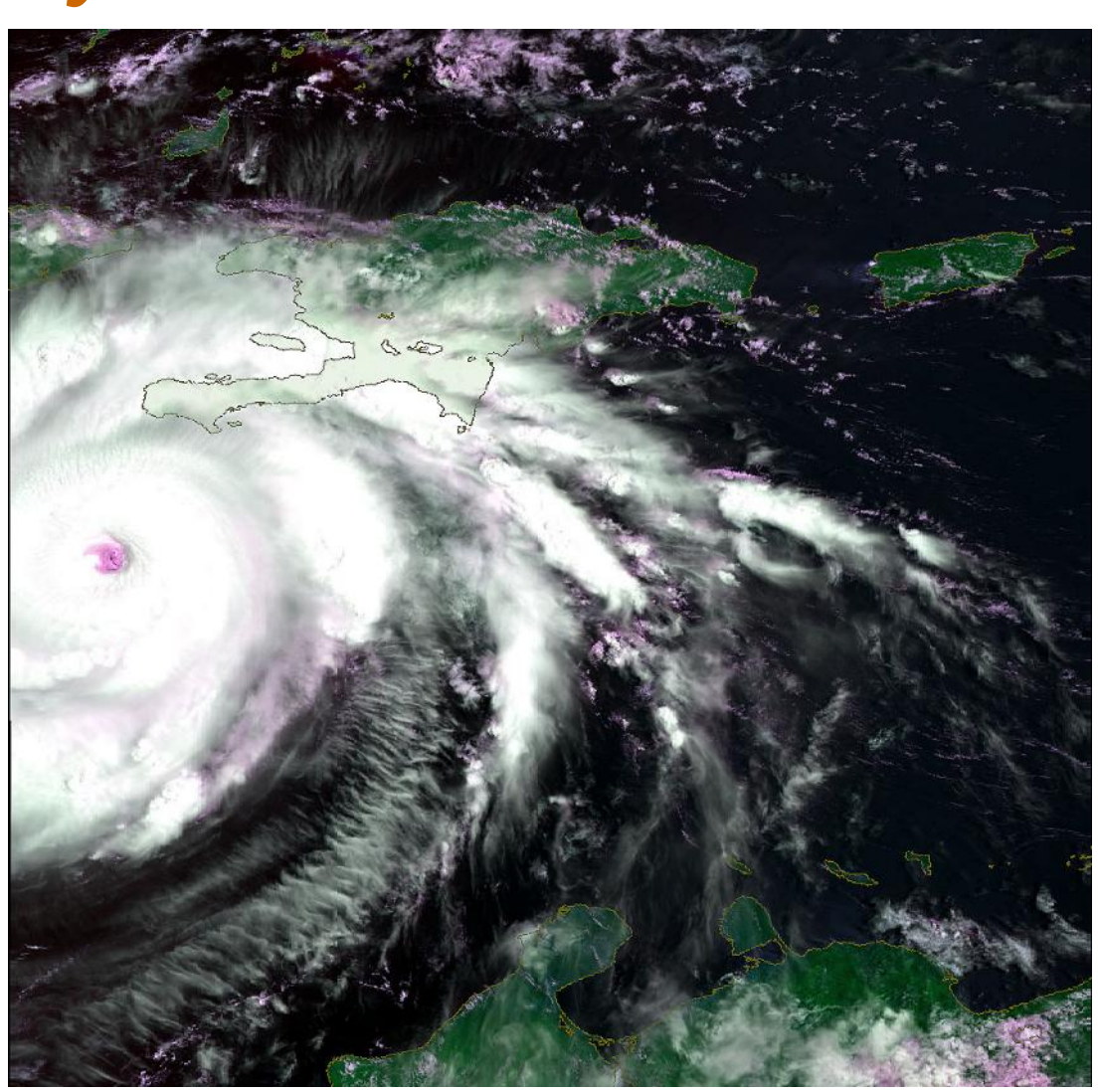
Phénomènes naturels (+-extraordinaires)





Haïti, Cyclone Dean

ENVISAT / MERIS, 119 Août 2007

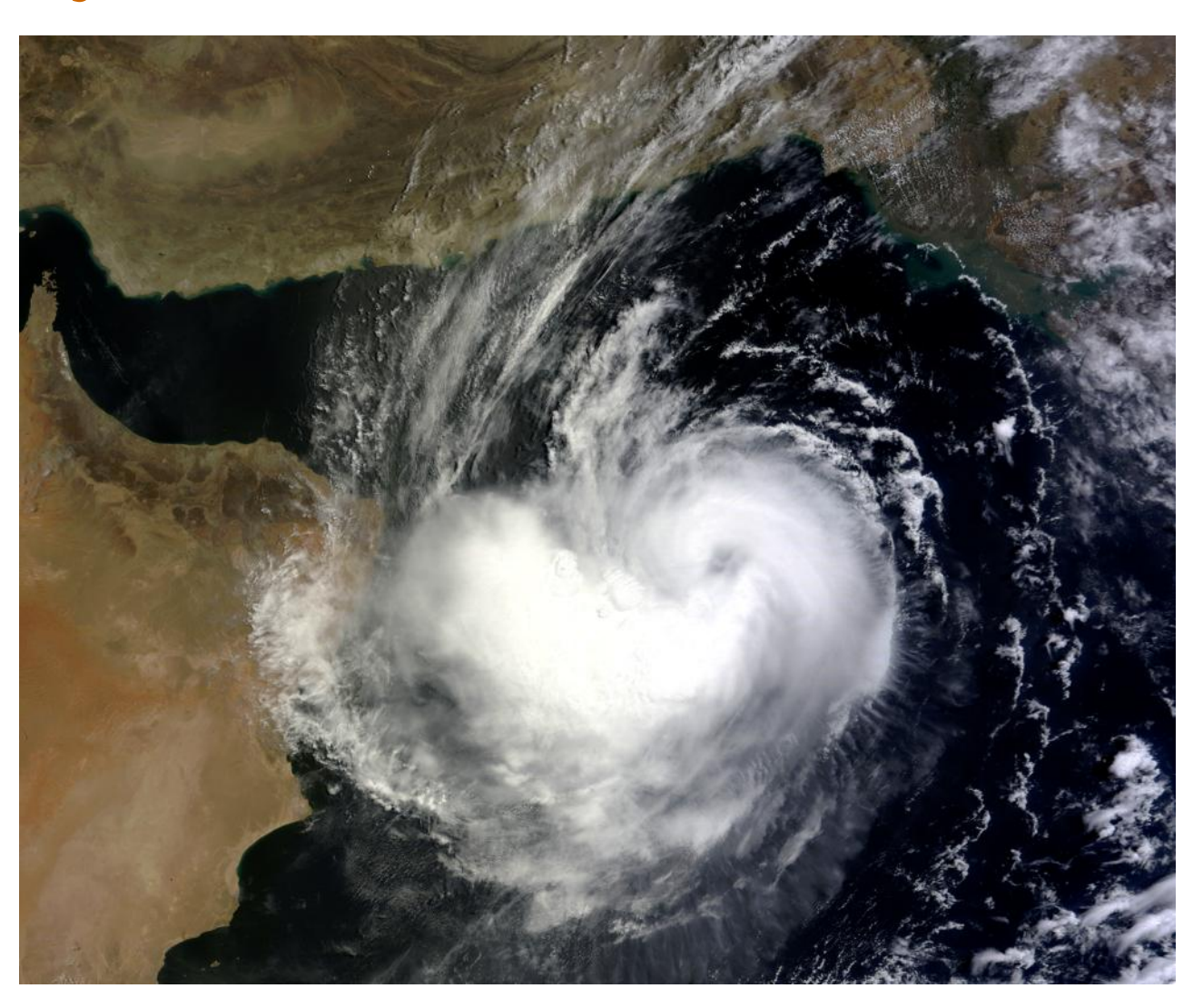






Cyclone Ashobaa sur la Mer Arabique,

Terra / MODIS, 9 juin 2015

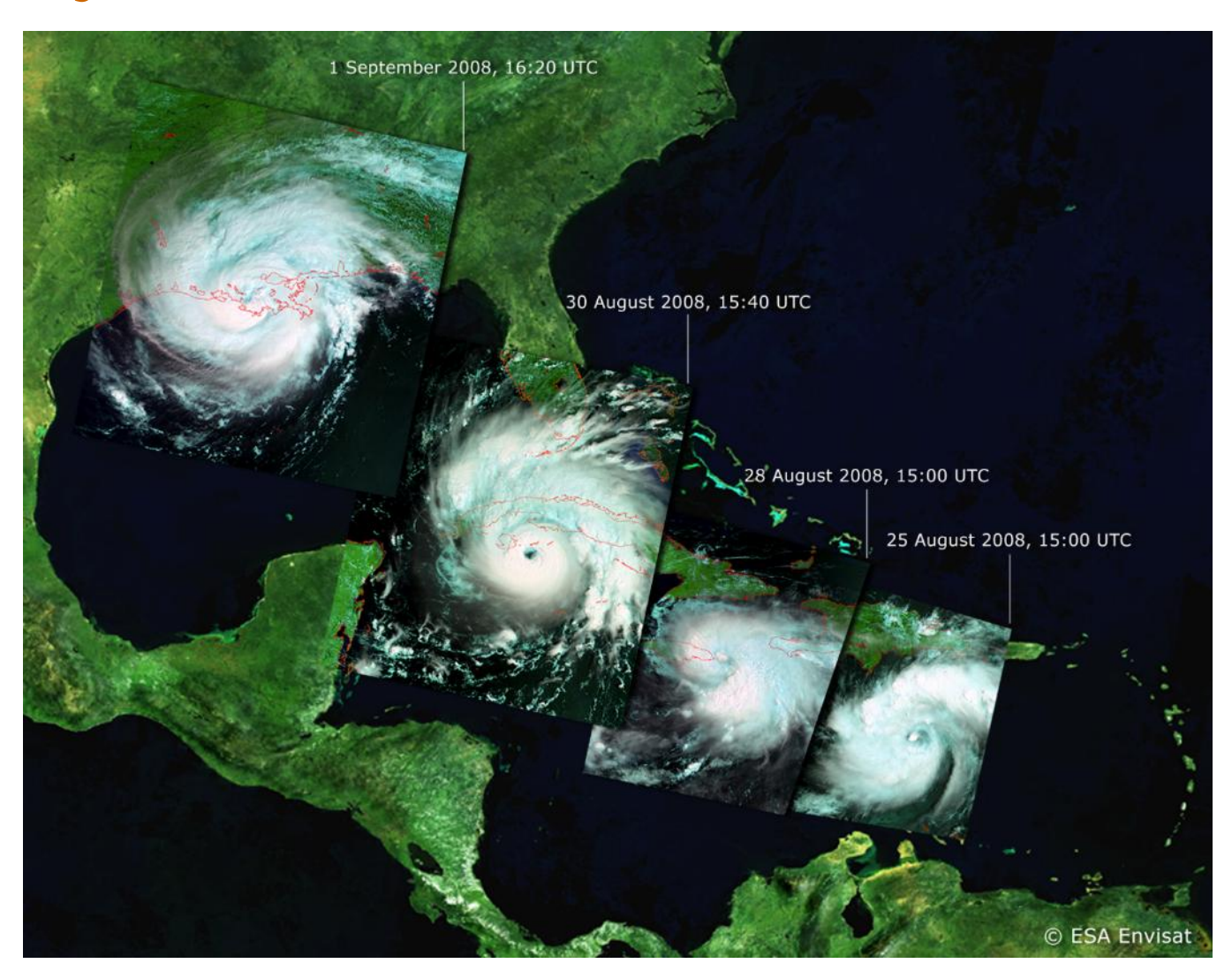






Hurricane Gustav

ENVISAT / MERIS, 25, 28, 30 August and 1 September 2008



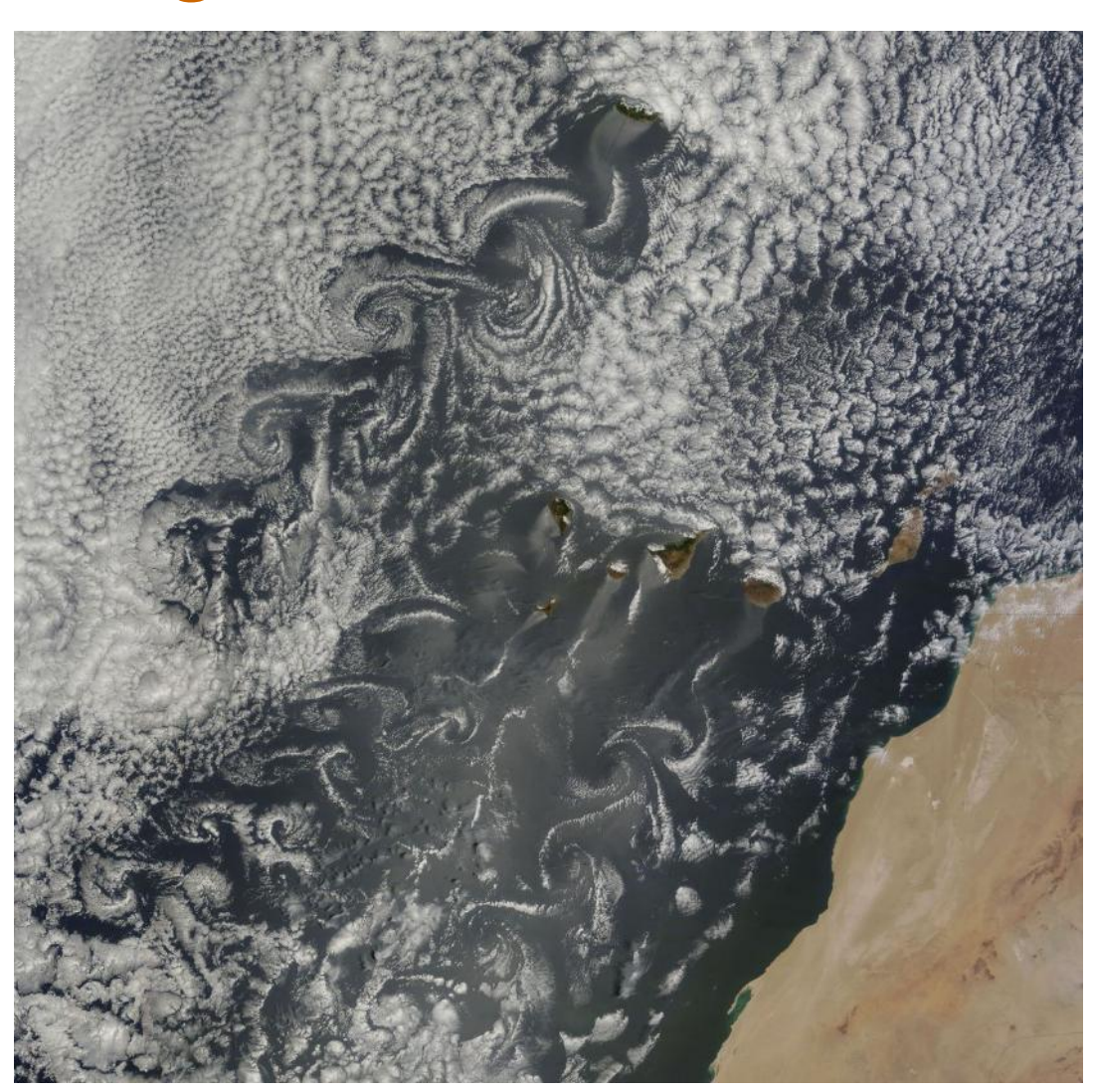




Optique - Nuages

Îles Canaries, Tourbillons de Von Karman

Terra / MODIS, 20 mai 2015

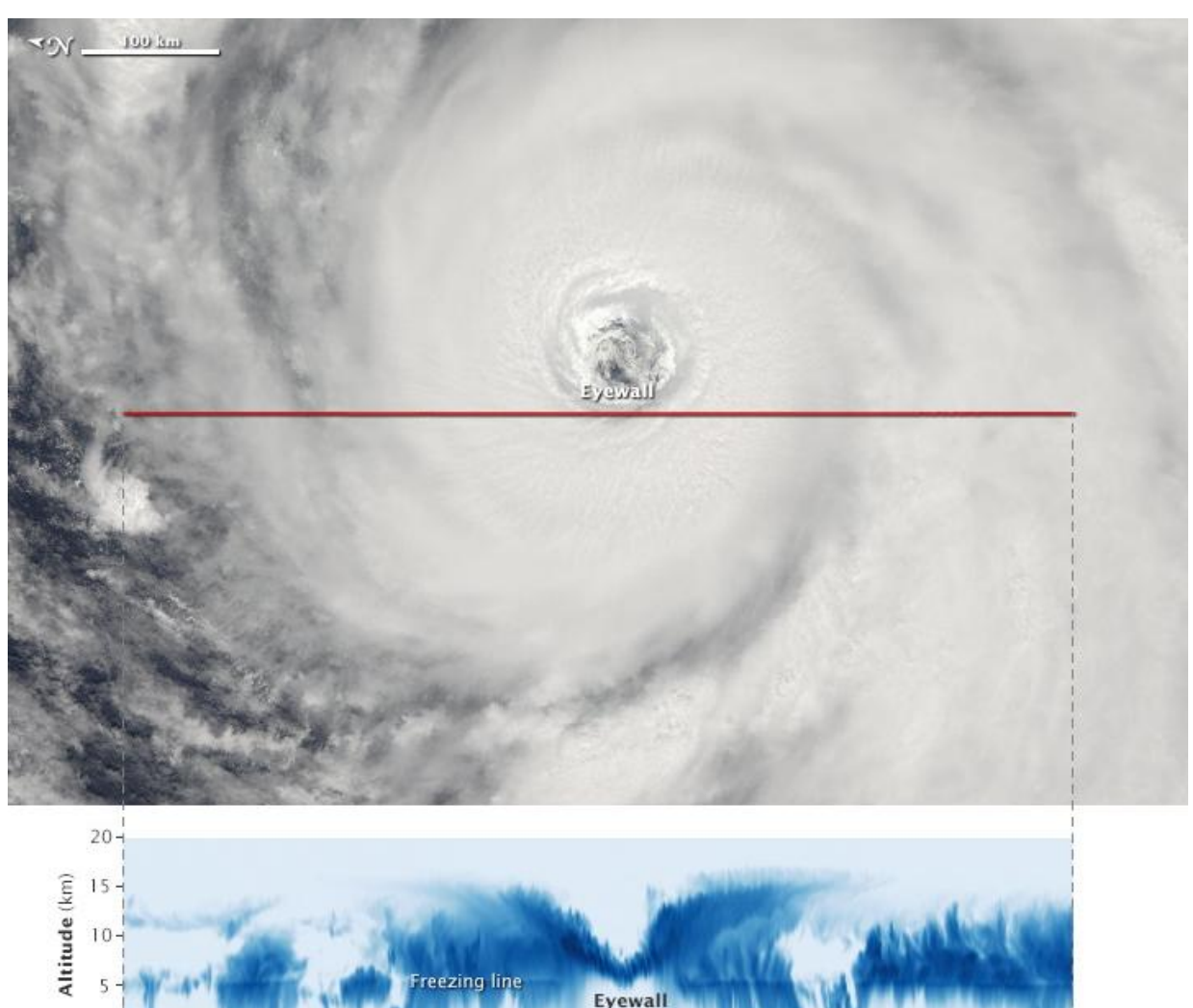






Super-typhon Atsami, Pacifique NO,

Aqua / MODIS & Cloudsat / Cloud Profiling Radar, 19 août 2015



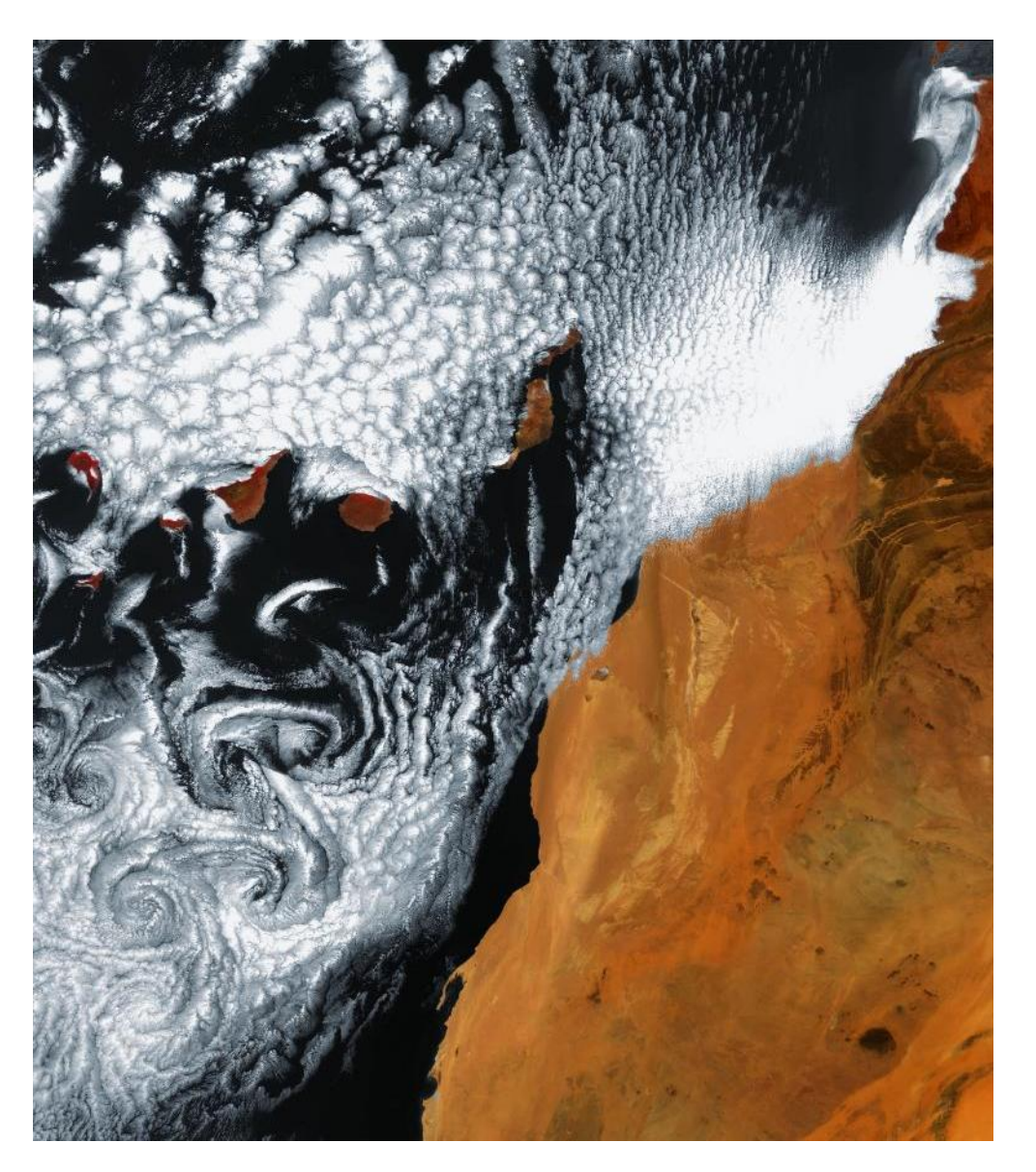




Optique – Nuages

Îles Canaries, Tourbillons de Von Karman

ENVISAT / MERIS, 6 Juin 2010



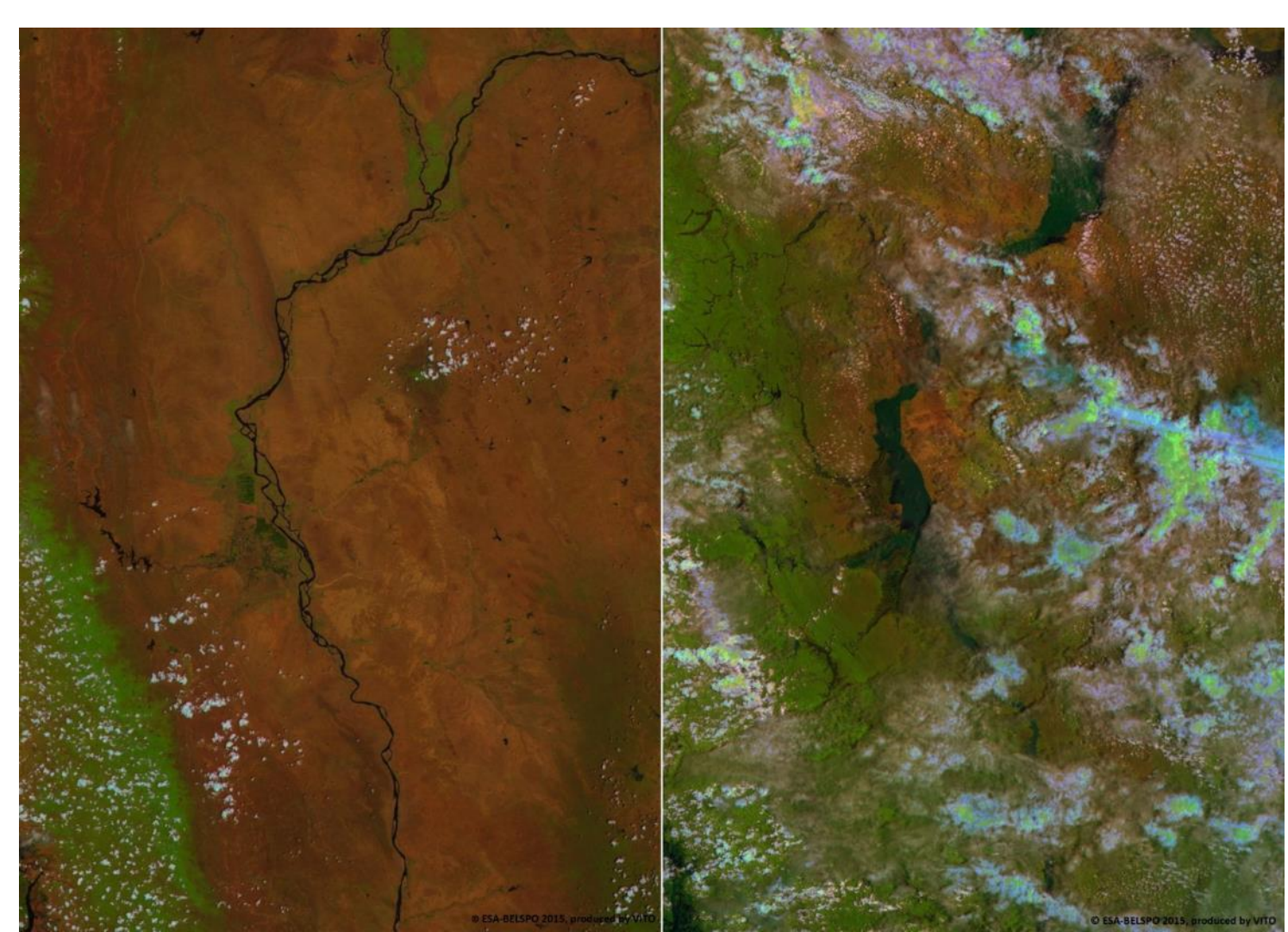




Optique – Inondation

Asia, Myanmar floods

Proba V, 03/08/2015



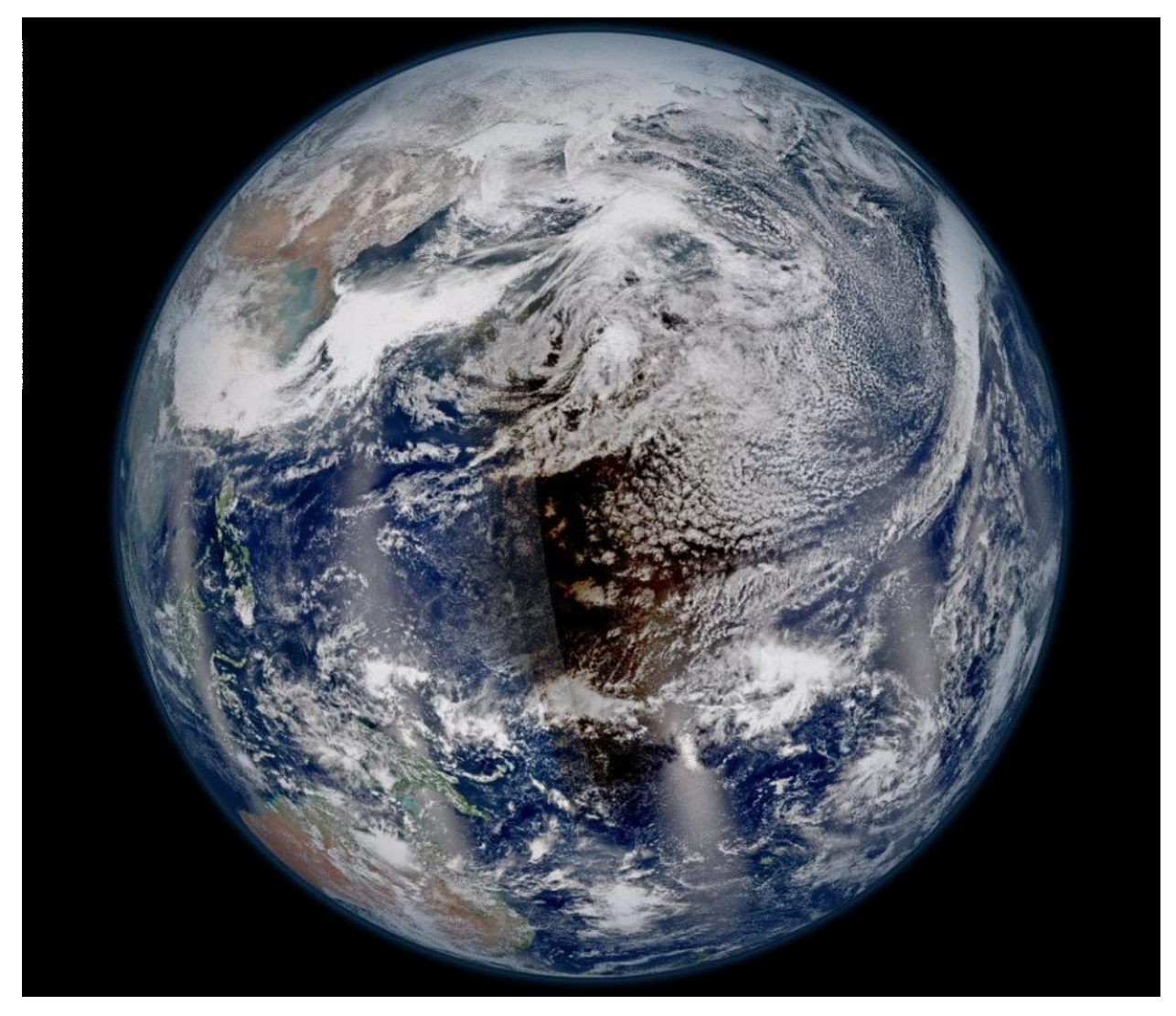




Optique – Eclipse

Océan Pacifique Sud, éclipse solaire totale

Suomi NPP / VIIRS, 9 Mars 2016



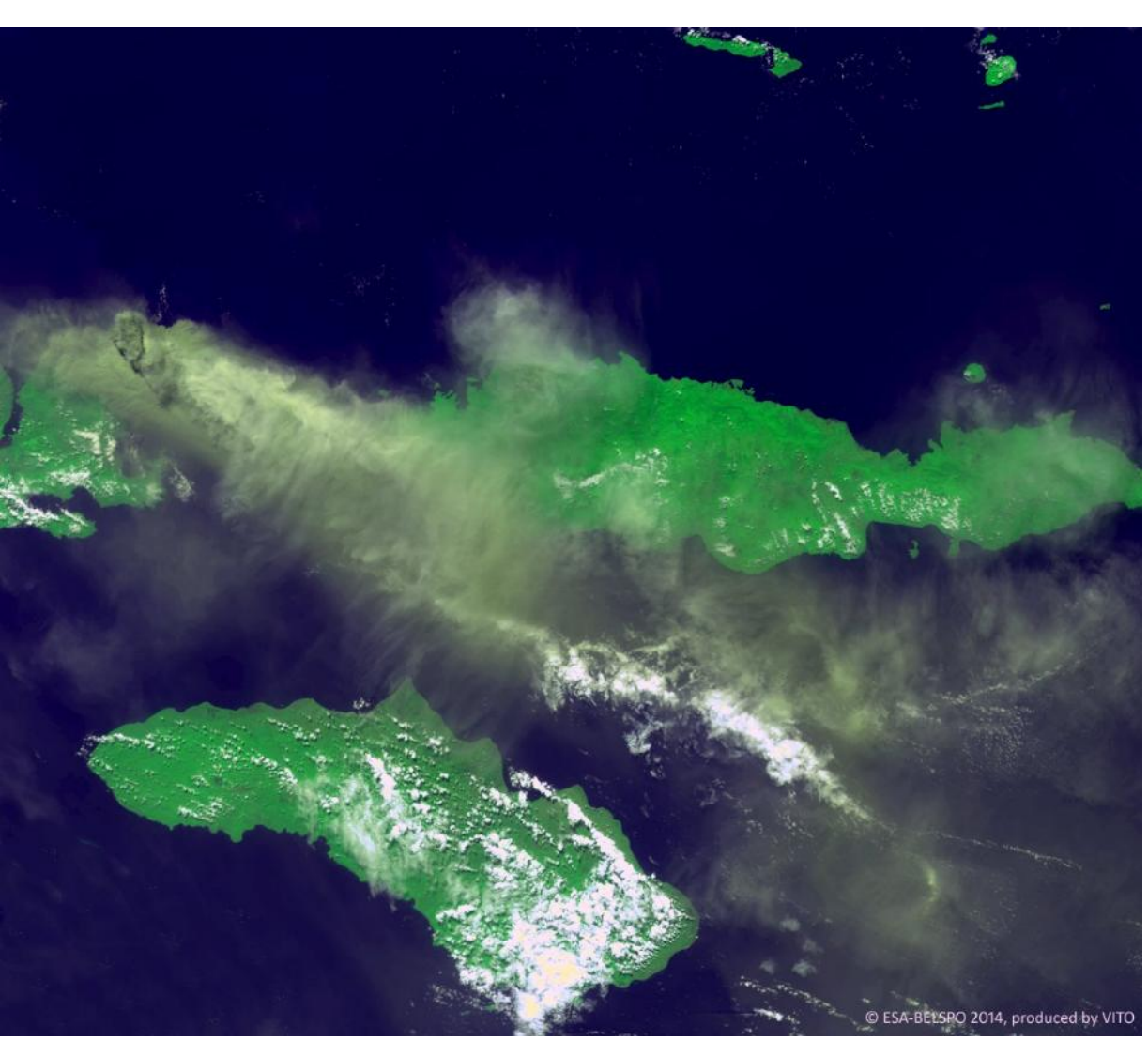




Optique - Volcano

Proba-V images Indonesian volcano

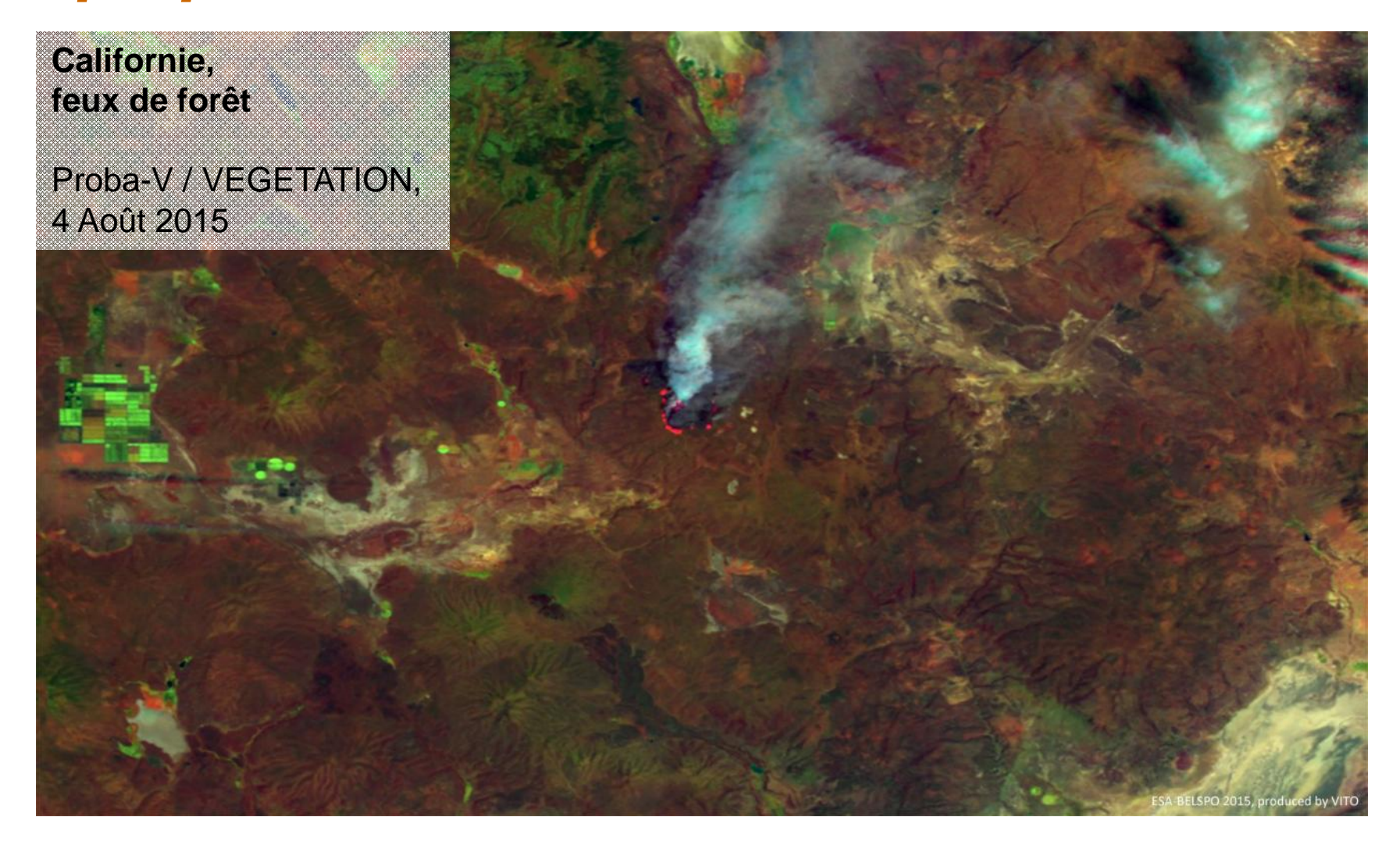
04/12/2014 10:29 am







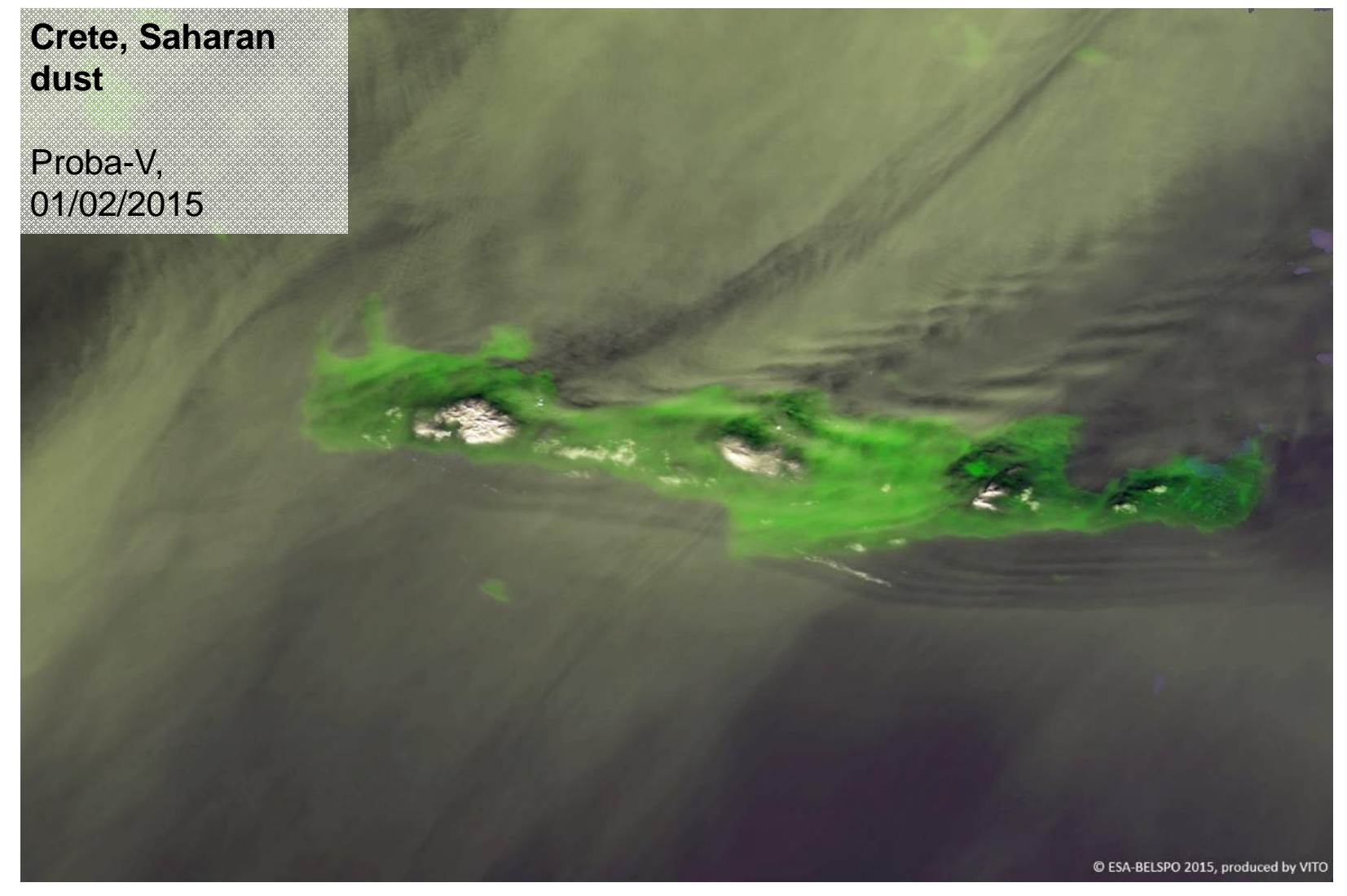
Optique – Feux







Optique – Tempête de sable



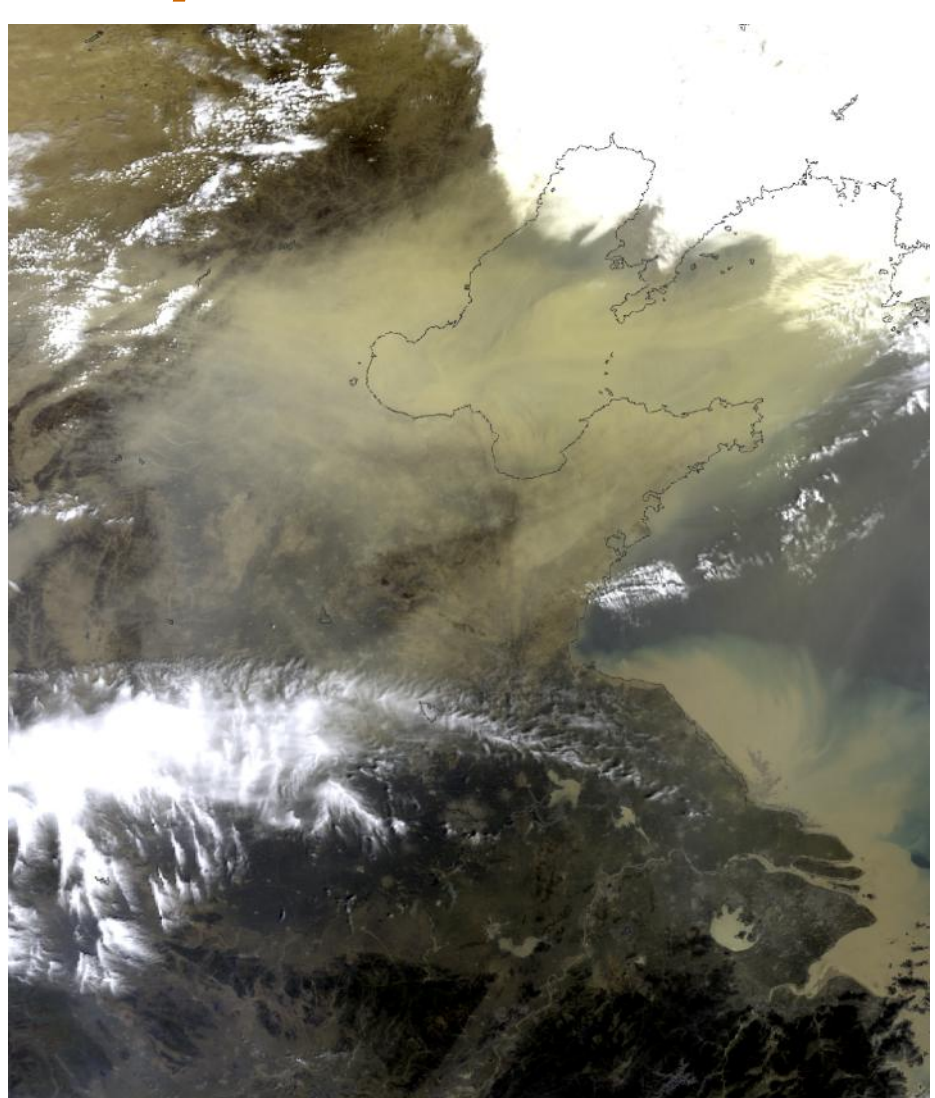




Optique – Tempête de sable

Pékin, Tempête de sable

ENVISAT / MERIS 17 Avril 2006



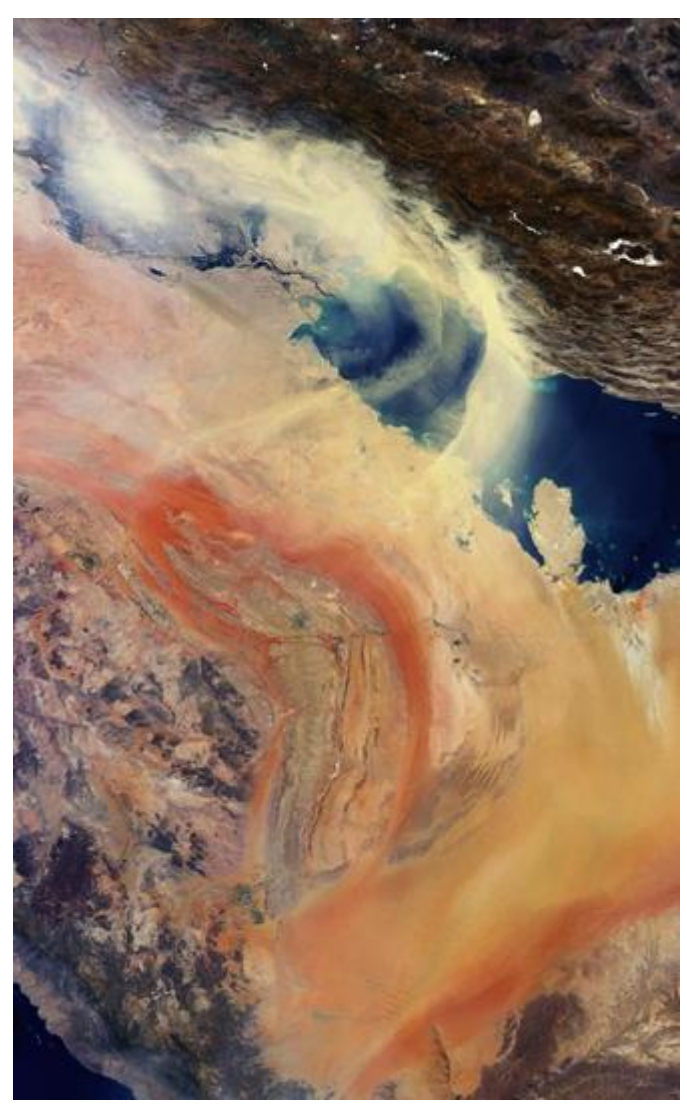




Optique – Tempête de sable

Persian Gulf sandstorm

Proba-V, 11/07/2008 12:12 pm







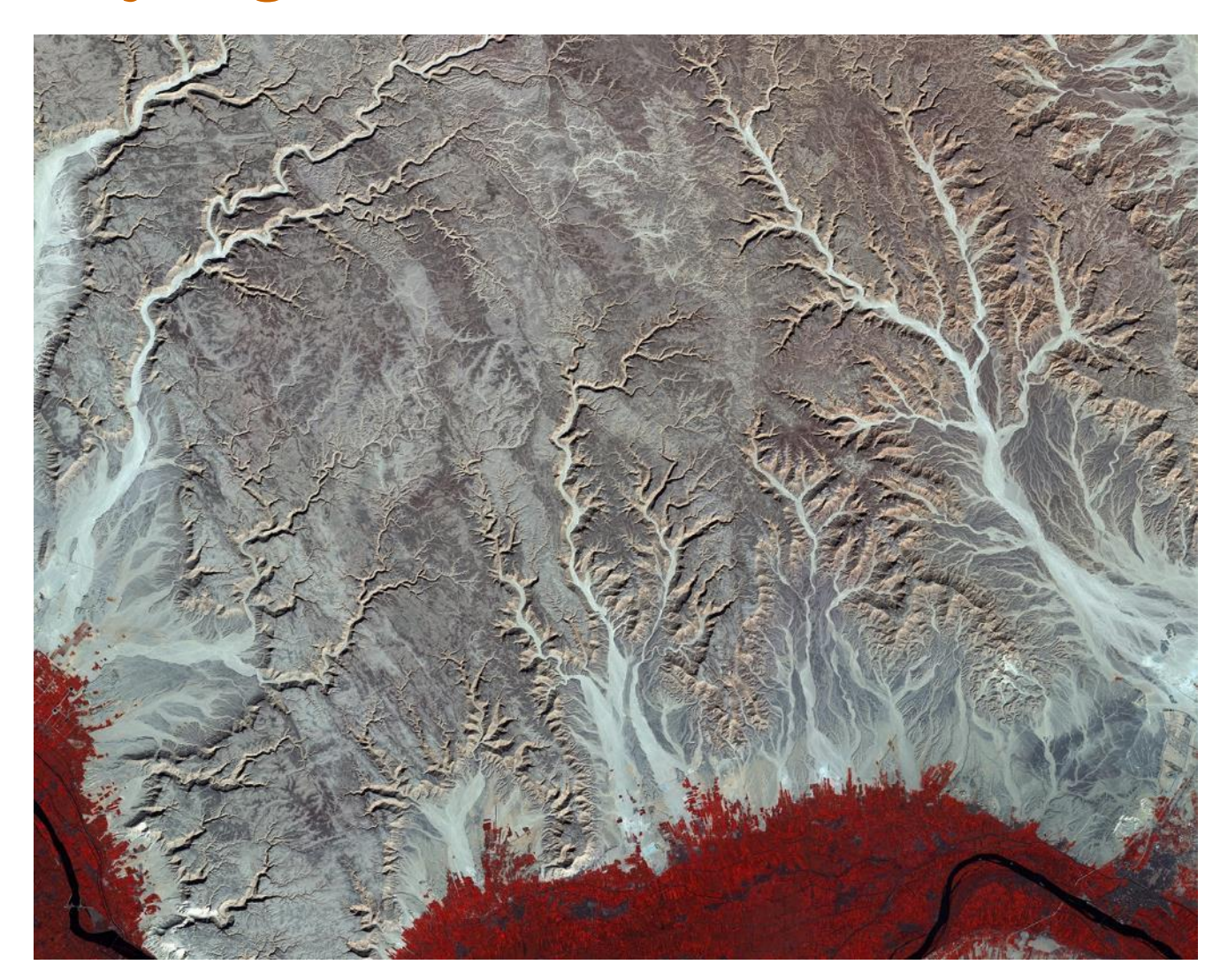
Motifs naturels





Eastern Desert

Sentinel-2A, 26/02/2016 10:05 am

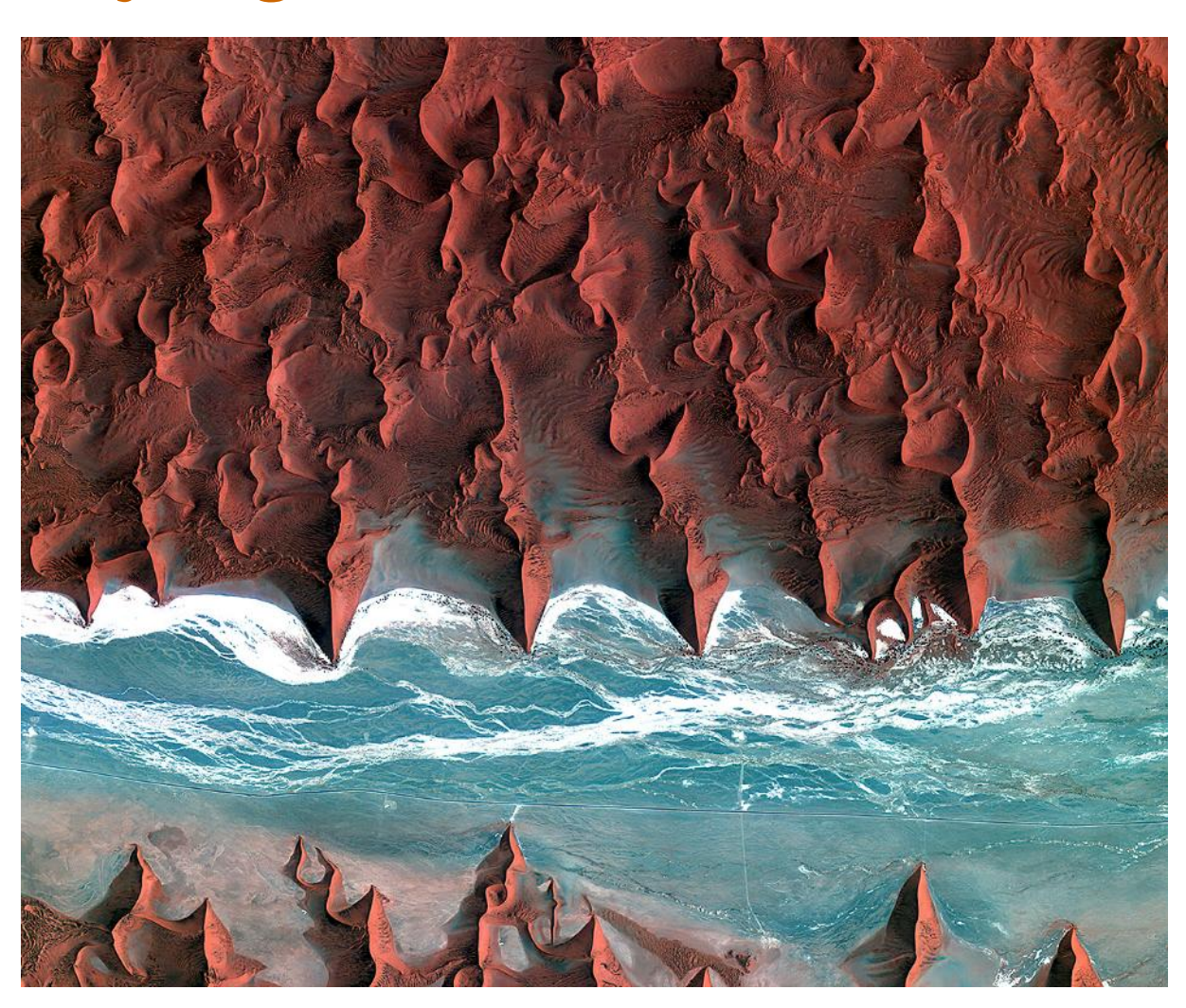






Désert du Namib, mer de sable

Kompsat-2 / MSC 7 Janvier 2012







Peruvian landscape

Kompsat-2, 04/07/2013 11:24 am

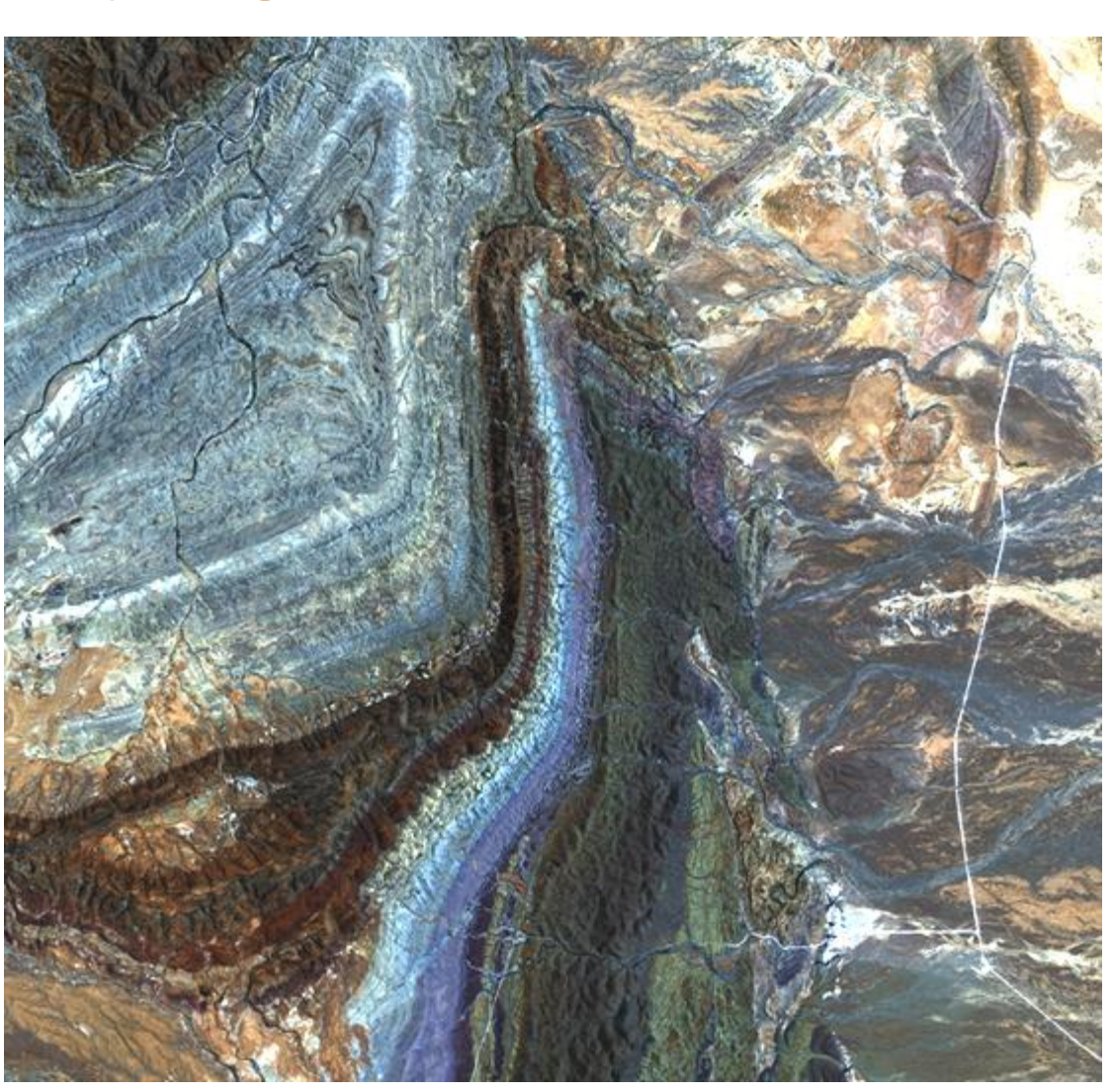






Australie-Méridionale, montagnes

ALOS-2 / PRISM 3 Janvier 2009

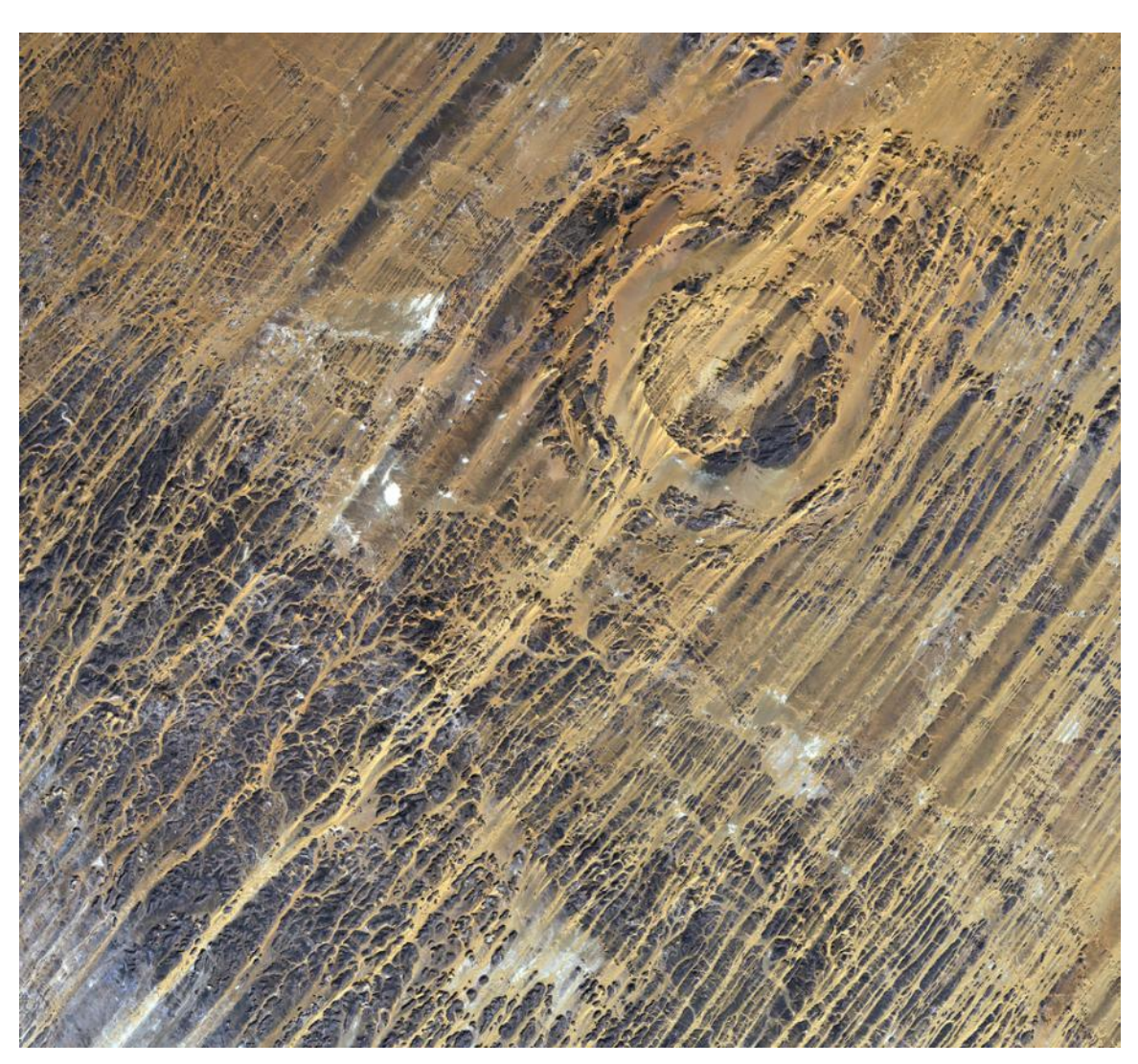






Aorounga Crater, Chad

ALOS AVNIR-2, 29/11/2013 10:00 am







Mauritanie, Sahara

ALOS-2 / AVNIR-2 23 Novembre 2010



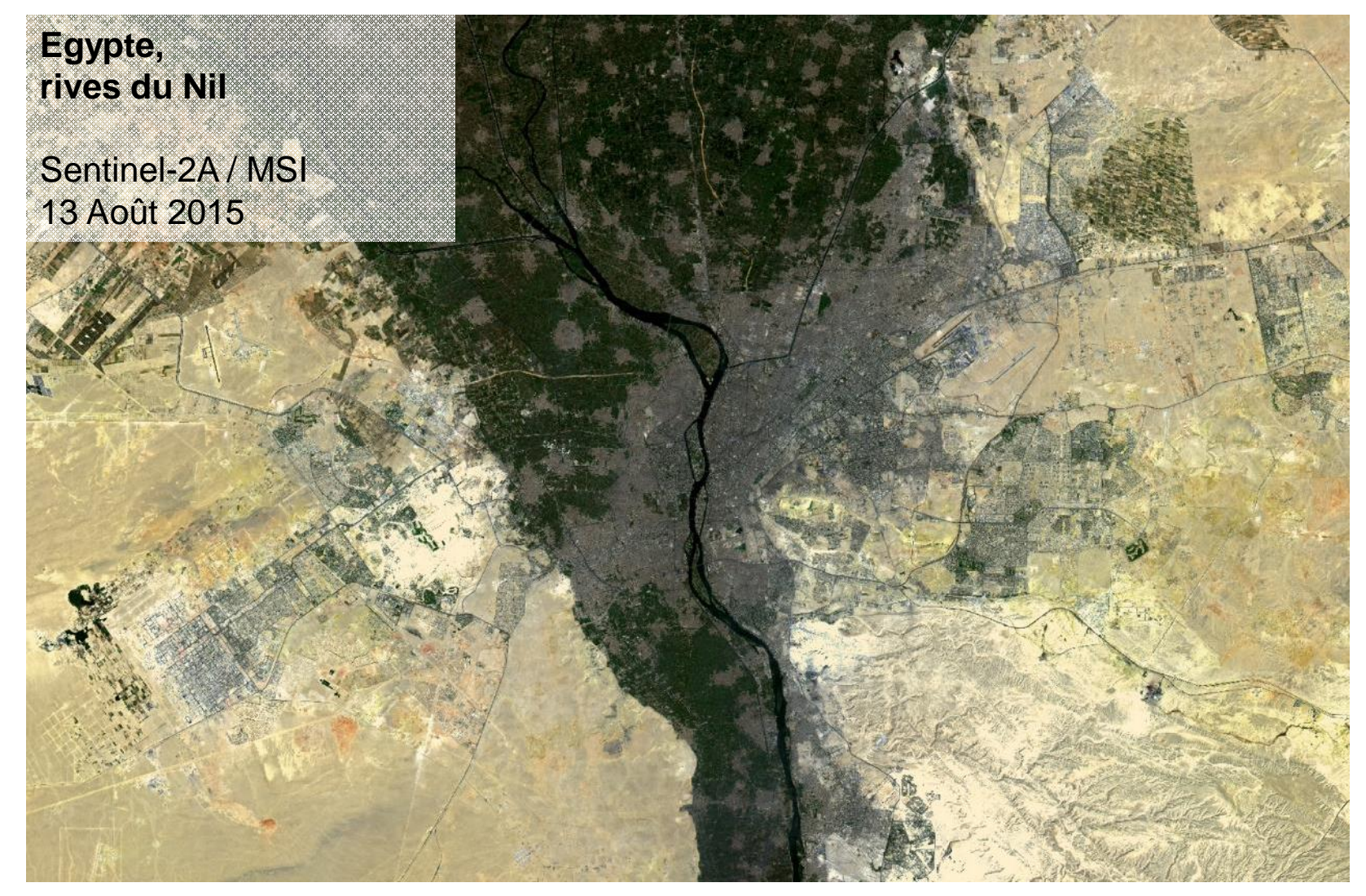




Motifs agricoles





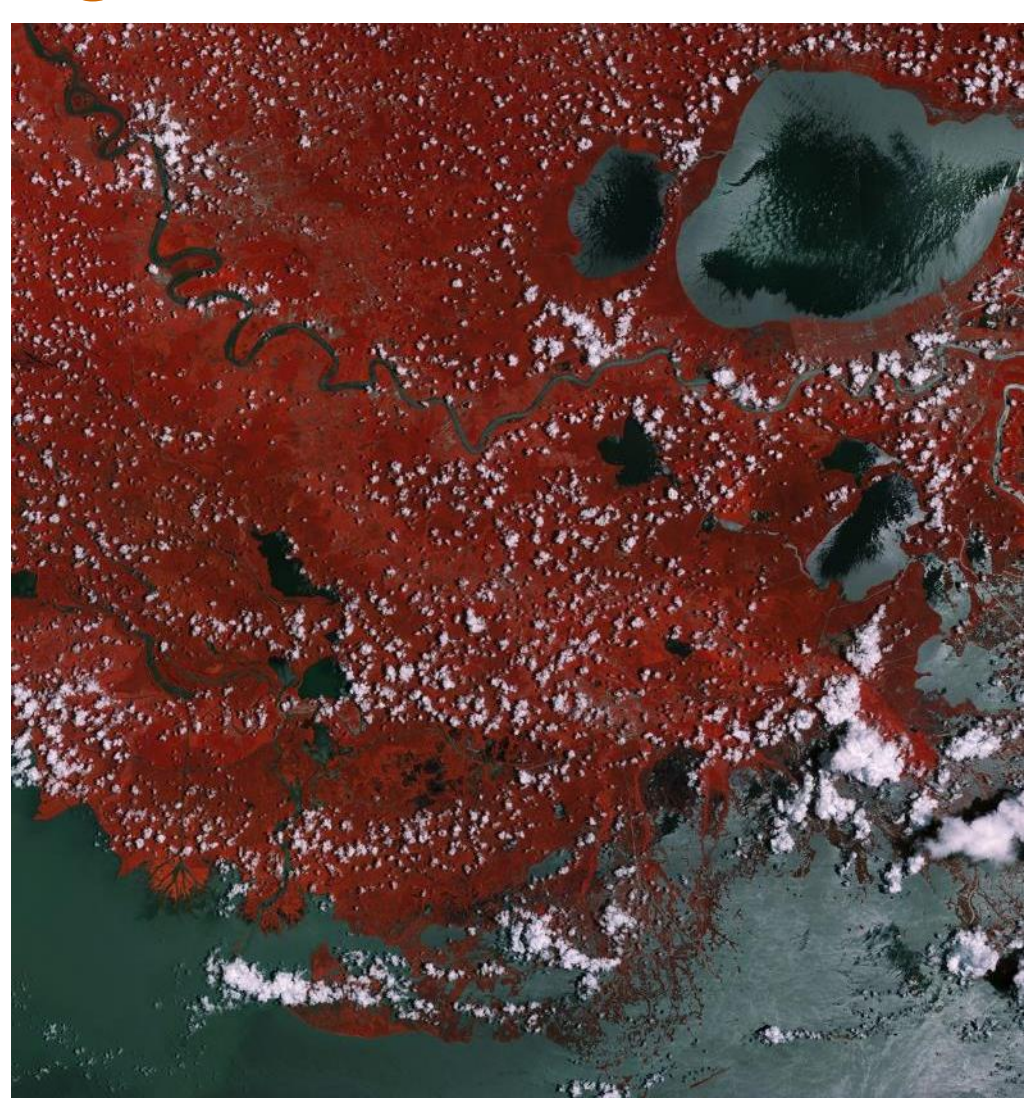






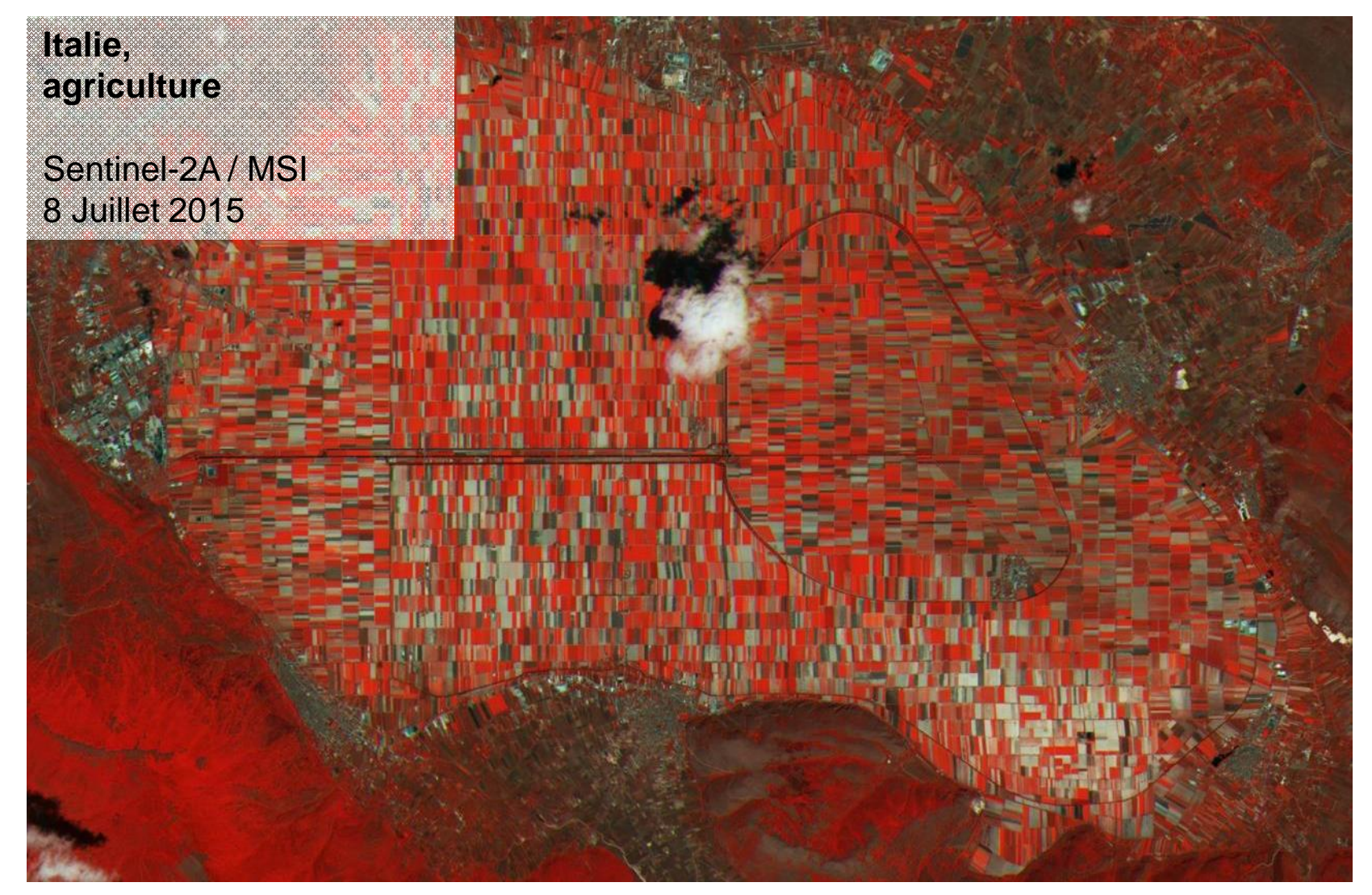
Mississippi swampland

Sentinel-2A, 18/09/2015 10:00 am



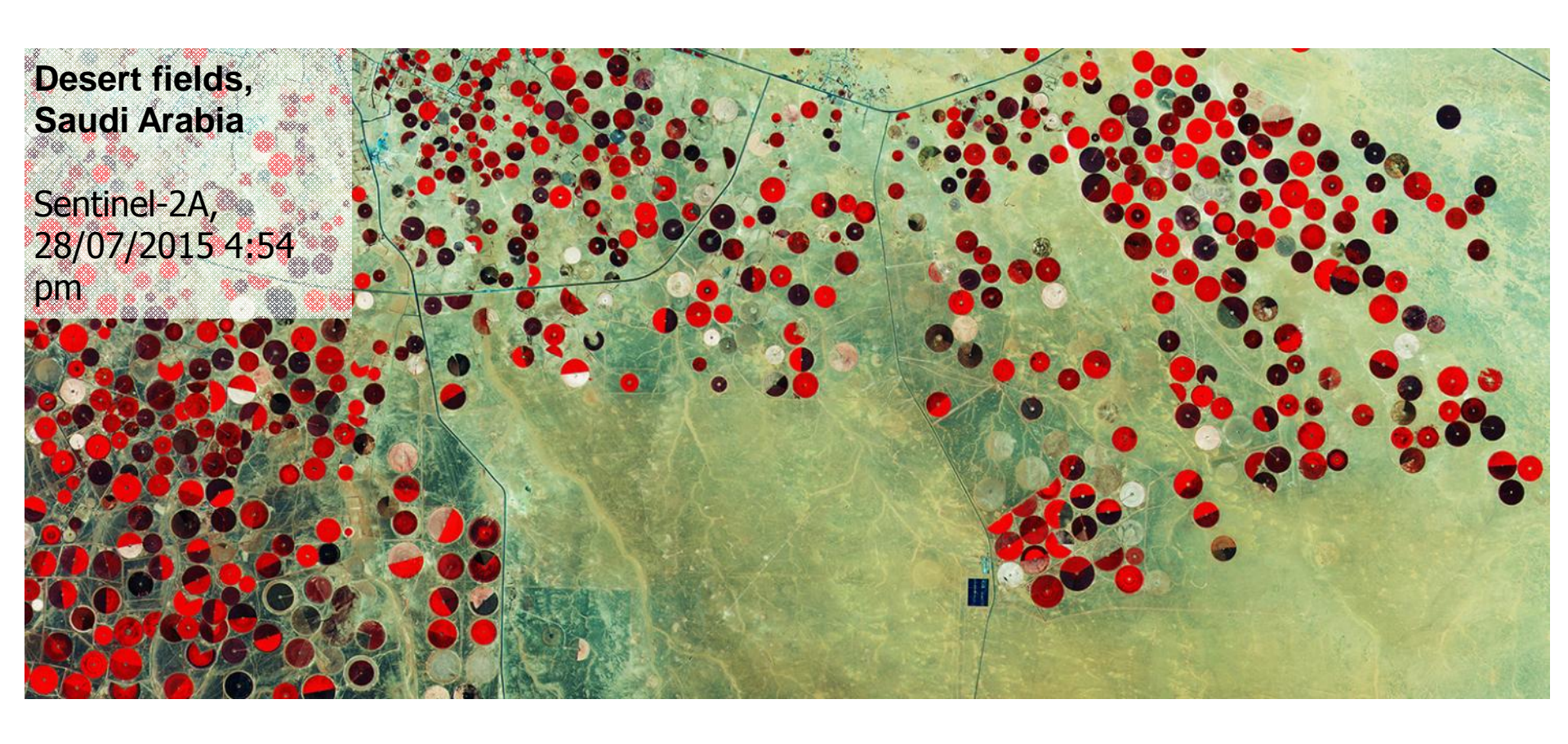
















Nouvelle Zélande, agriculture

Kompsat-2 / MSC 6 Mars 2013







Egypt, Centre pivot irrigation

Proba-V, 08/01/2015







Modification du paysage par l'Homme





Egypt, new Suez Canal

Proba-V, 8/07/2015









Kazakhstan, routes

Kompsat-2 / MSC 24 Novembre 2012













Cracovie, ville sous la neige

Kompsat-2 / MSC 5 Février 2010



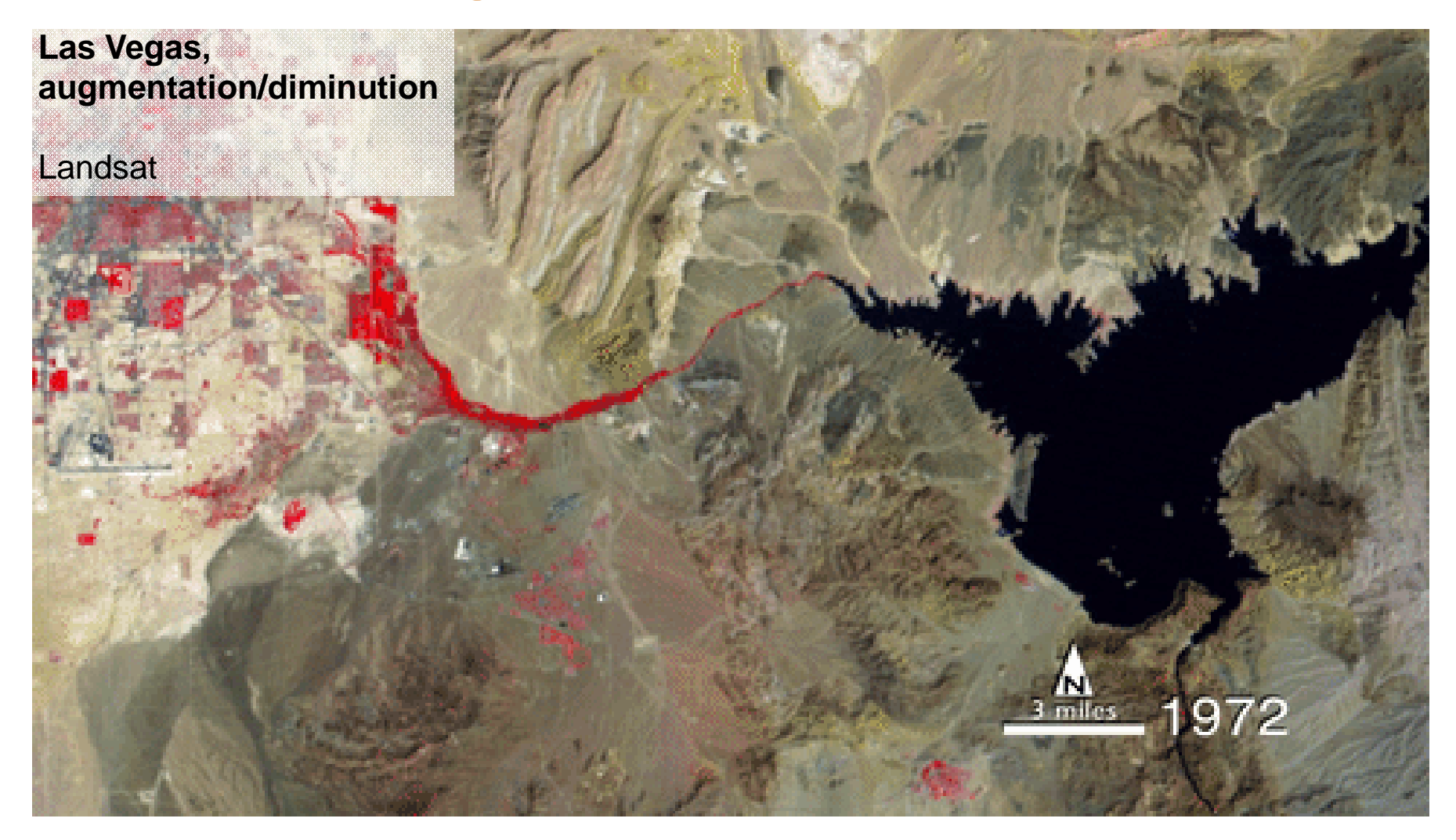




Dégradation par l'Homme





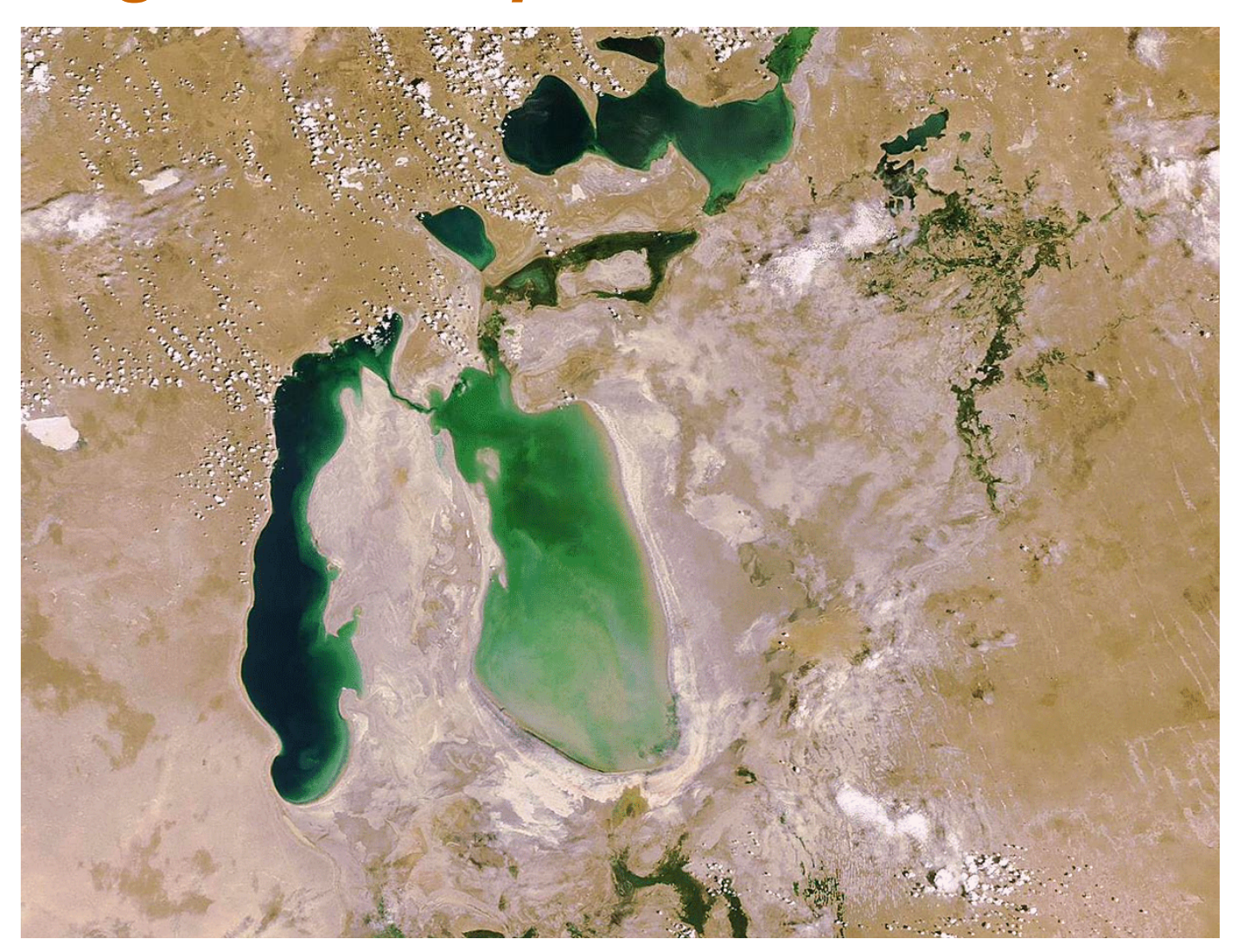






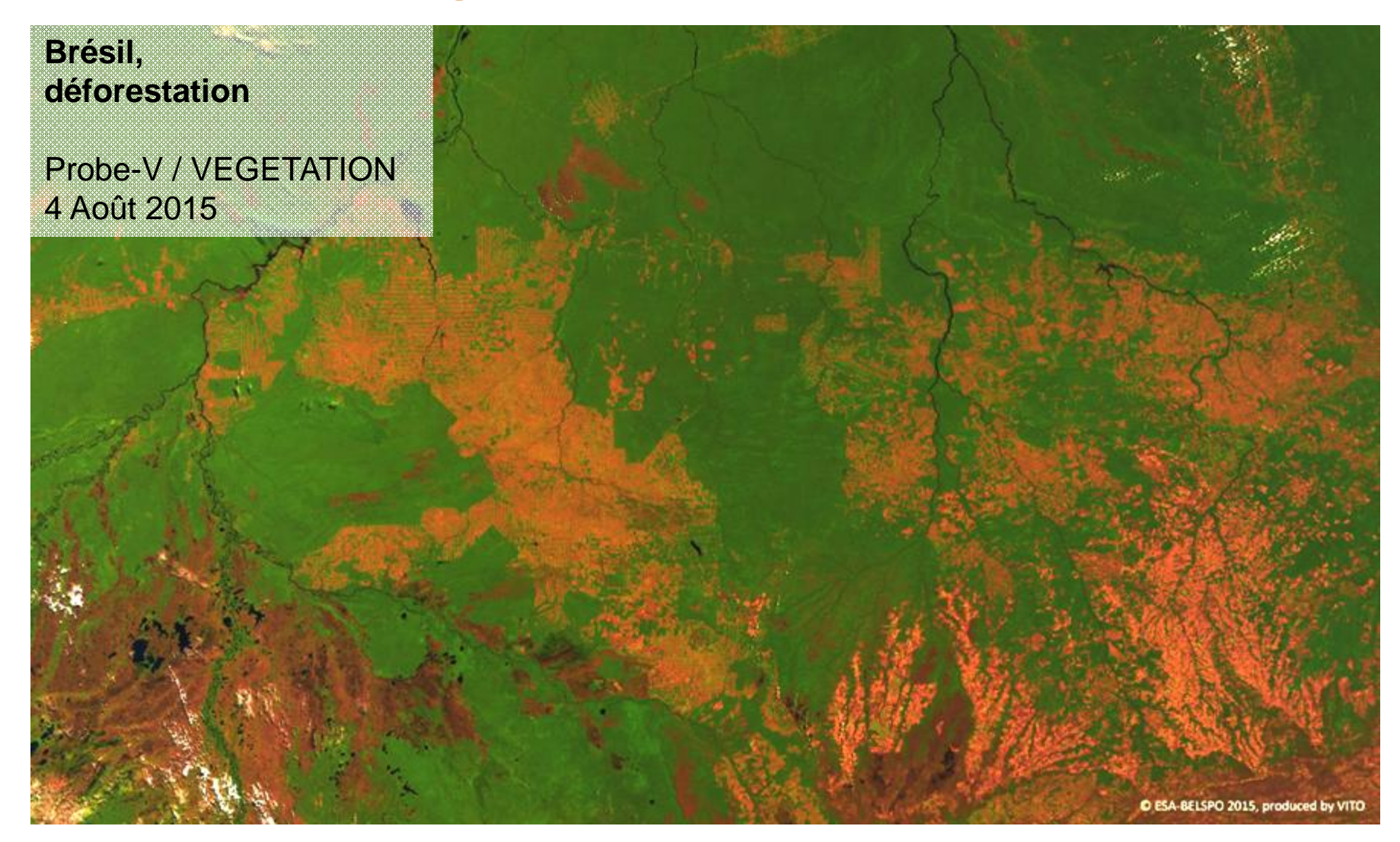
The dramatic retreat of the Aral Sea

Envisat MERIS, 10/07/2009 10:34 am



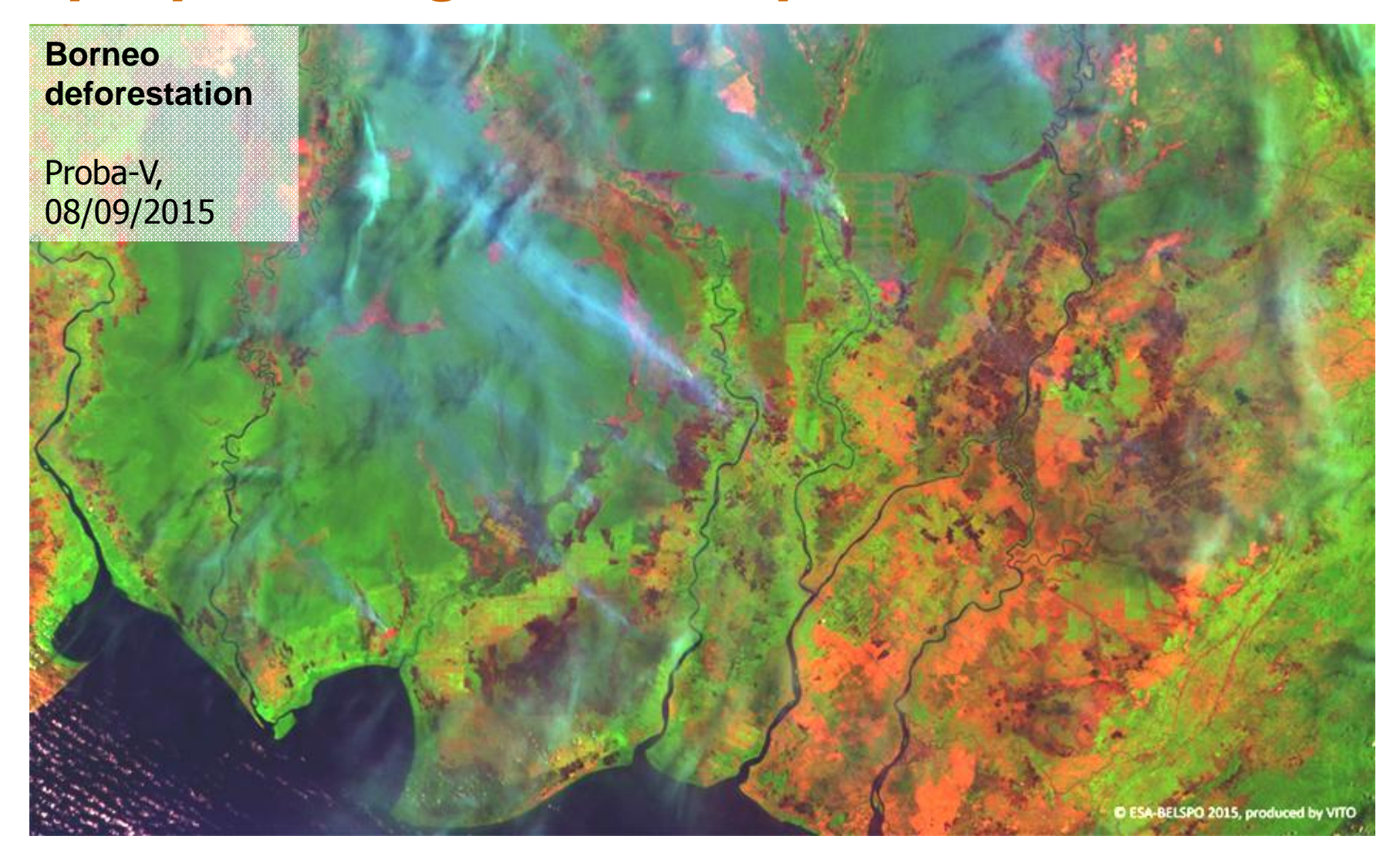






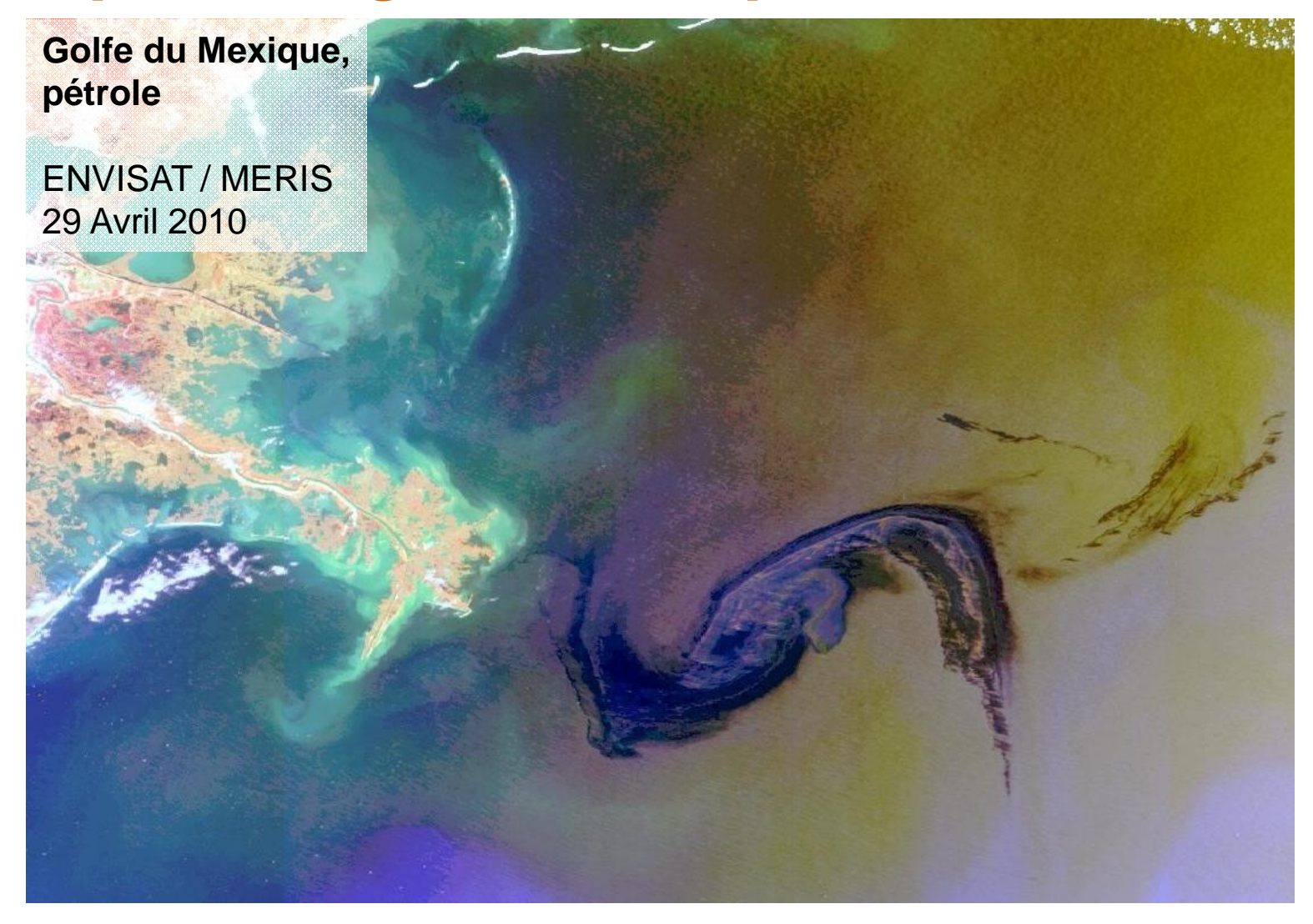
















Autres (pas nécessaires)

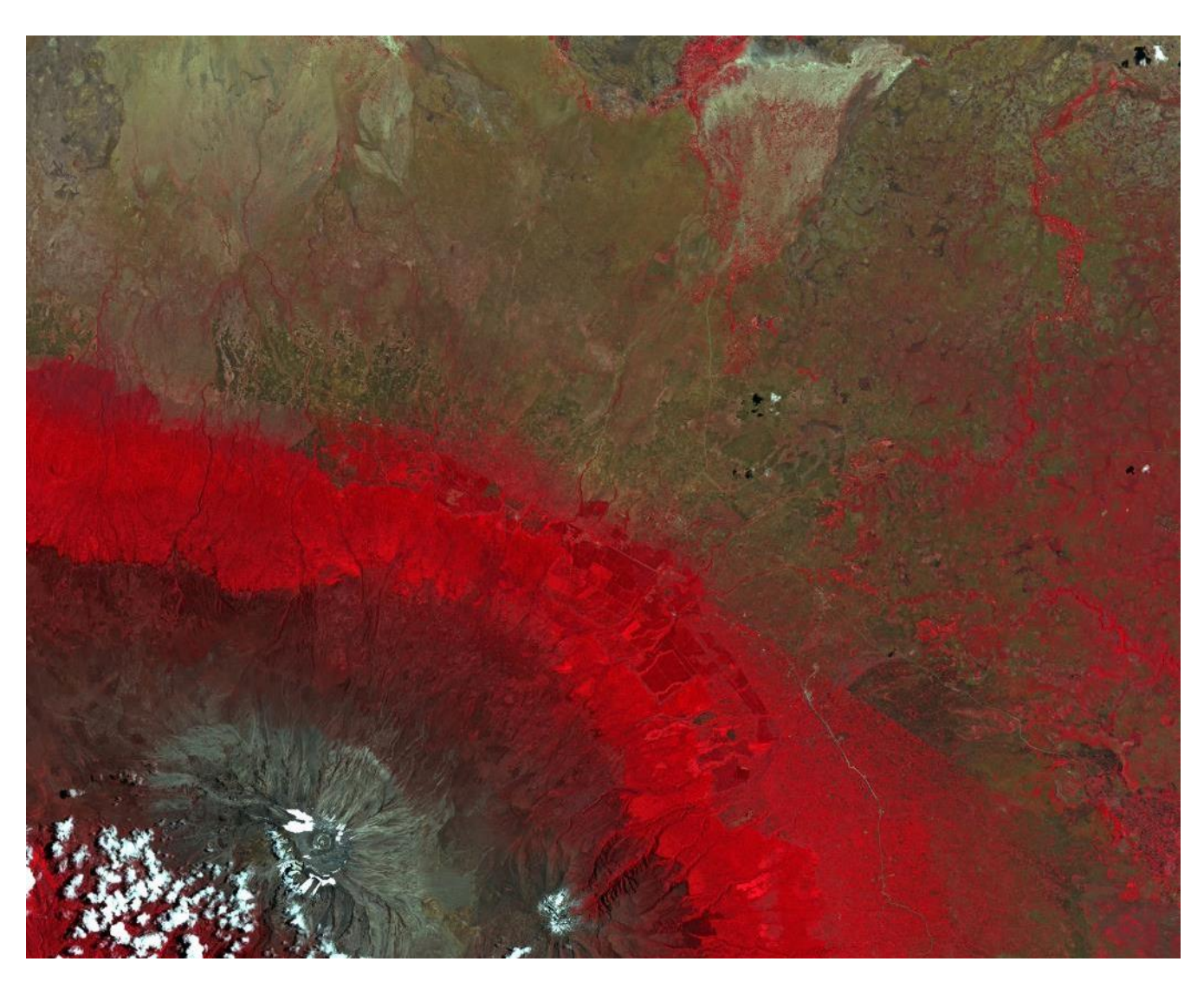




Optique

Kilimanjaro, Tanzania

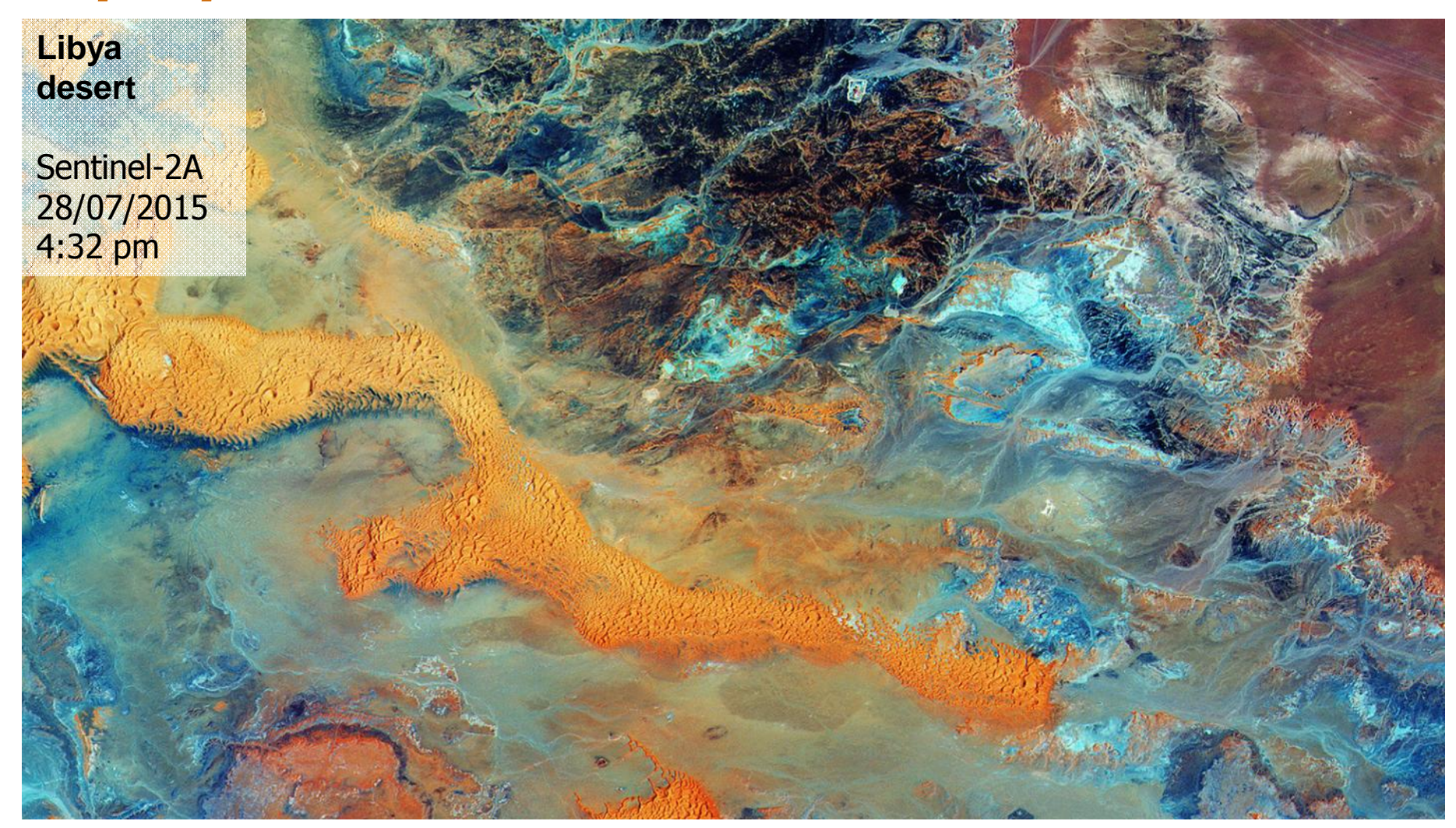
ALOS 24/01/2014 10:00 am







Optique



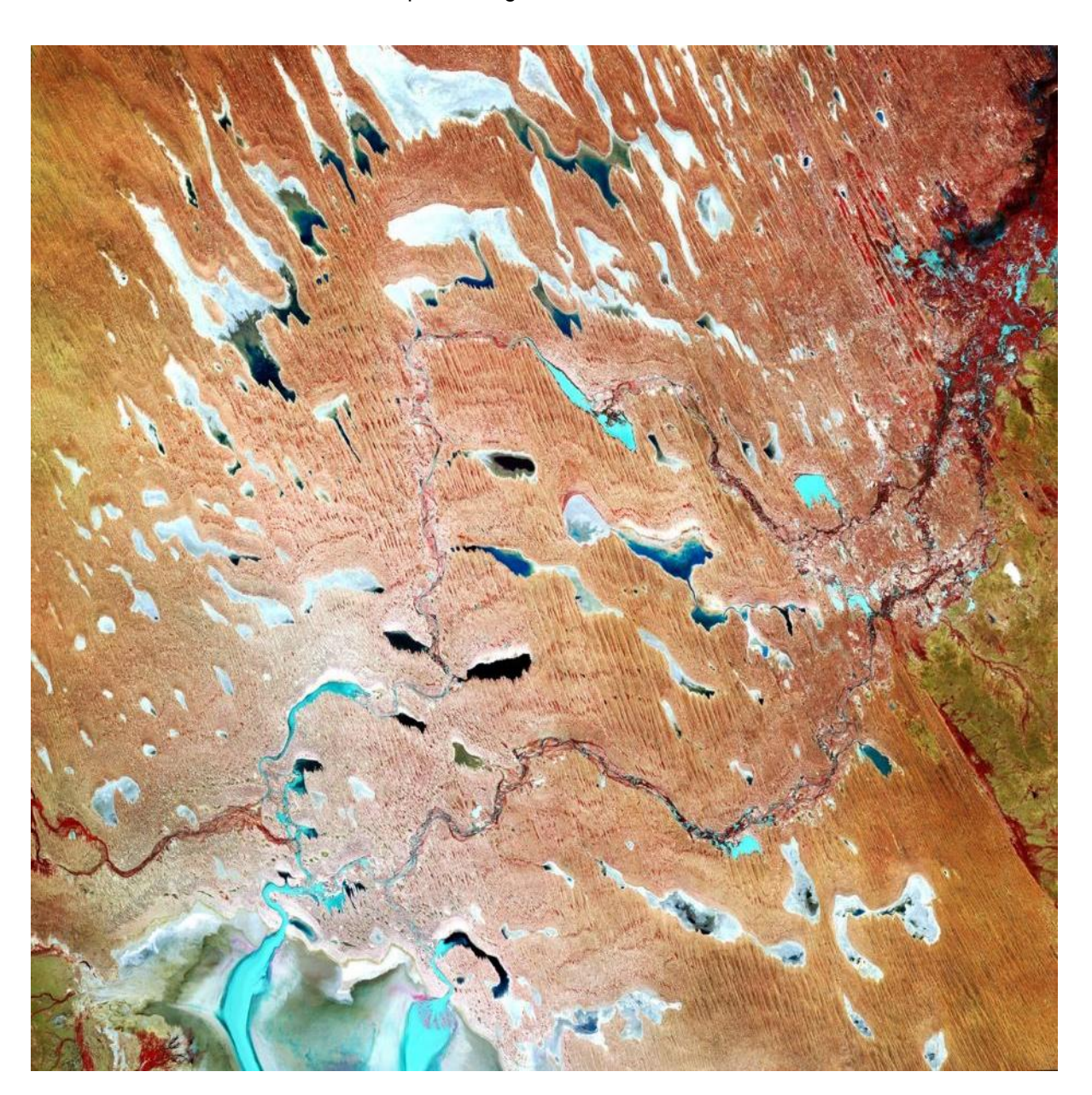




Optique

Australian basin

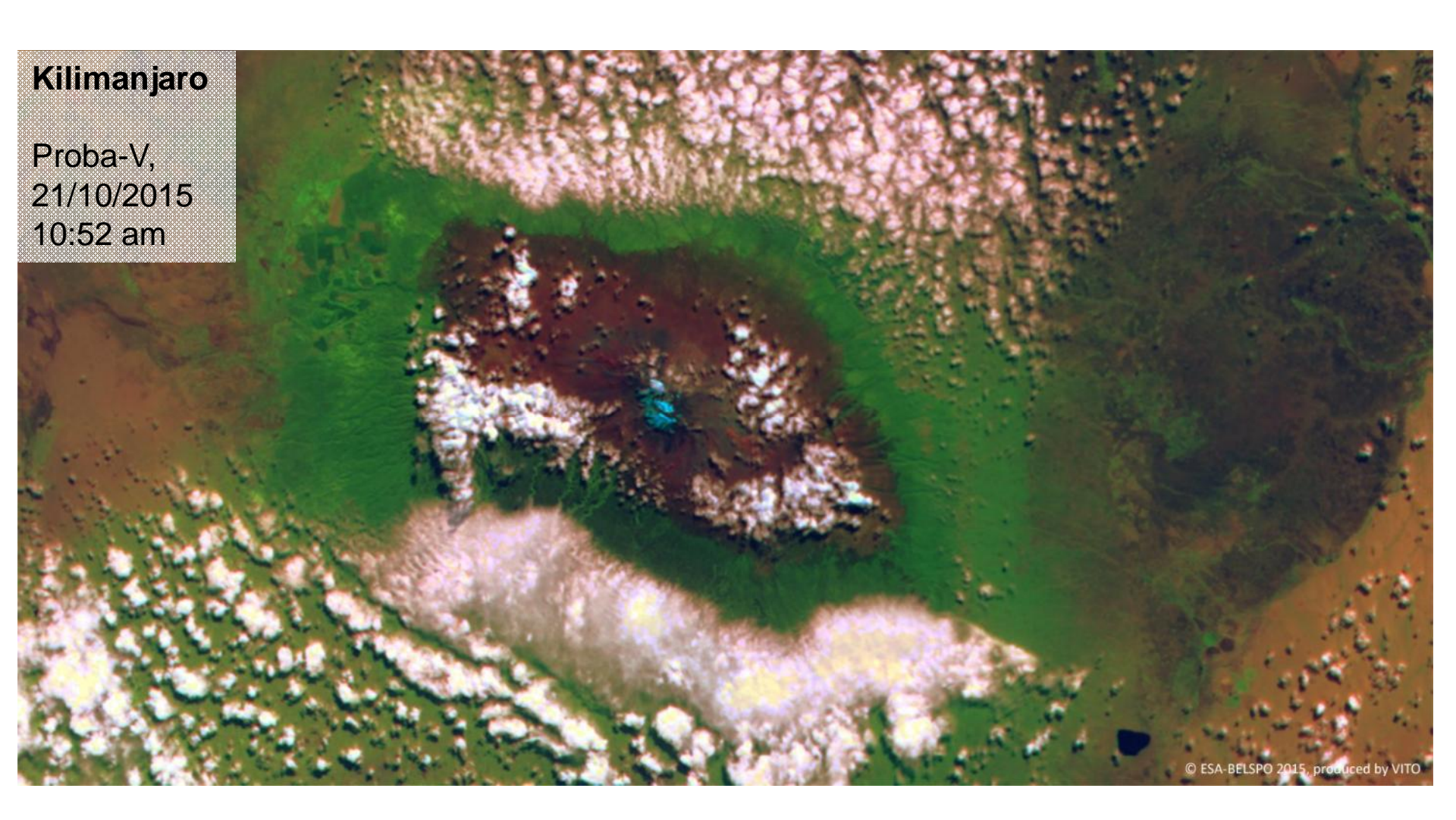
Landsat, 04/11/2011 11:51 am







Optique

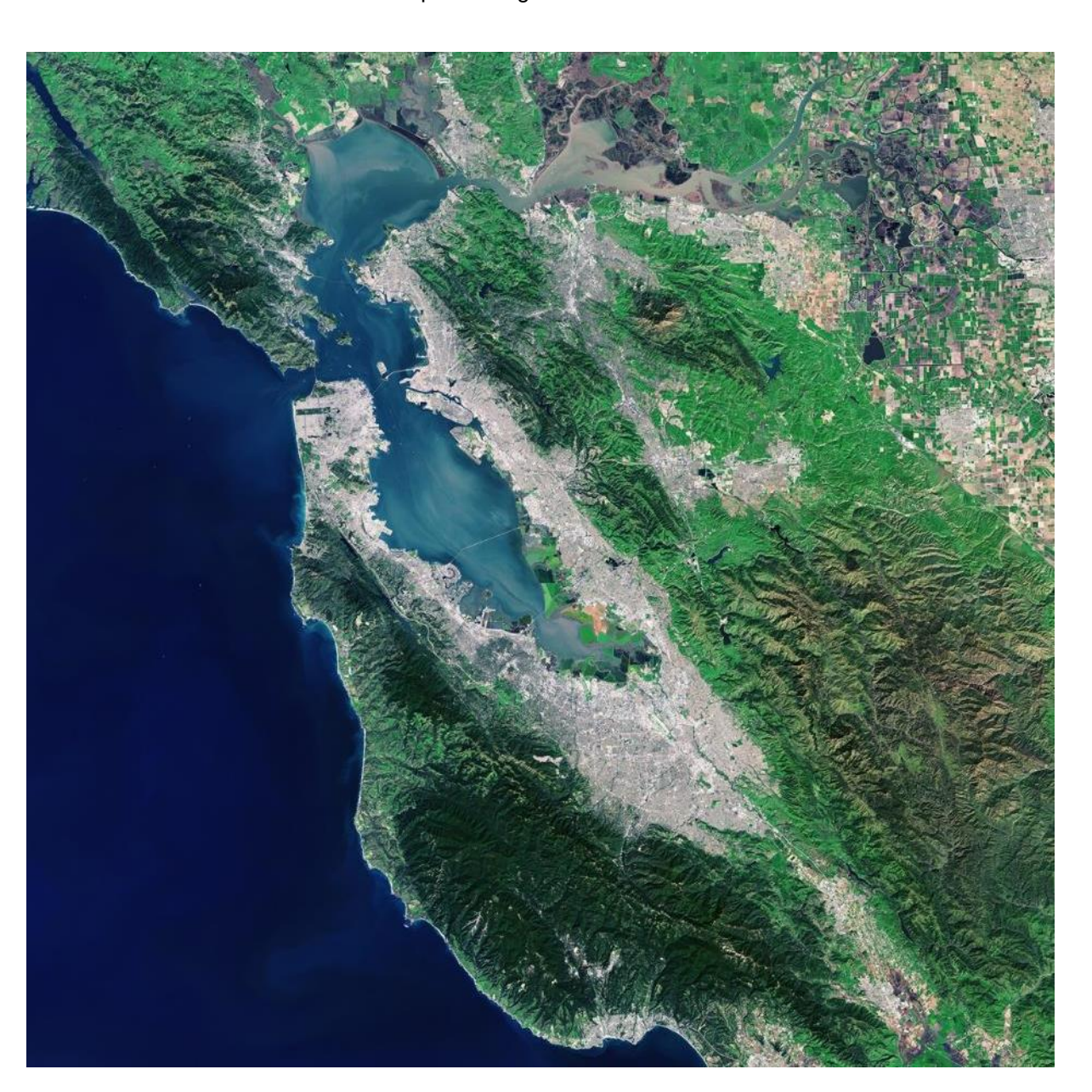




Optique

San Francisco Bay Area, USA

Landsat-8, 19/06/2015 10:00 am



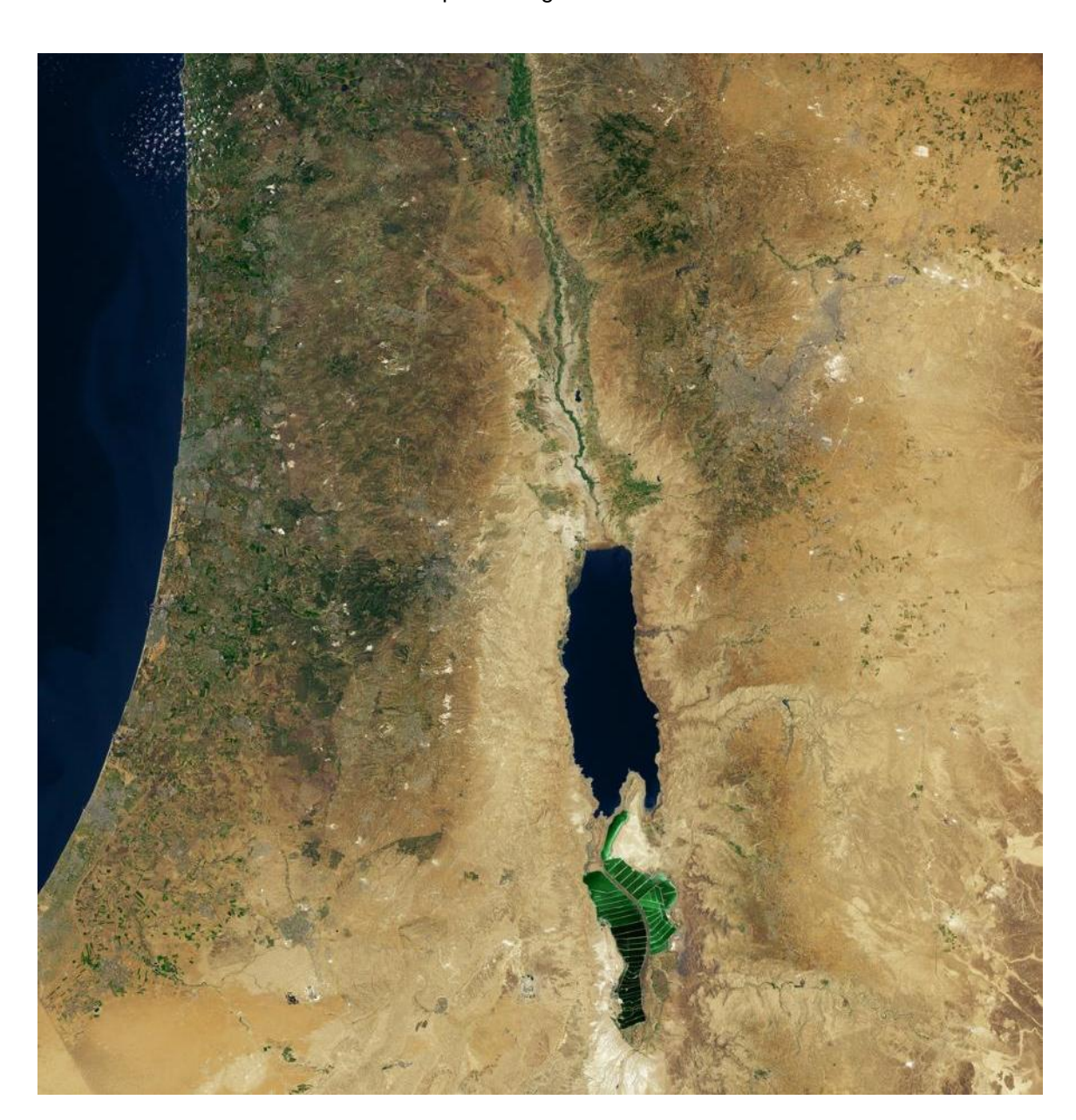
Université Paris-Est Marne-la-Vallée Institut Gaspard Monge



Optique

Dead Sea, Middle East

07/11/2014 10:00 am







RADAR

- Géométrie d'acquisition Visée oblique
- Comparaison avec l'optique
- Multidates
- Polarisations multiples
- Interférométrie

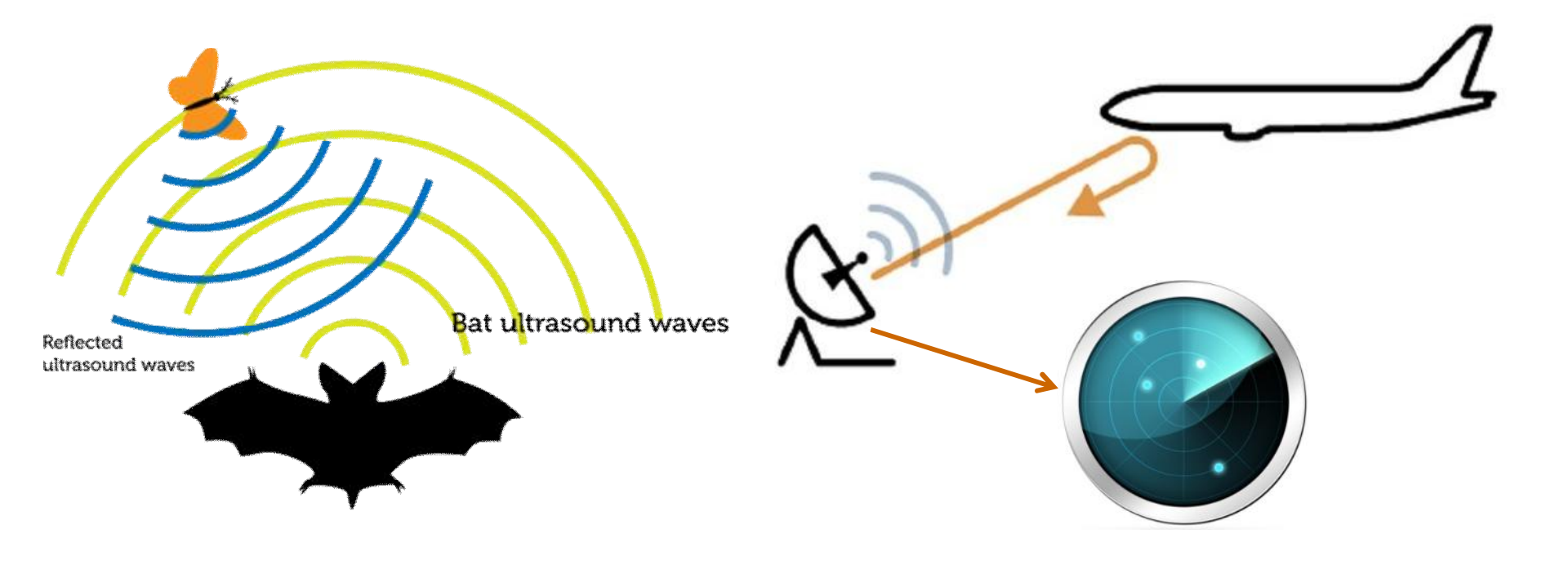




Géométrie d'acquisition - Visée oblique

Positionner les objets

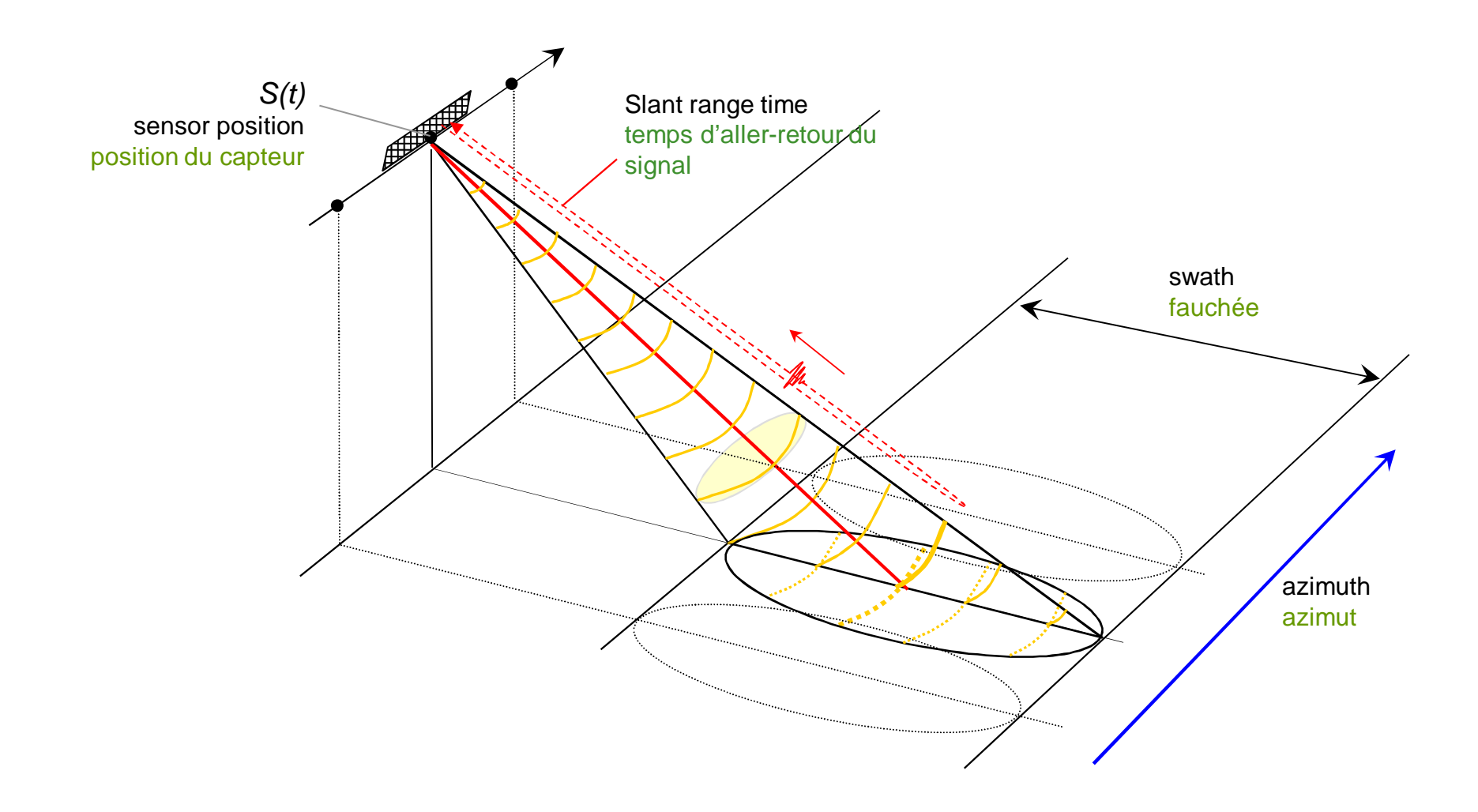
Selon la direction du signal et le temps d'aller retour, on peut situer tous les objets pris dans le faisceau.







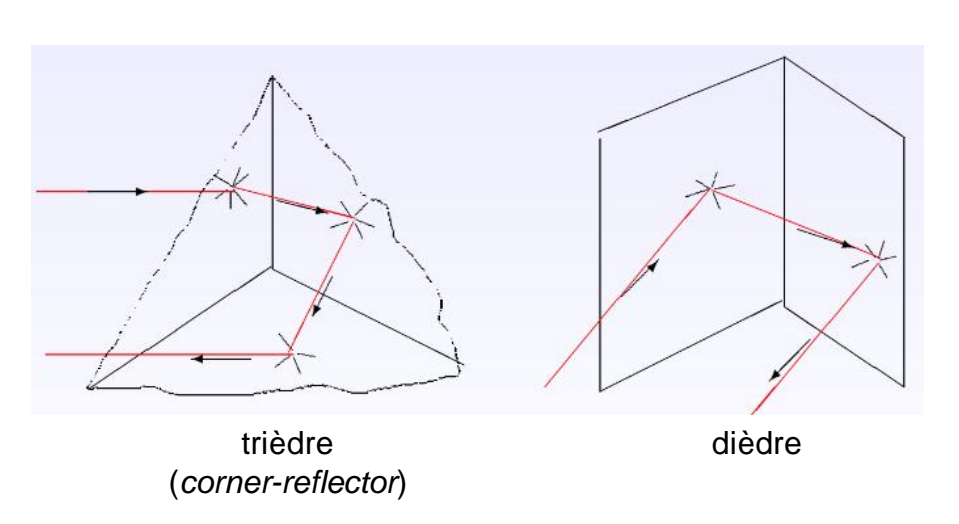
Géométrie d'acquisition - Visée oblique







RADAR – Intensité du signal réfléchi





Matériaux	Conductivité	Texture	Forme
Atmosphère	Quasi nulle	-	-
Eau liquide	Moyenne	Lisse	Selon le vent
Arbre	Contient de l'eau	Rugueux	Moyenne
Sol sec	Souvent faible	Rugueux	Selon orientation
Métal	Très forte	Lisse	Souvent favorable
Béton	Variable	Lisse	Très favorable





RADAR - Comparaison avec l'optique

Pollution de la plateforme BP dans le Golfe du Mexique

http://www.esa.int/esaEO/SEMW1HHMI8G_index_0.html



Envisat / ASAR acquise le 28 avril 2010



Envisat / MERIS acquise le 28 avril 2010

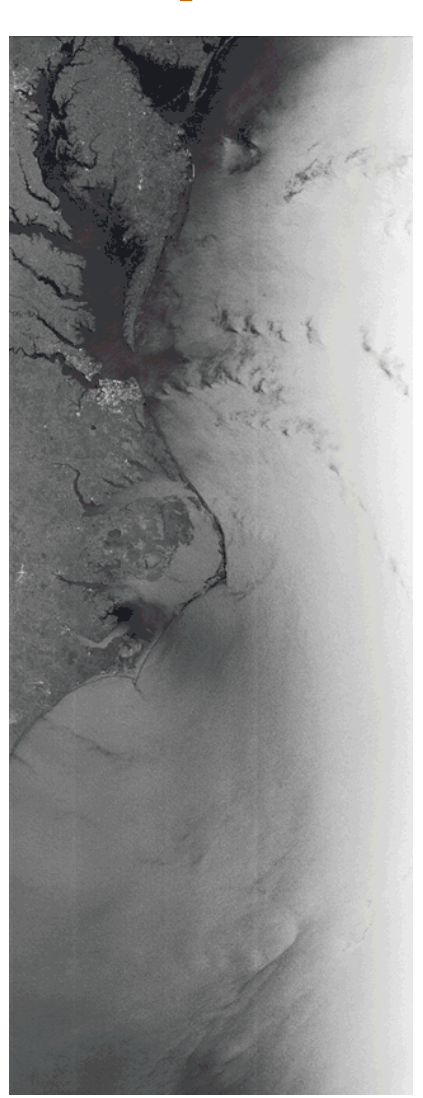




RADAR – Comparaison avec l'optique

Hurricane Irene

Envisat / ASAR + MERIS 11:15 local time (15:15 GMT) on 27 August 2011





Université Paris-Est Marne-la-Vallée Institut Gaspard Monge



RADAR

Rita seen in full

22/09/2005 6:17 pm



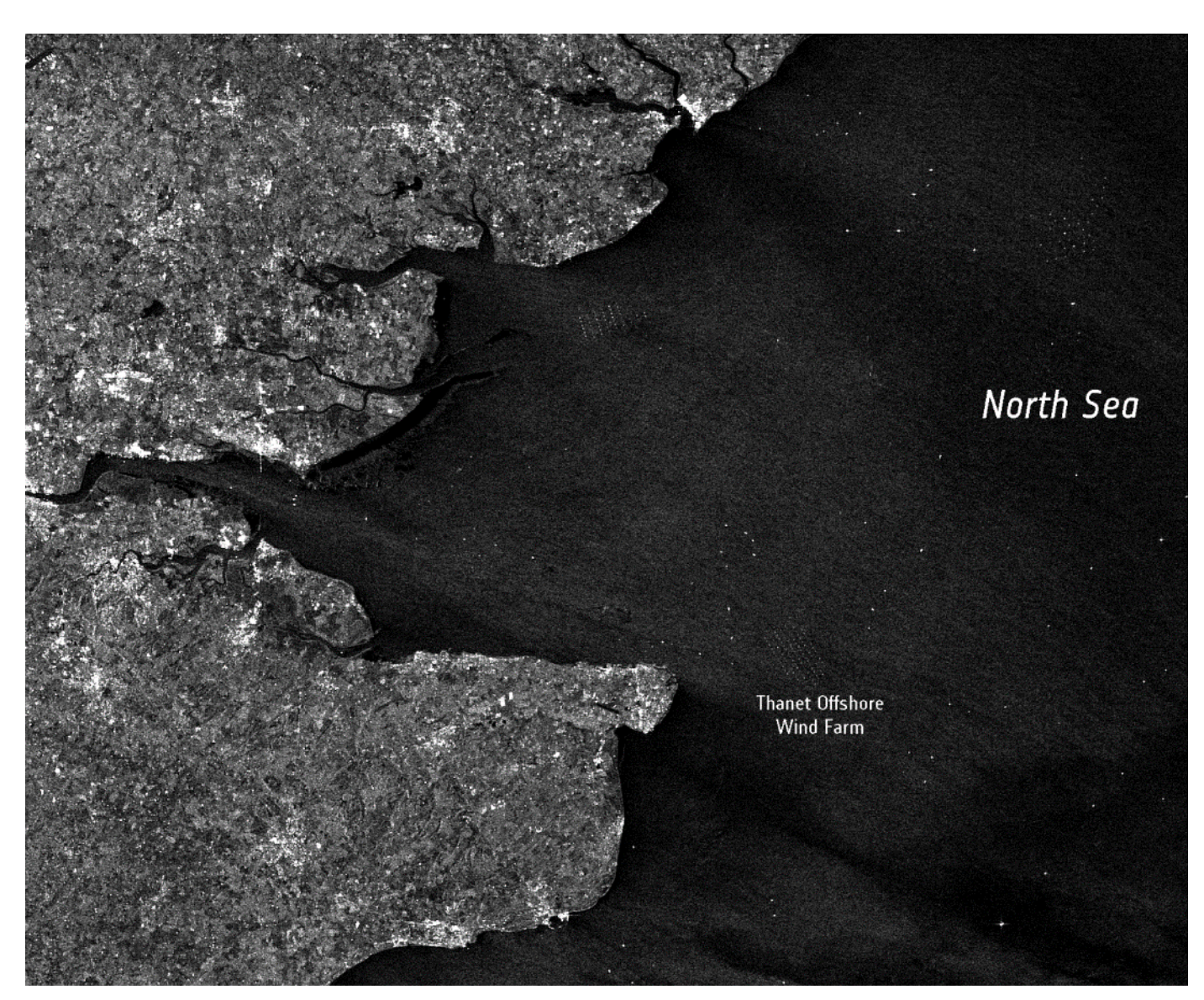




RADAR

UK wind farms

Envisat / ASAR 01/10/2010 11:02 am

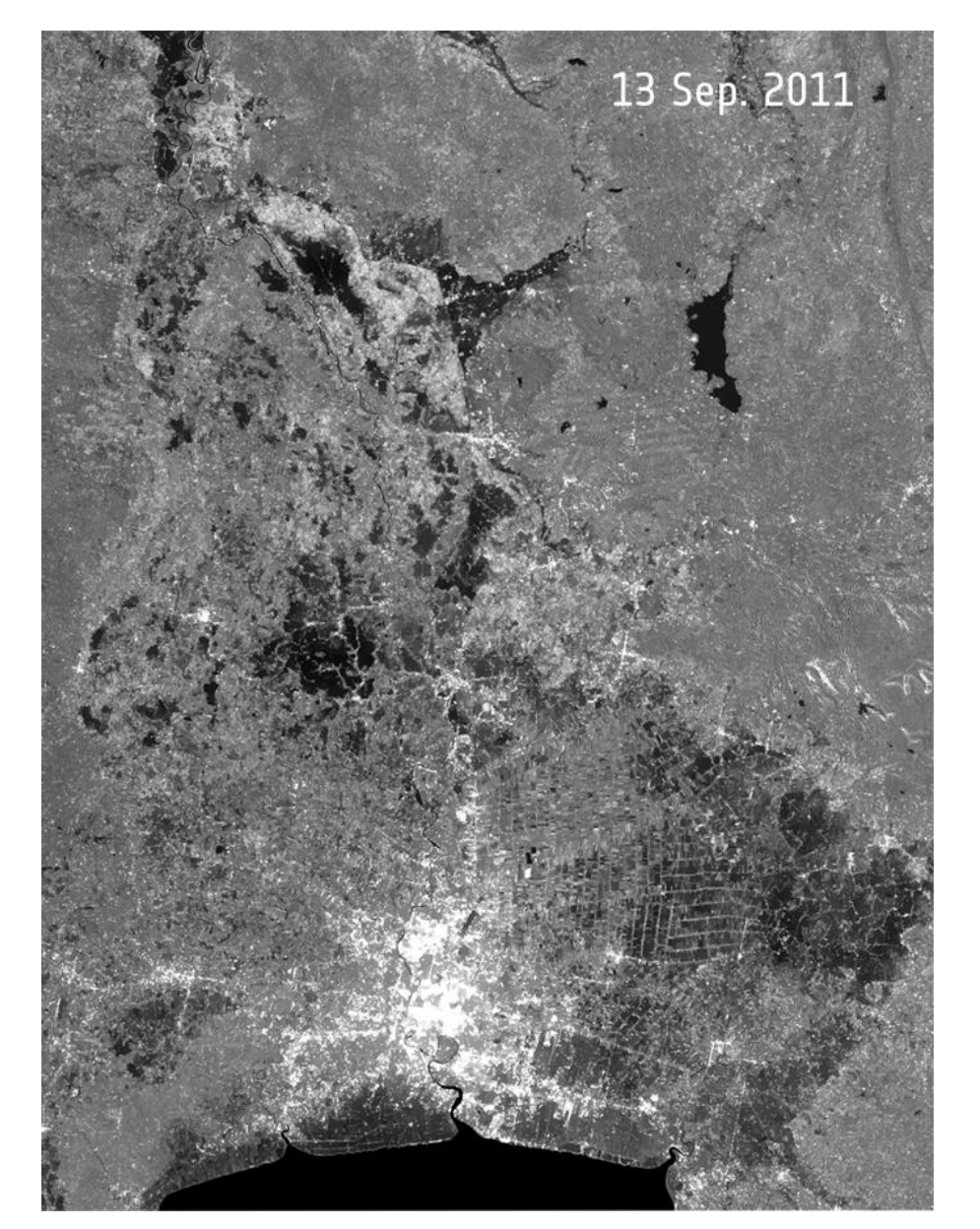






Thailand floods

Envisat / ASAR from 13 September to 1 November 2011







Flooding in Bangladesh

Envisat / ASAR 26 July 2007 / 12 April 2007













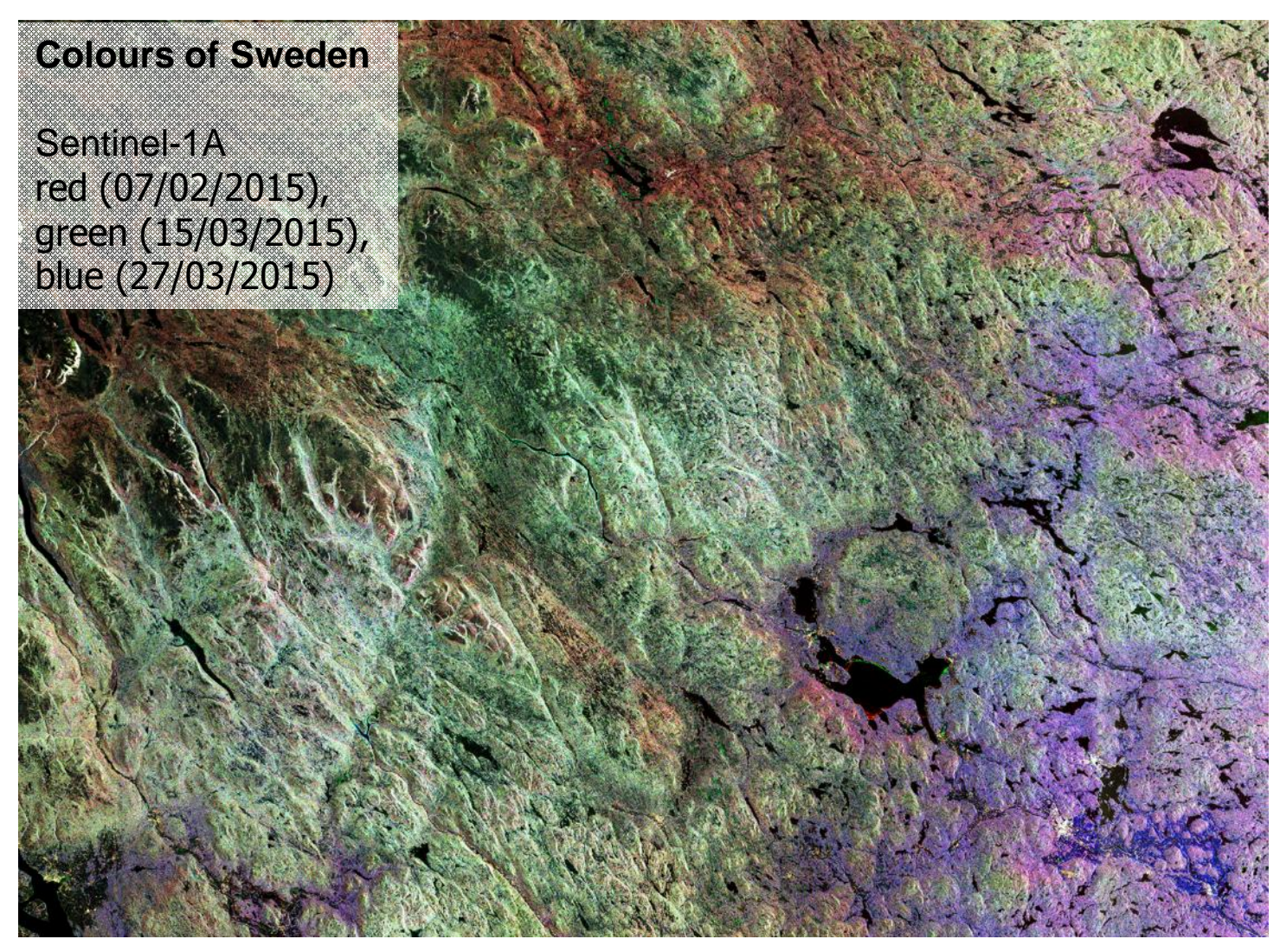
Birth of an iceberg

Envisat / ASAR Between September 2006 and October 2007







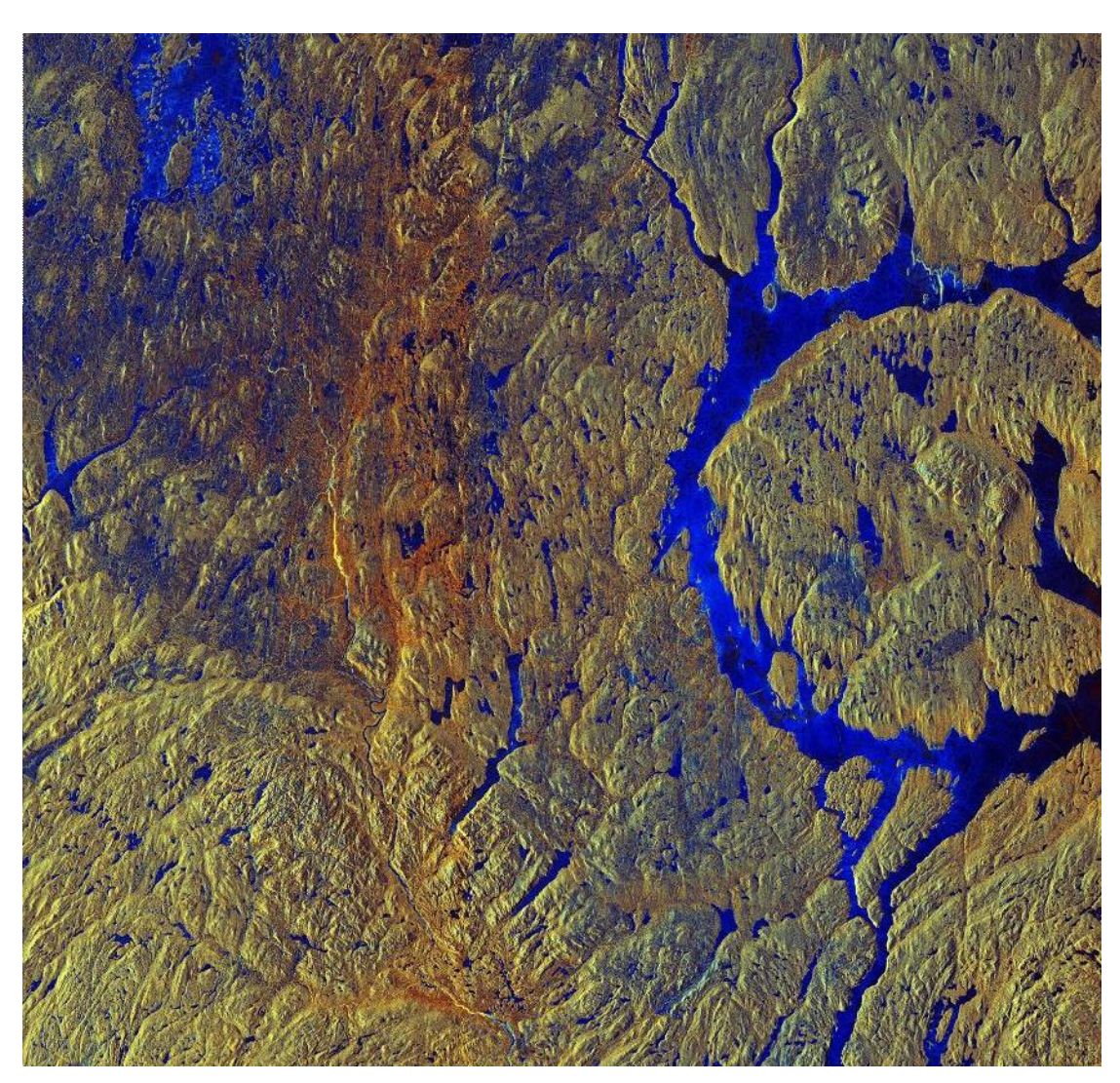






Manicouagan Crater, Canada

Sentinel-1A 21 March 2015

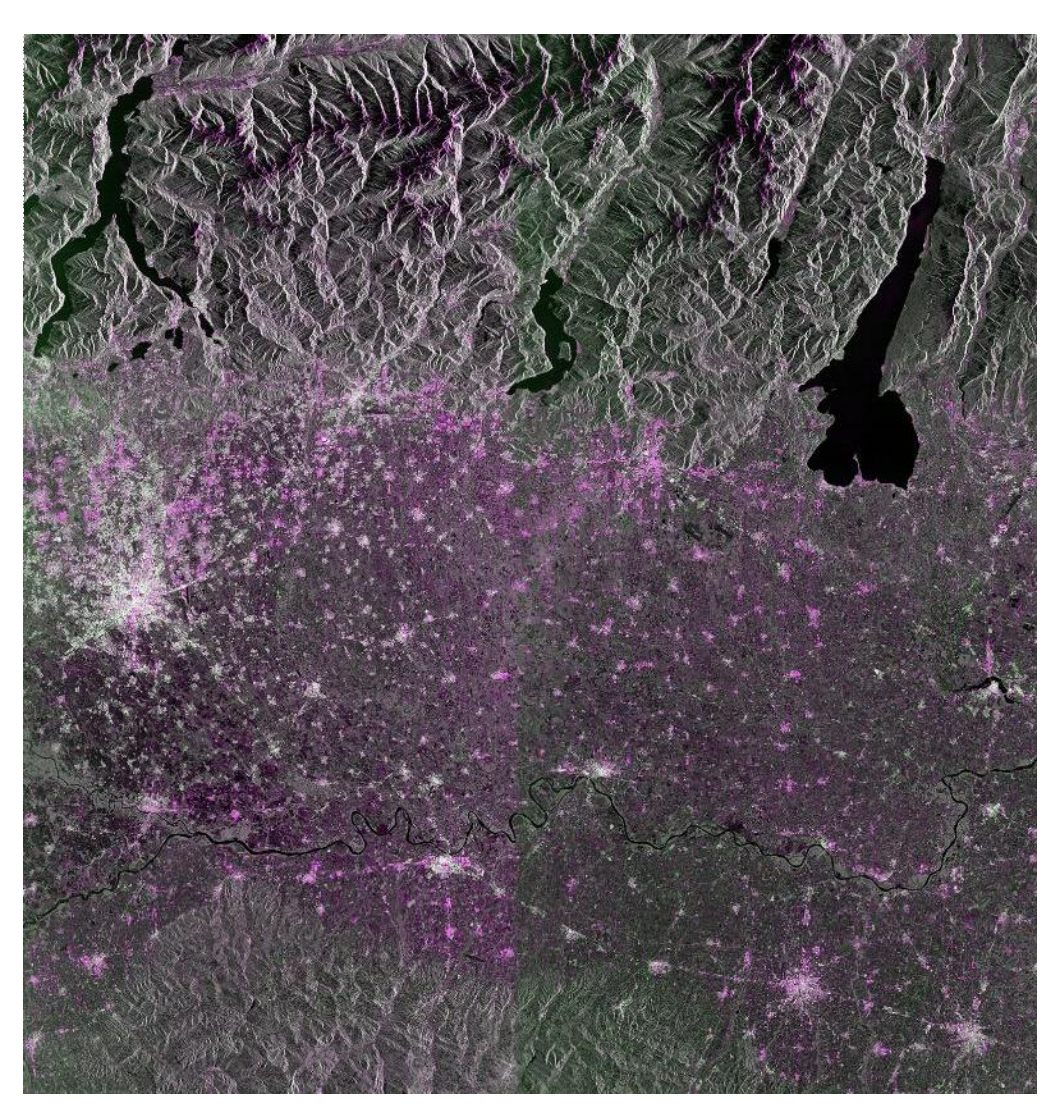






Northern Italy

Sentinel-1A 24 April 2014



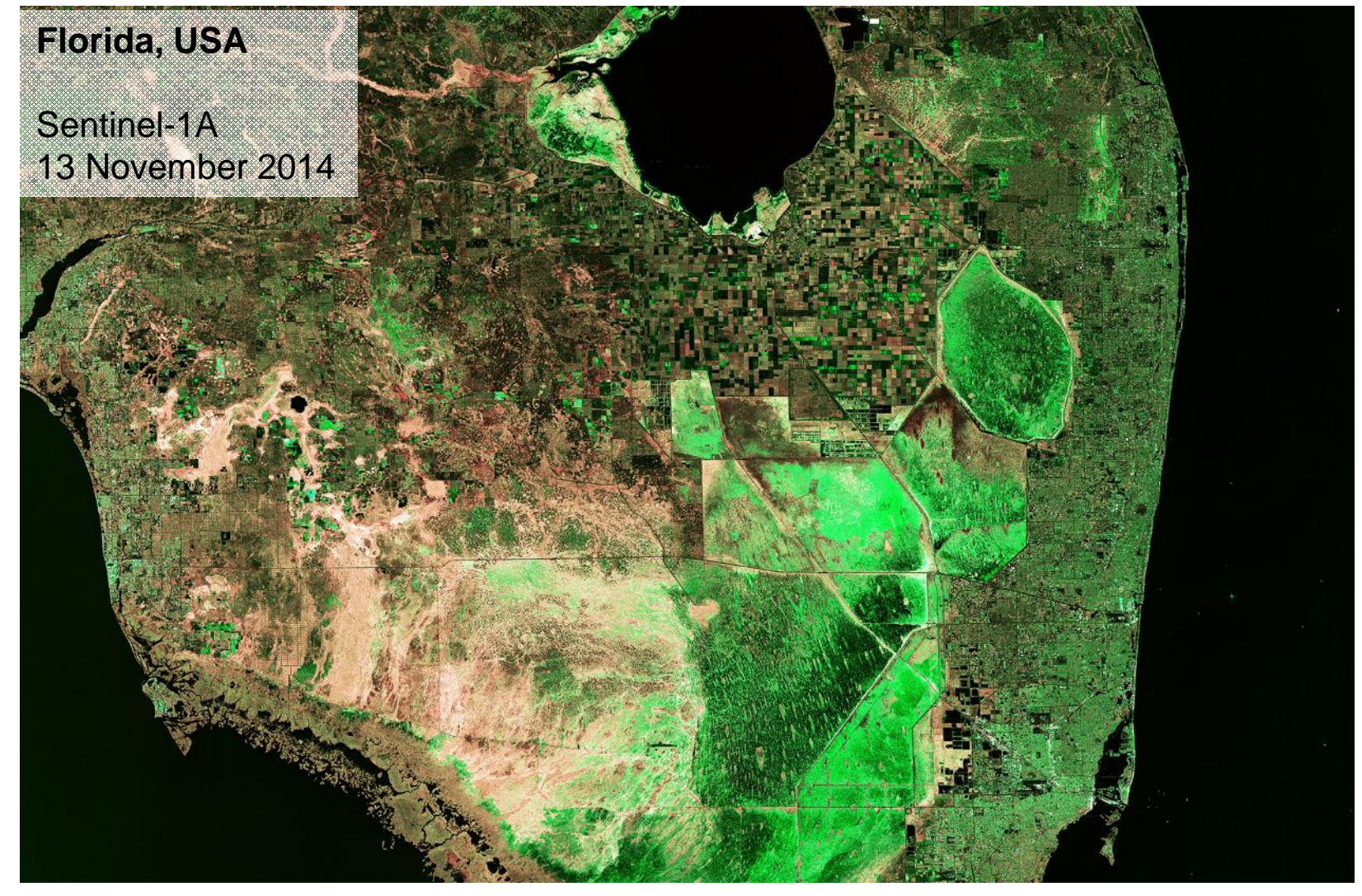






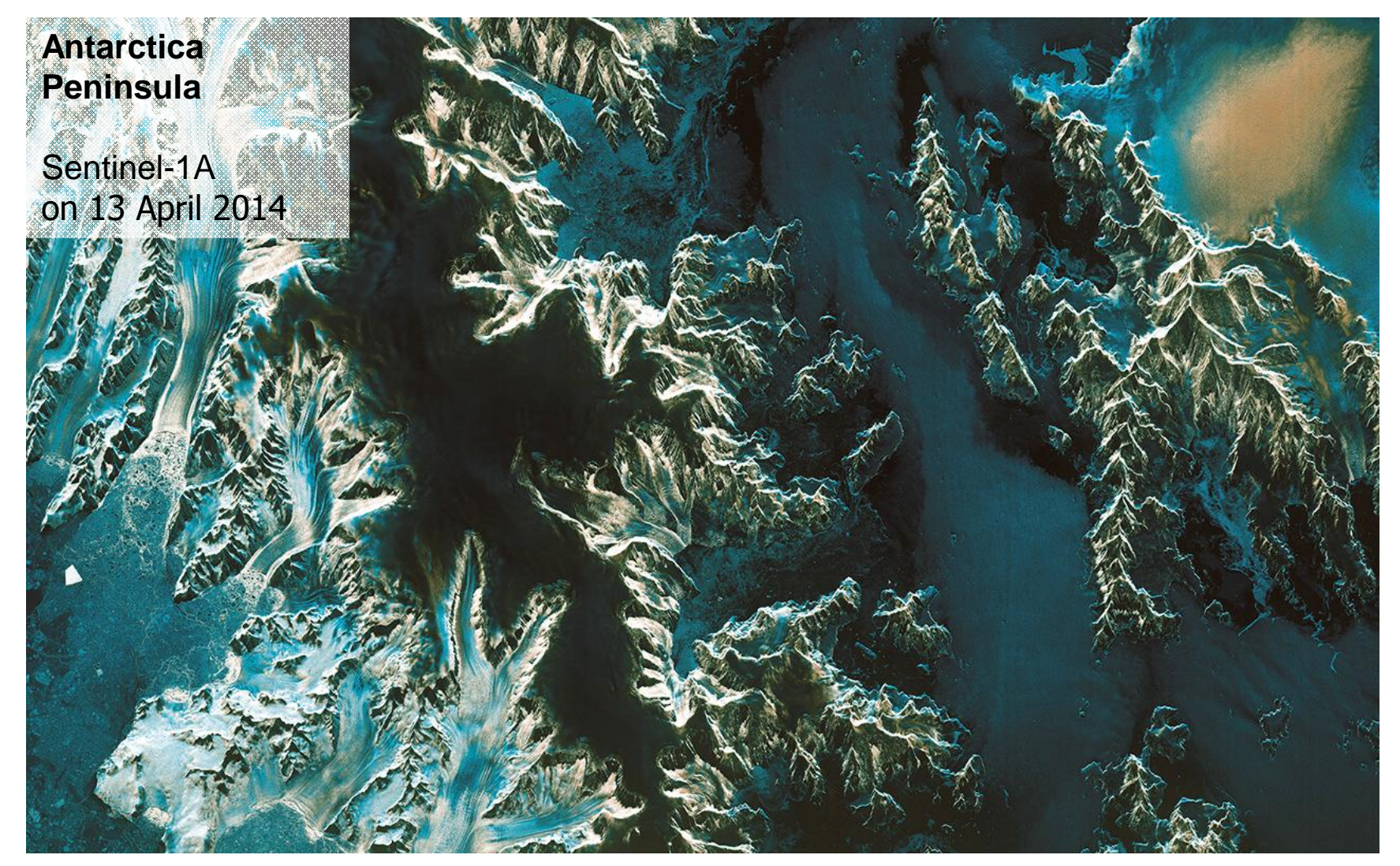






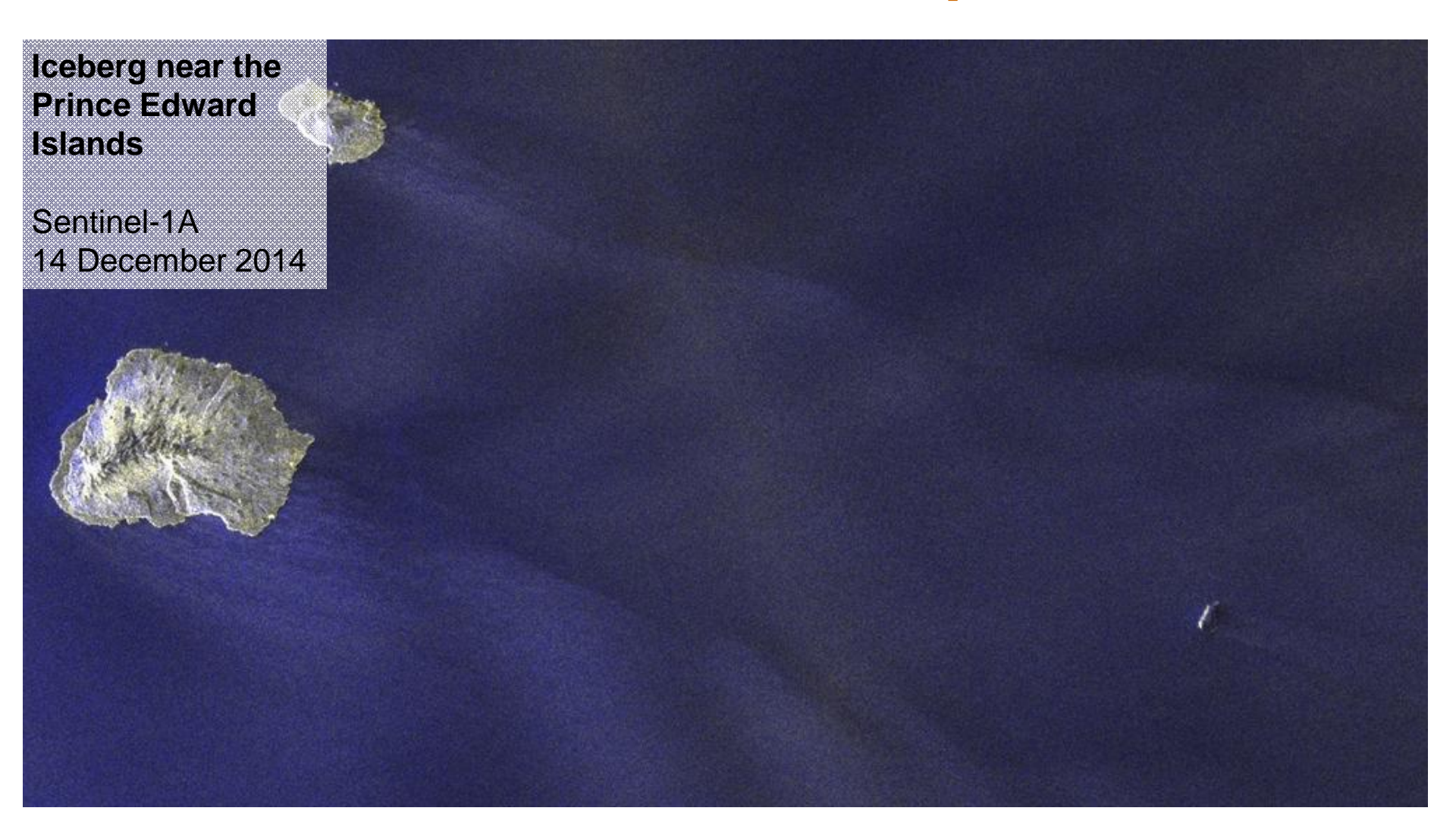
















Azore islands

Sentinel-1A 09/10/2015 10:00 am







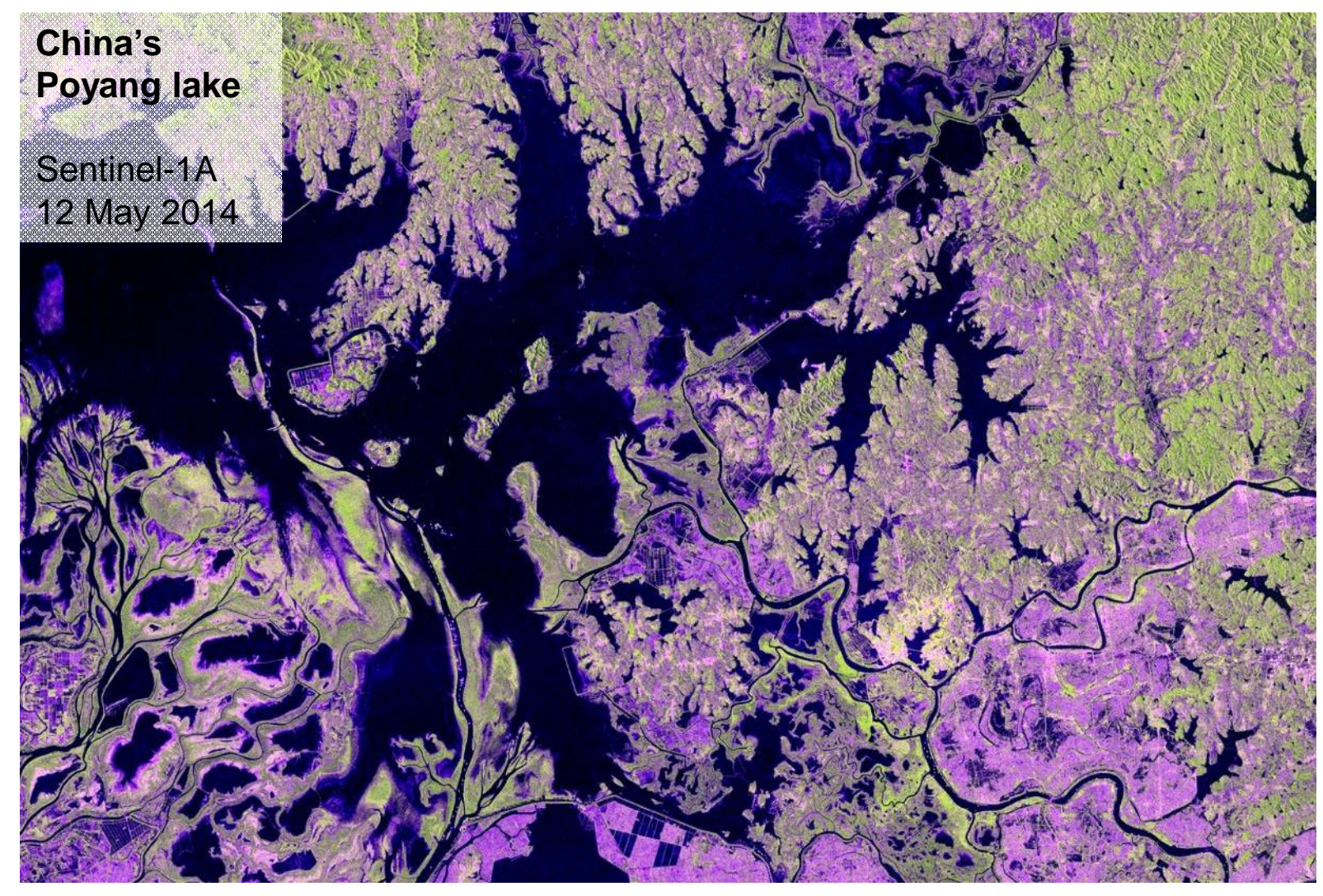
Athens, Greece

Sentinel-1A 22 April 2014







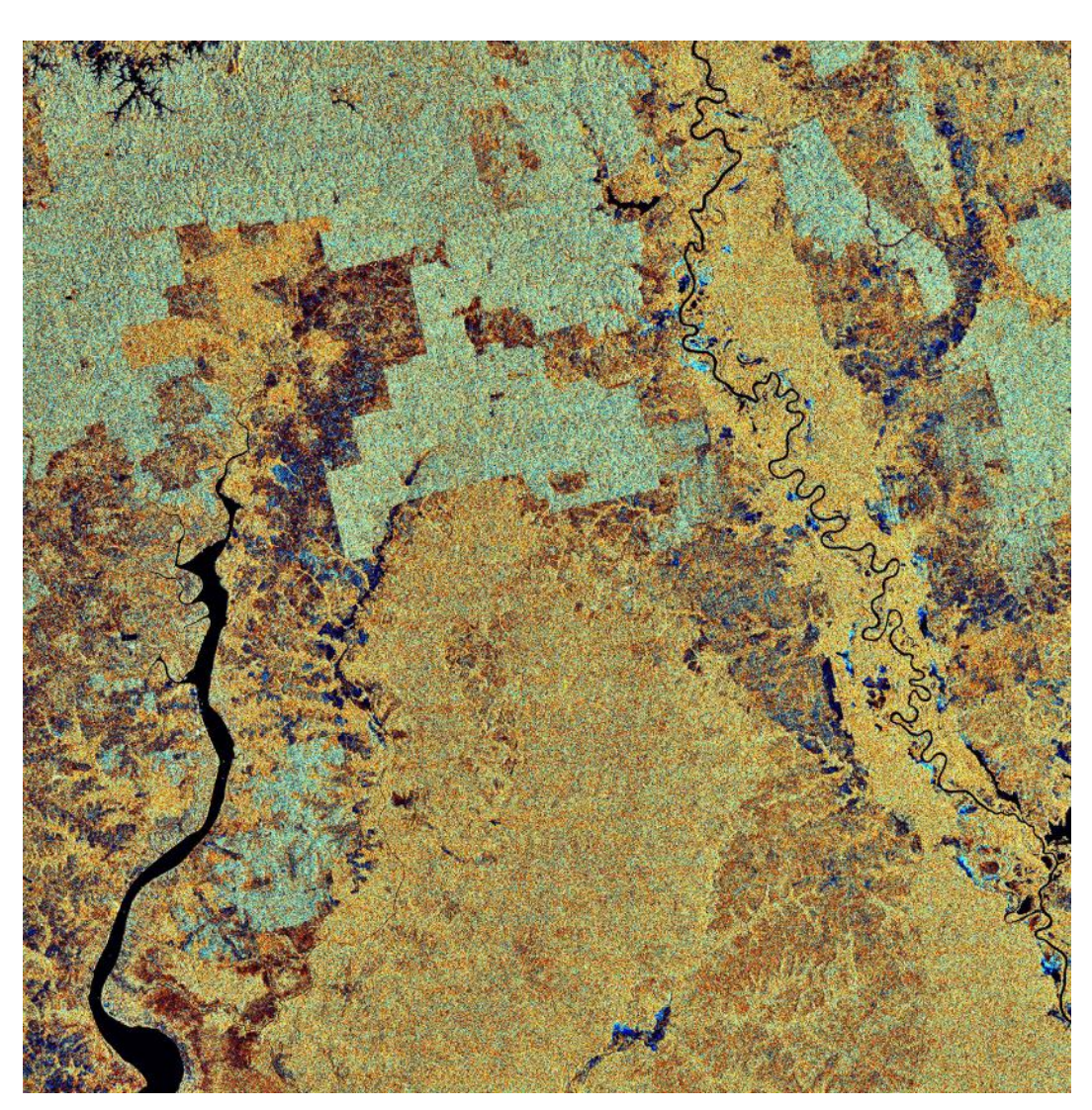






Indonesia's Kalimantan region, South Borneo

Envisat ASAR 23 April 2009

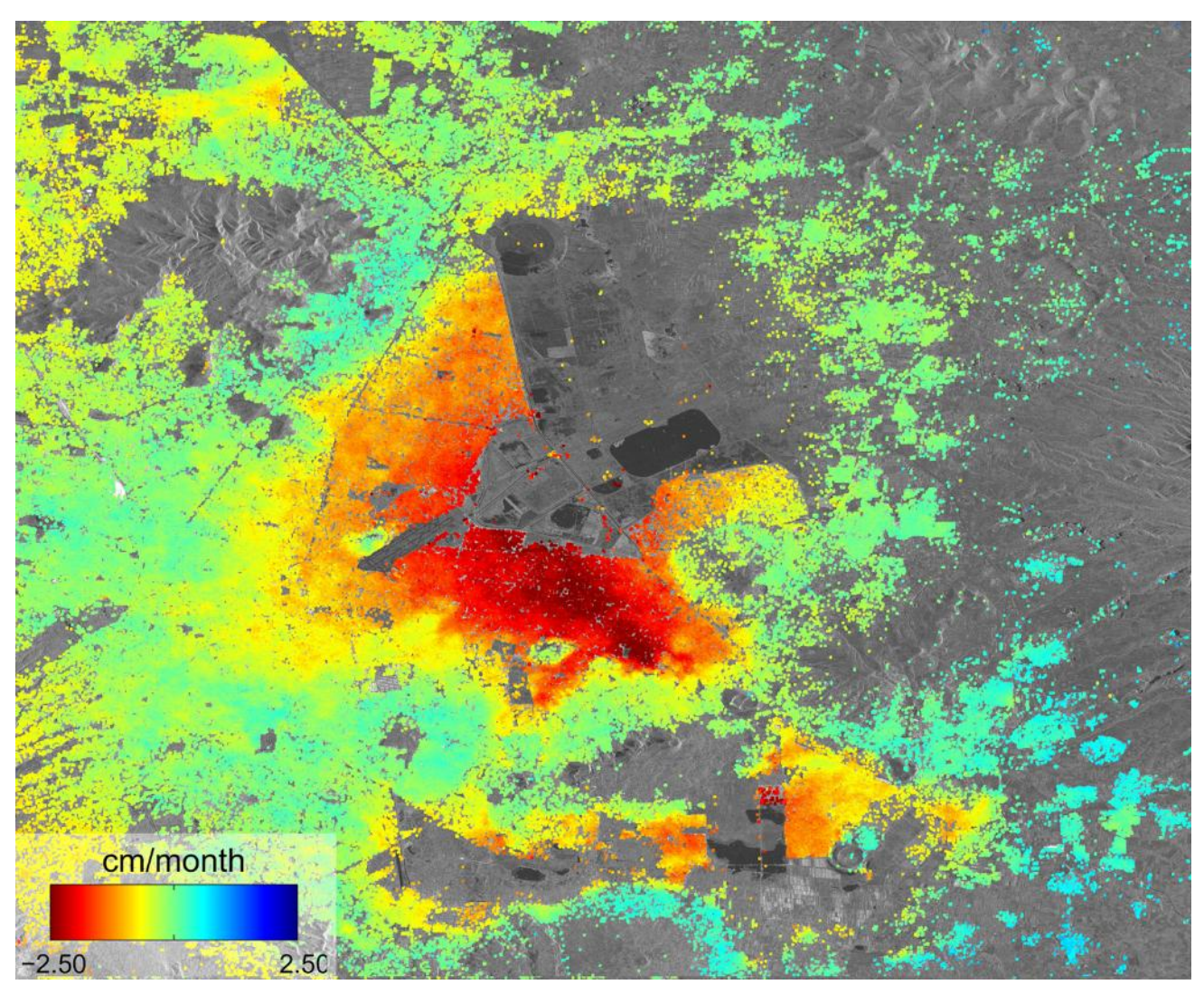






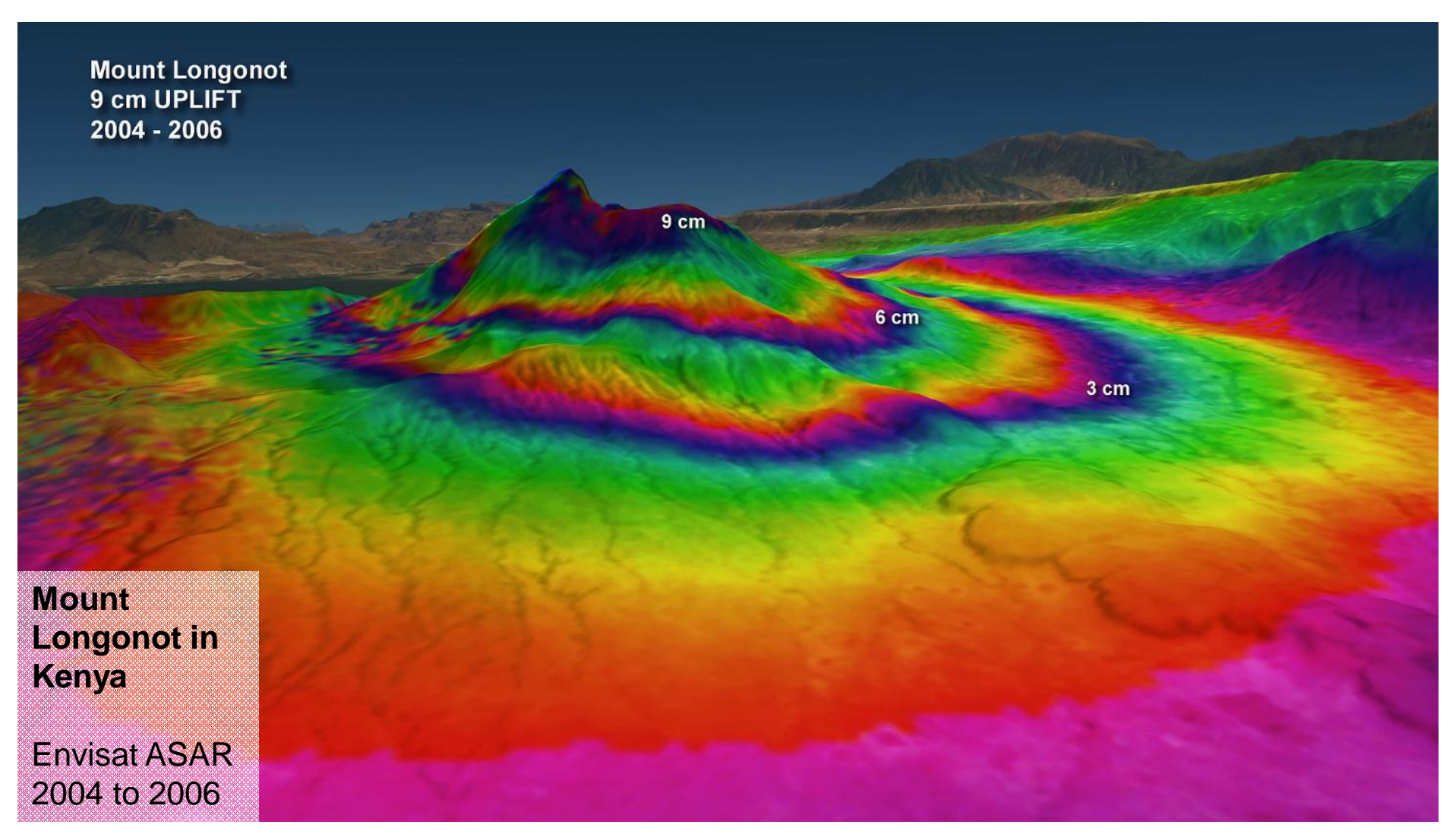
Mexico City subsidence

Sentinel-1A between 3 October and 2 December 2014







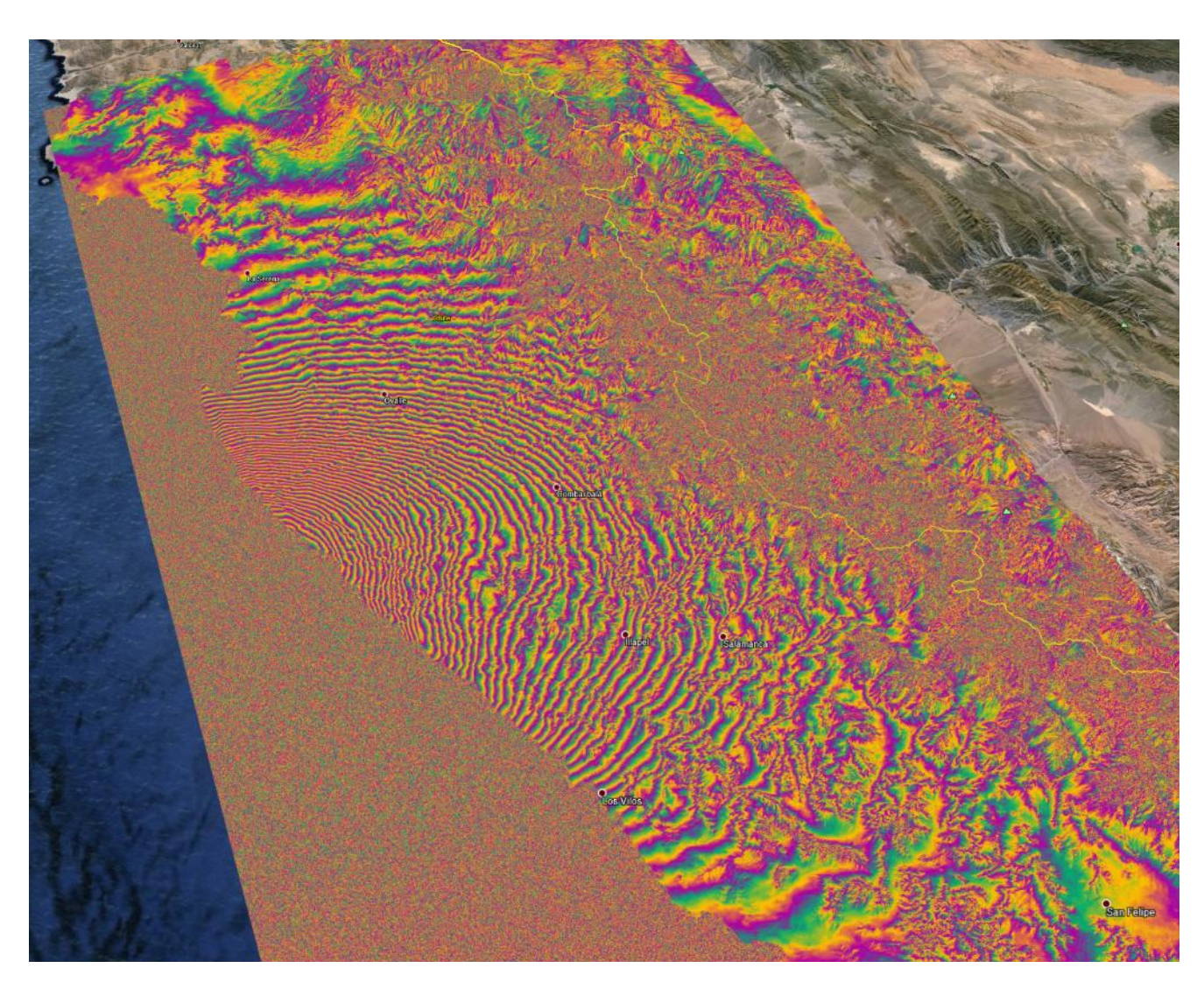






16/09/15 8.3 Chile earthquake on the radar

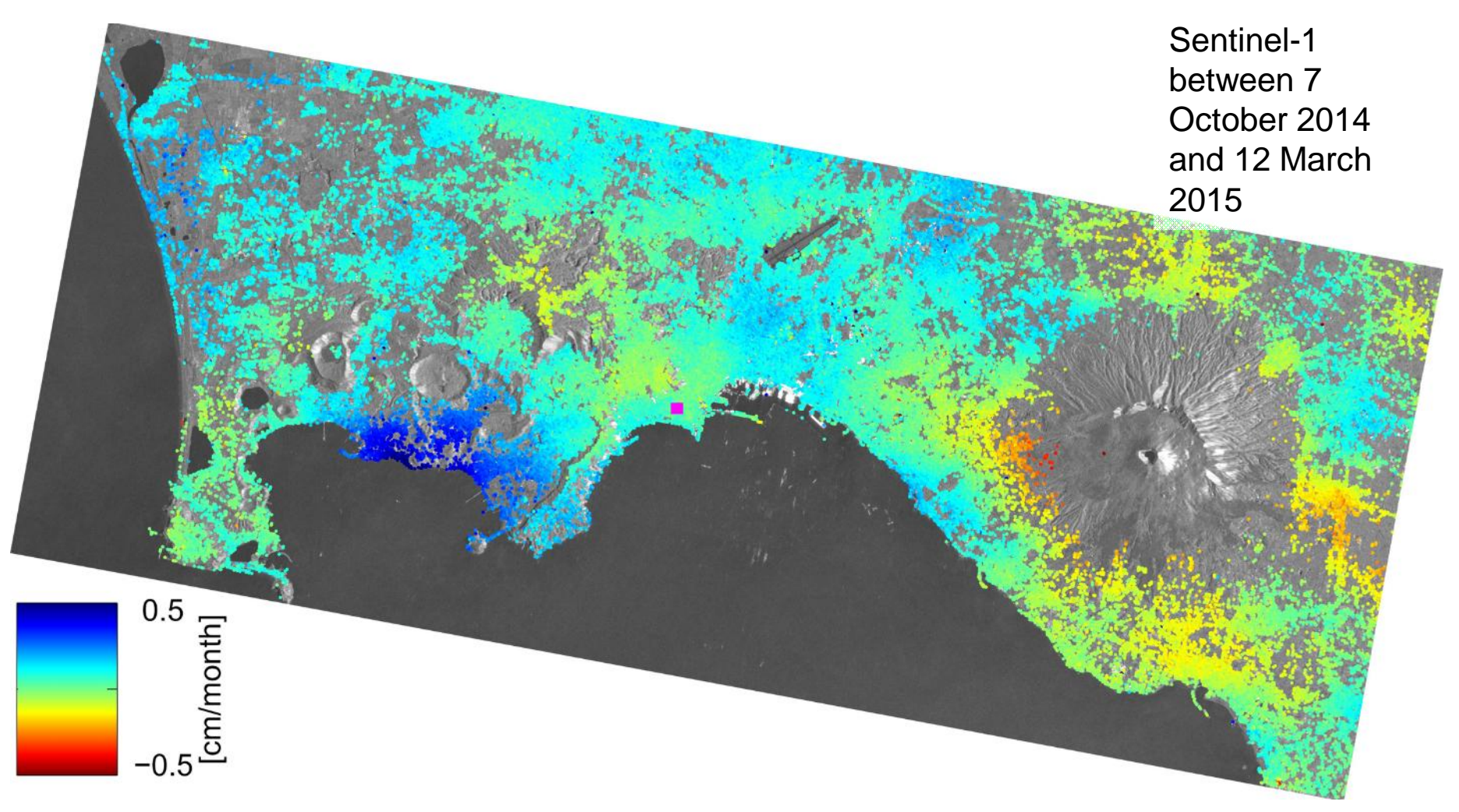
Sentinel-1A 24 August and 17 September 2015







Campi Flegrei







Thermique





Thermique

